

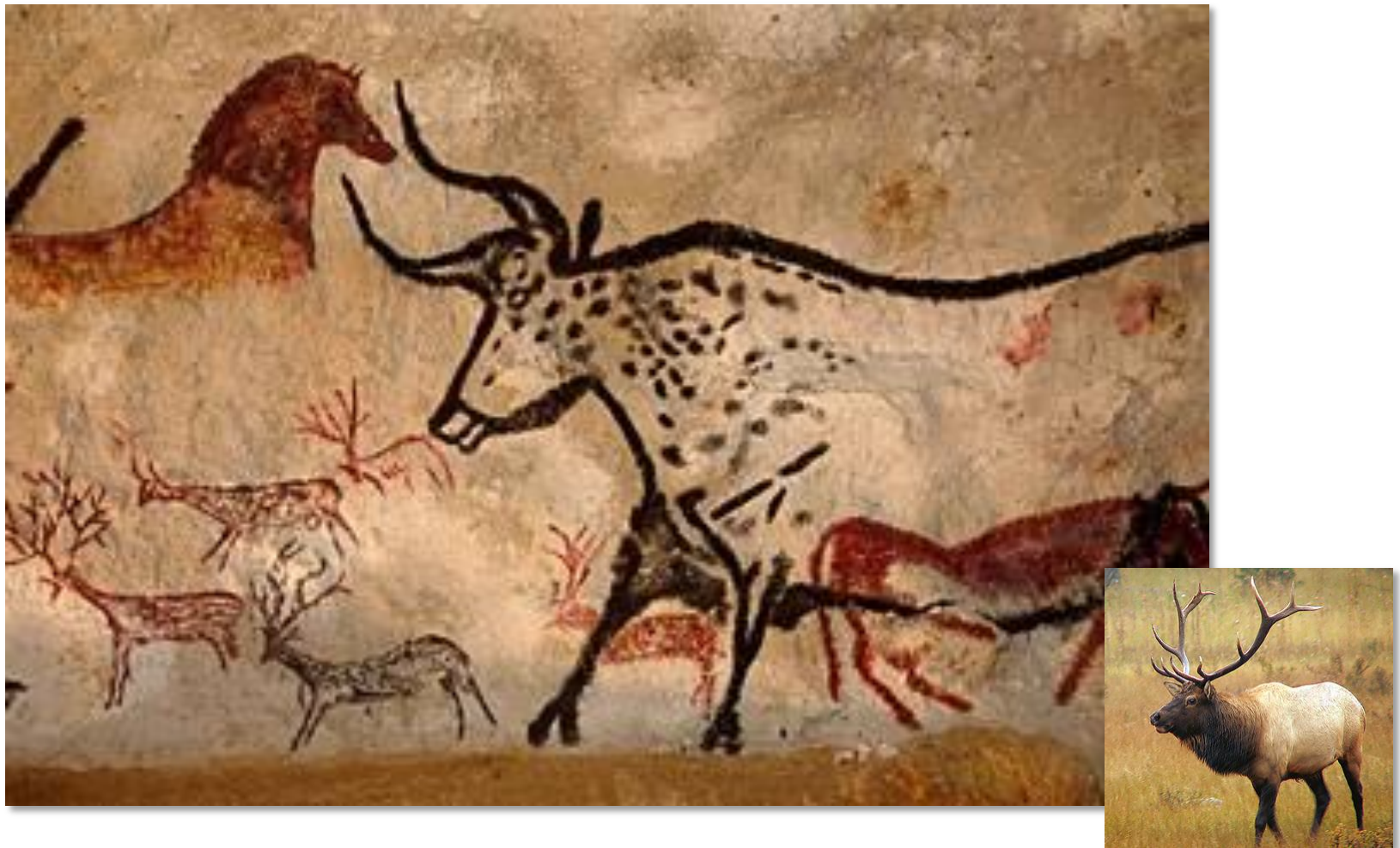
Computational Photography

Photographie Algorithmique

Crédits :

**Alexei Efros, James Hays, Frédo Durand, Steve Seitz, Rick Szeliski, Paul Debevec,
Stephen Palmer, Paul Heckbert, David Forsyth, Steve Marschner, Shai Avidan**

Un peu d'histoire: les débuts



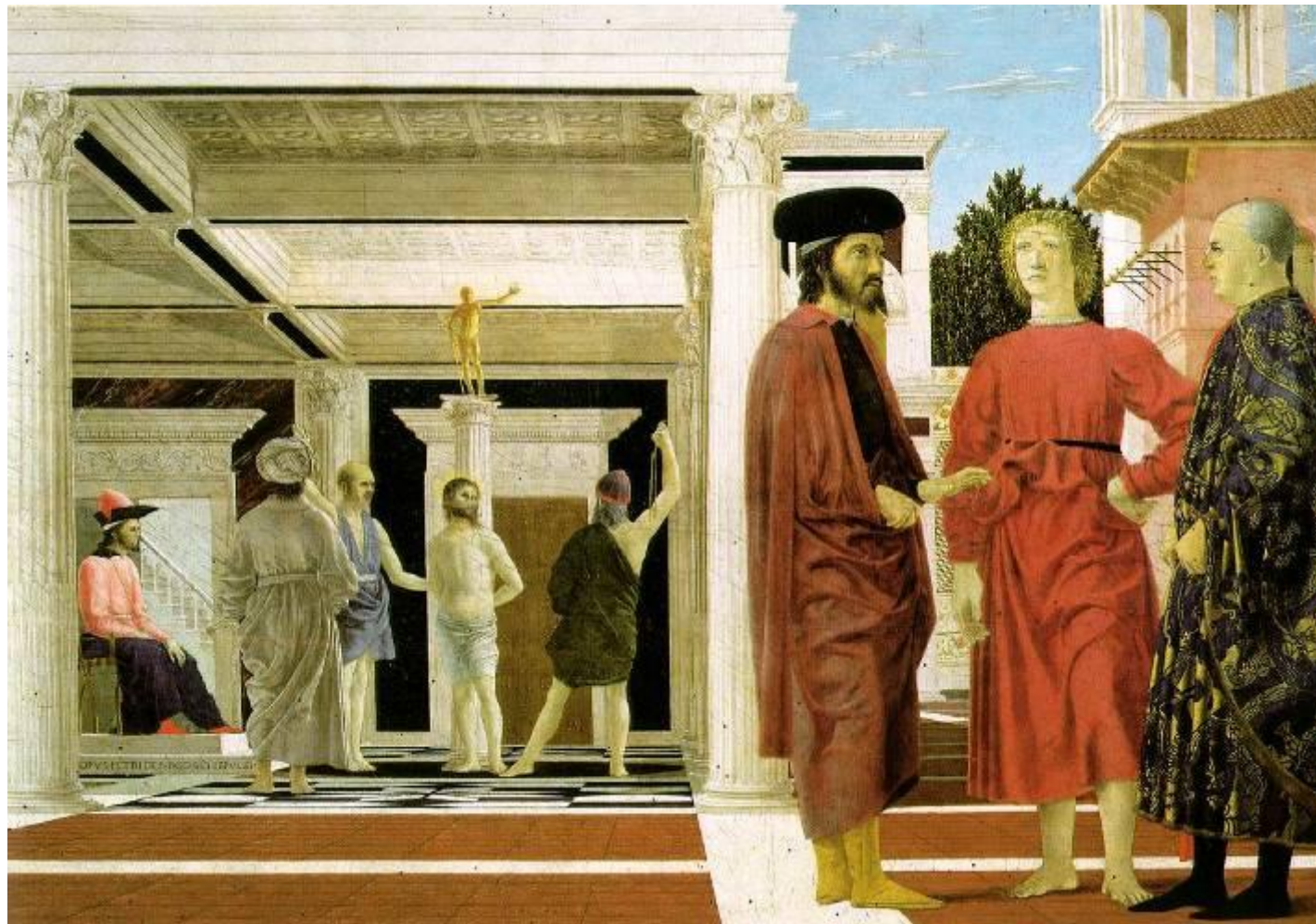
Peintures rupestres, Lascaux ~ 13,000 -- 15,000 B.C.

Le Moyen-Age



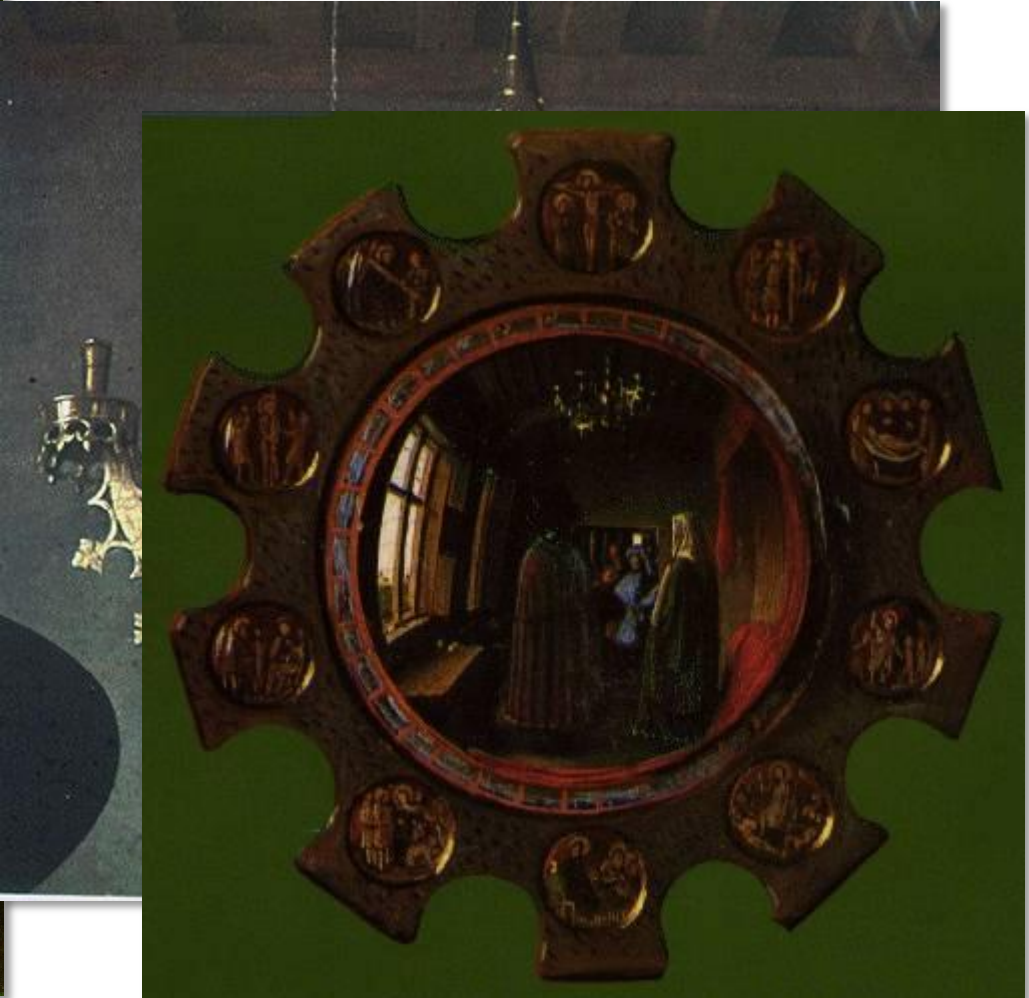
The Empress Theodora with her court.
Ravenna, St. Vitale 6th c.

Renaissance



Piero della Francesca, The Flagellation (c.1469)

La quête de la « perfection »



Jan van Eyck, The Arnolfini Marriage (c.1434)

La quête de la « perfection »

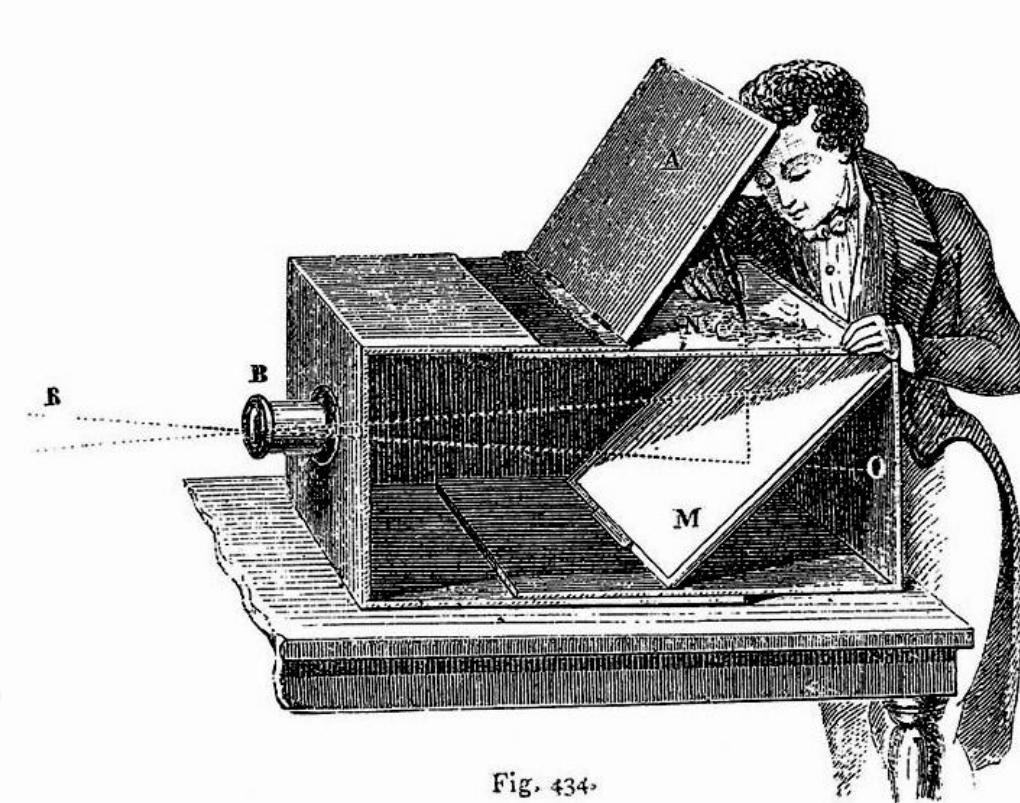
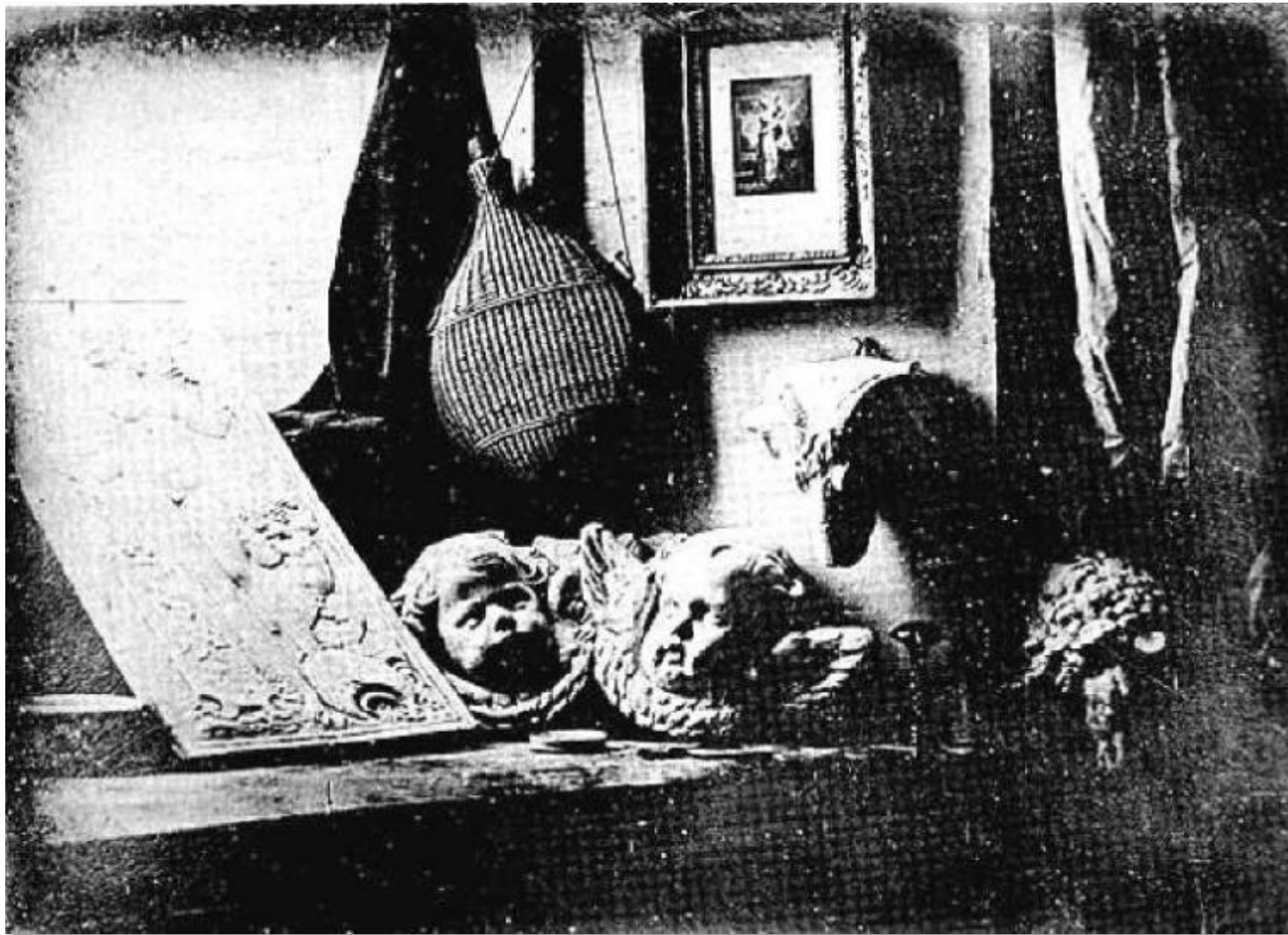


Fig. 434.

Lens Based Camera Obscura, 1568

La « perfection »



Nature morte, Louis-Jacques-Mandé Daguerre, 1837

Perfection = réalité ?

Multiple viewpoints



David Hockney,
Place Furstenberg, 1985

Single viewpoint

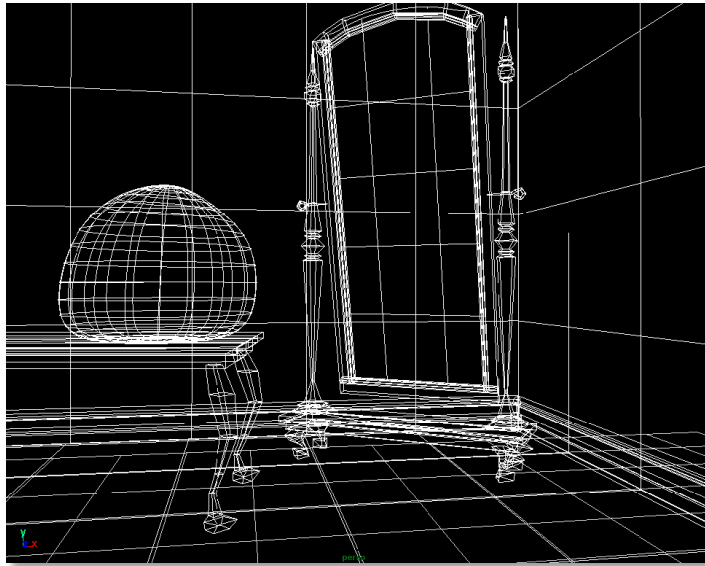


Alyosha Efros
Place Furstenberg, 2009

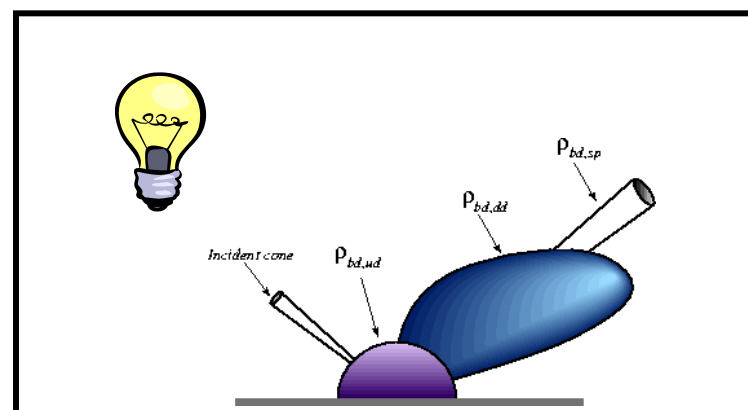
Arrivée de la synthèse d'image



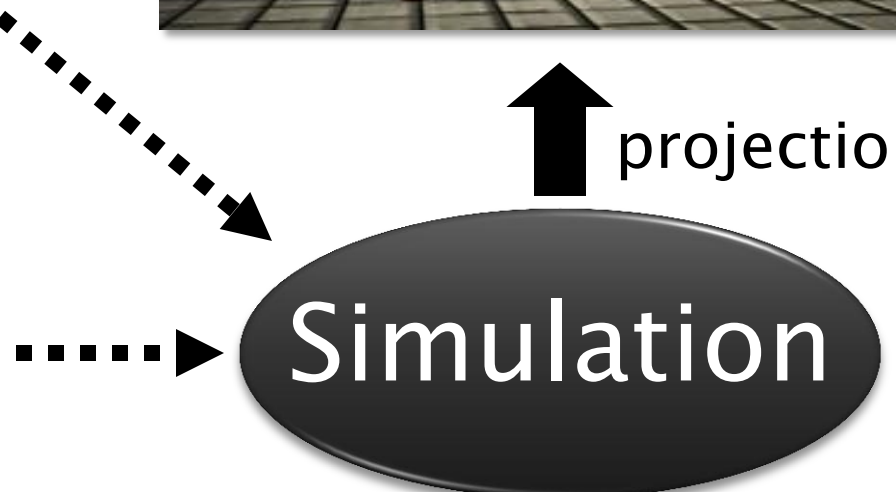
Synthèse d'image



géometrie 3D



physique



projection

Simulation

Synthèse d'image

- ▶ Hyper-réalisme
 - Modélisation
 - Éclairage
- ▶ Mais pas équivalent à la réalité : pourquoi ?



Couverture de PBRT par Guillermo M. Leal llaguno

La richesse du monde réel



Photo de Svetlana Lazebnik

Les êtres humains



“Final Fantasy”

dans le métro, Londres



Les visages / cheveux



“Final Fantasy”

Photo de Joaquin Rosales Gomez



Les scènes urbaines

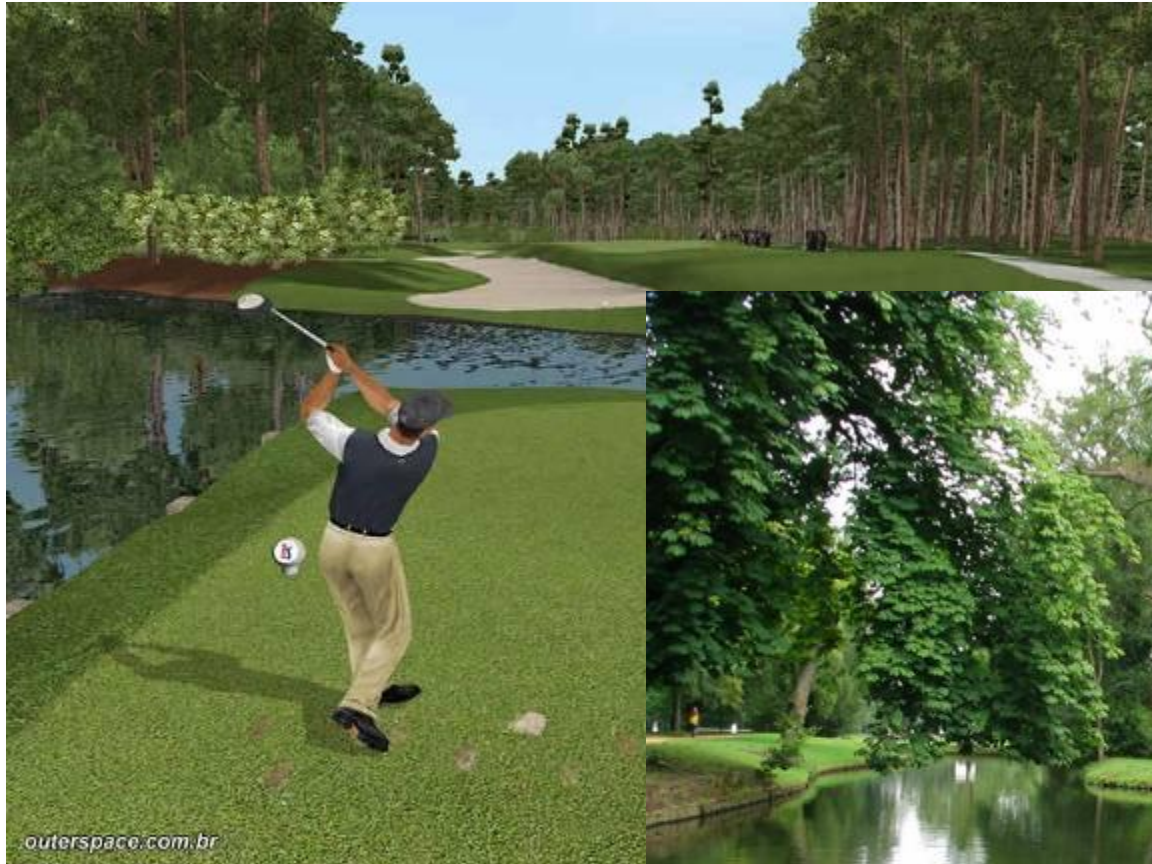


Virtual LA (SGI)

Photo de LA



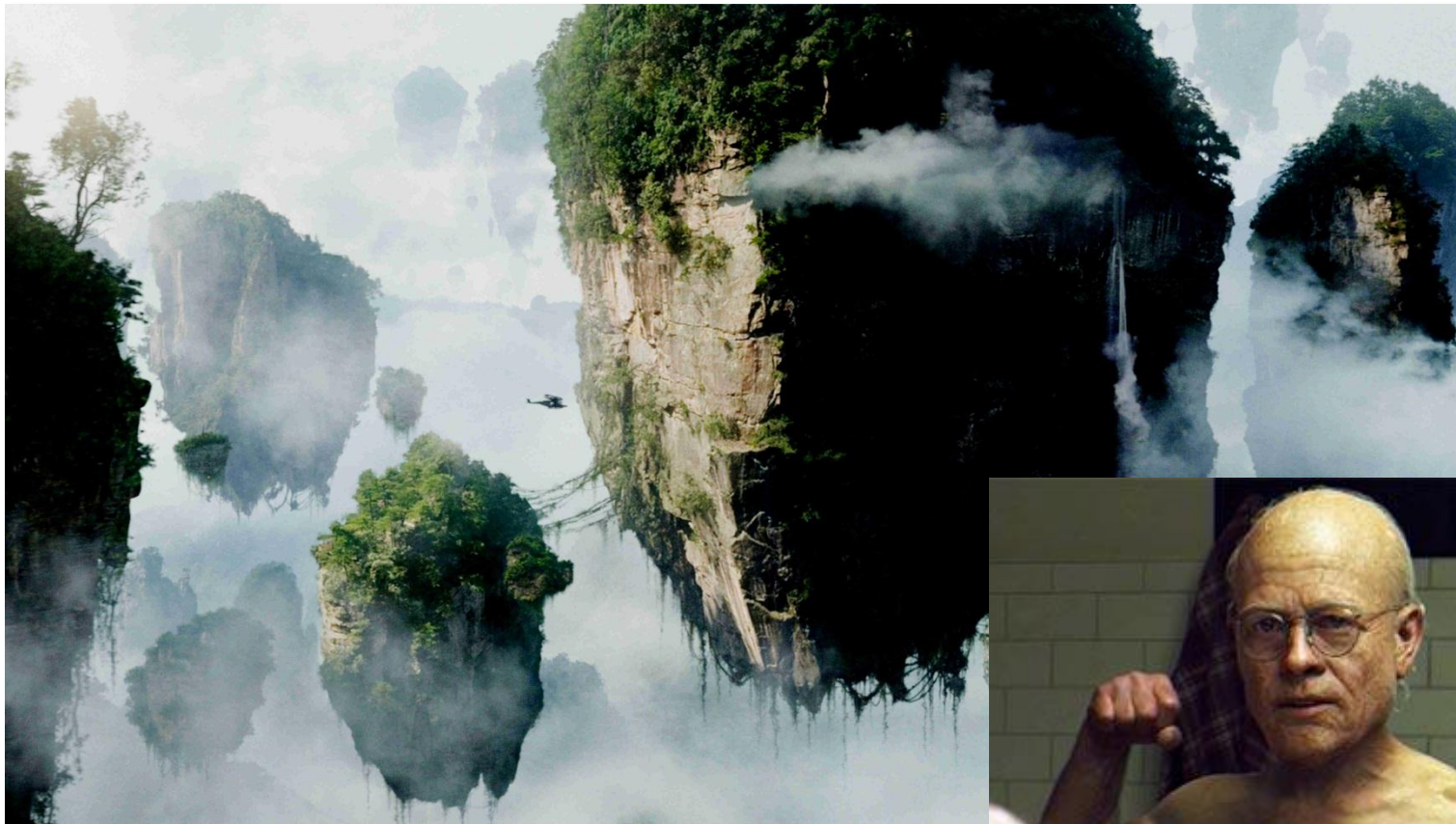
La nature



River Cherwell, Oxford



Plus récemment...



Avatar



The Curious Case
of Benjamin Button

Le meilleur de deux mondes

Informatique graphique



- + facile de créer de nouveaux mondes
- + facile de manipuler les objets / le point de vue
- très difficile d'être réaliste

Computational
Photography

Réaliste
Manipulations
Capture simple

Photographie



- + intrinsèquement réaliste
- + acquisition simple
- très difficile de manipuler les objets / le point de vue

Le meilleur de deux mondes

- ▶ Essayer de garder le meilleur de deux mondes
 - la capture du réel
 - La facilité d'édition
- ▶ A l'intersection de plusieurs disciplines
 - la photographie
 - le traitement d'image
 - la synthèse d'images
 - la vision par ordinateur

« Retouche » d'images



1860

d'après Photo Fakery, D. Brugioni

« Retouche » d'images



1942

d'après Photo Fakery, D. Brugioni

« Retouche » d'images



1942

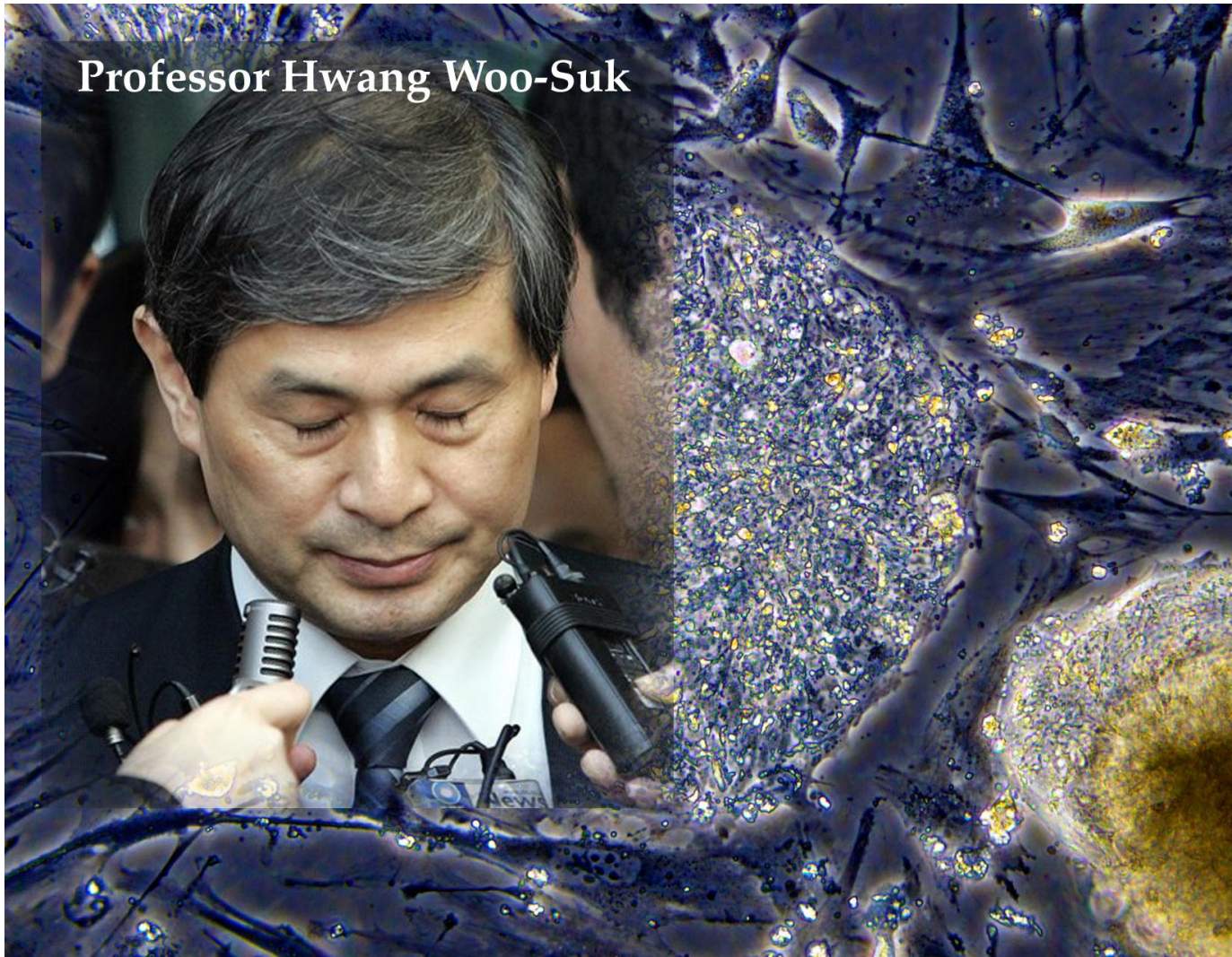
d'après Photo Fakery, D. Brugioni

« Retouche » d'images



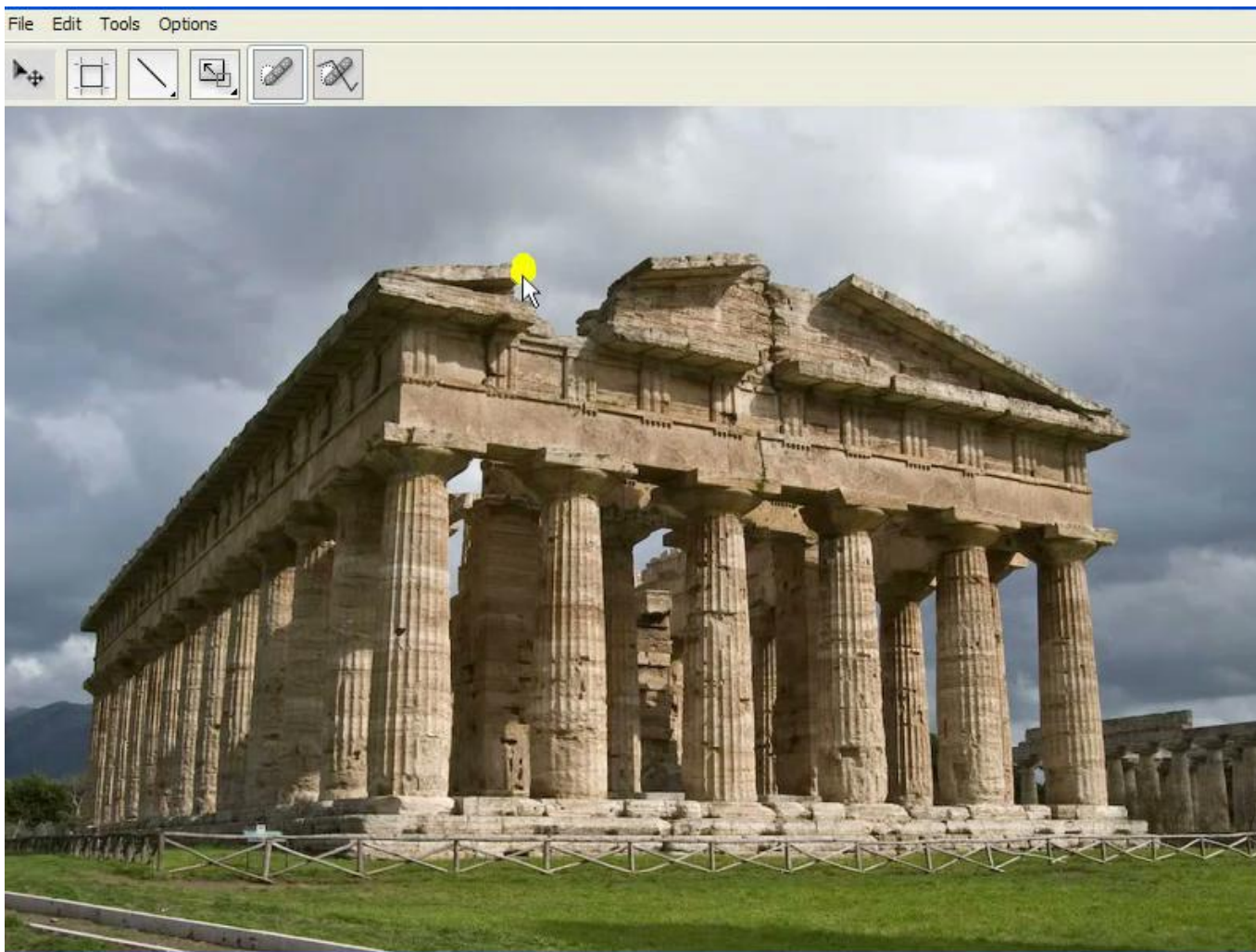
Dans la presse, juillet 2008

« Retouche » d'images



Professor Hwang Woo-Suk

PatchMatch [2009]



Plan

- ▶ Computational processing
- ▶ Computational illumination
- ▶ Computational optics

Plan

- ▶ Computational processing
 - Image retargeting
 - Filtering
 - Image Warping & Morphing
 - Compositing & Matting
 - Gradient Editing
- ▶ Computational illumination
- ▶ Computational optics

Plan

- ▶ Computational processing
 - **Image retargeting**
 - Filtering
 - Image Warping & Morphing
 - Compositing & Matting
 - Gradient Editing
- ▶ Computational illumination
- ▶ Computational optics

Image retargeting



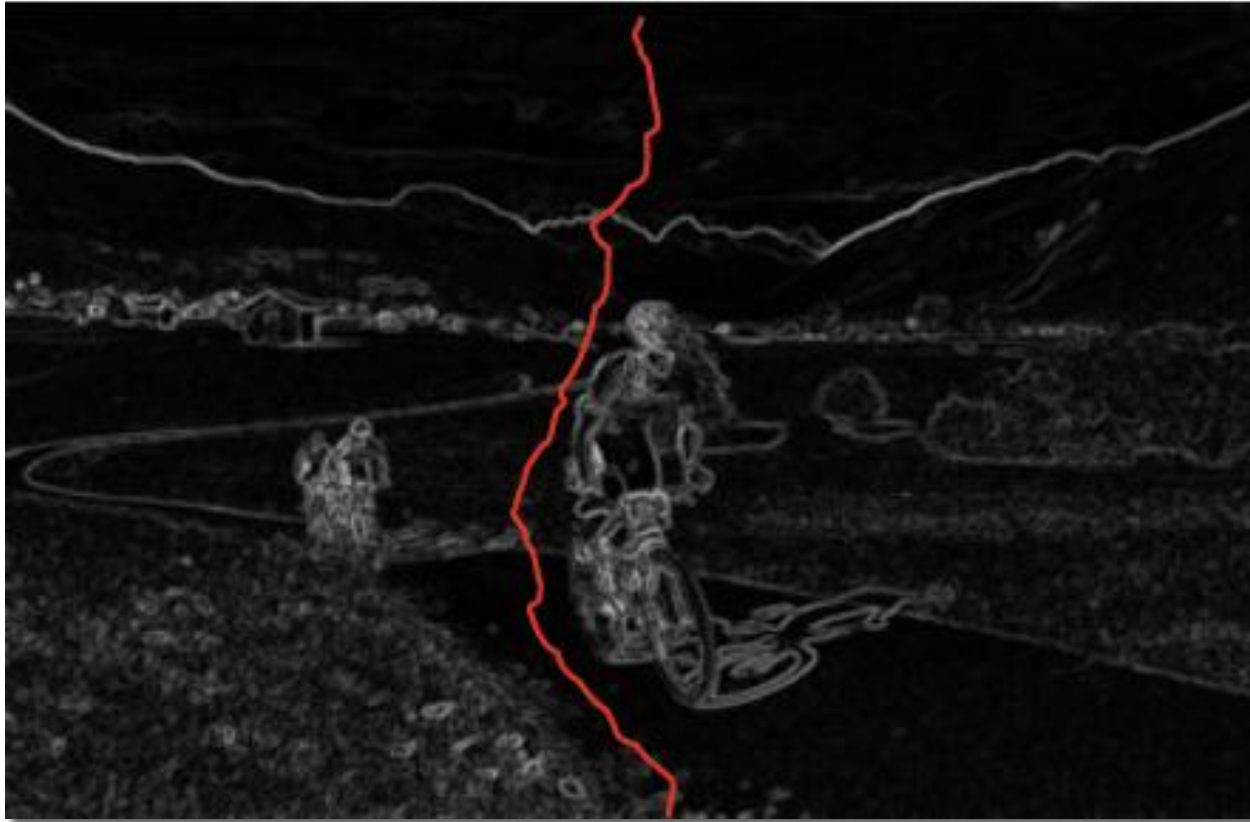
Cropping

Scaling

Retargeting

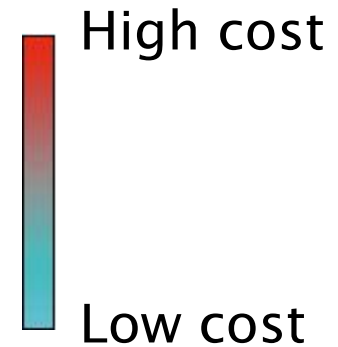
Seam carving

[Avidan et al. 2007]



$$\rightarrow s^* = \arg \min_s E(s)$$

Dynamic Programming



Horizontal cost



Vertical cost

Energy / Error functions



L_1



Entropy



HoG



Seg.+ L_1

Results



Seam Carving

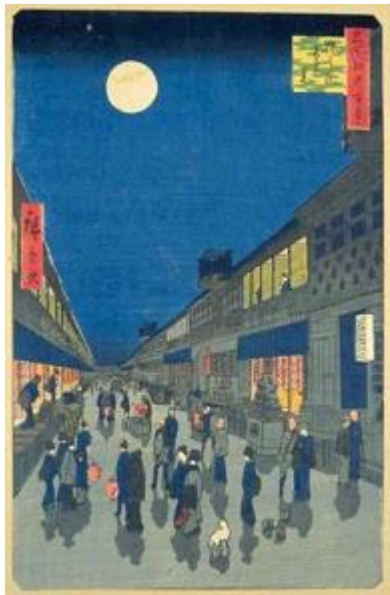


Scaling



Cropping

Results



Change aspect ratio : enlarge

Objects removal

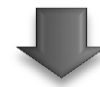


Limitations

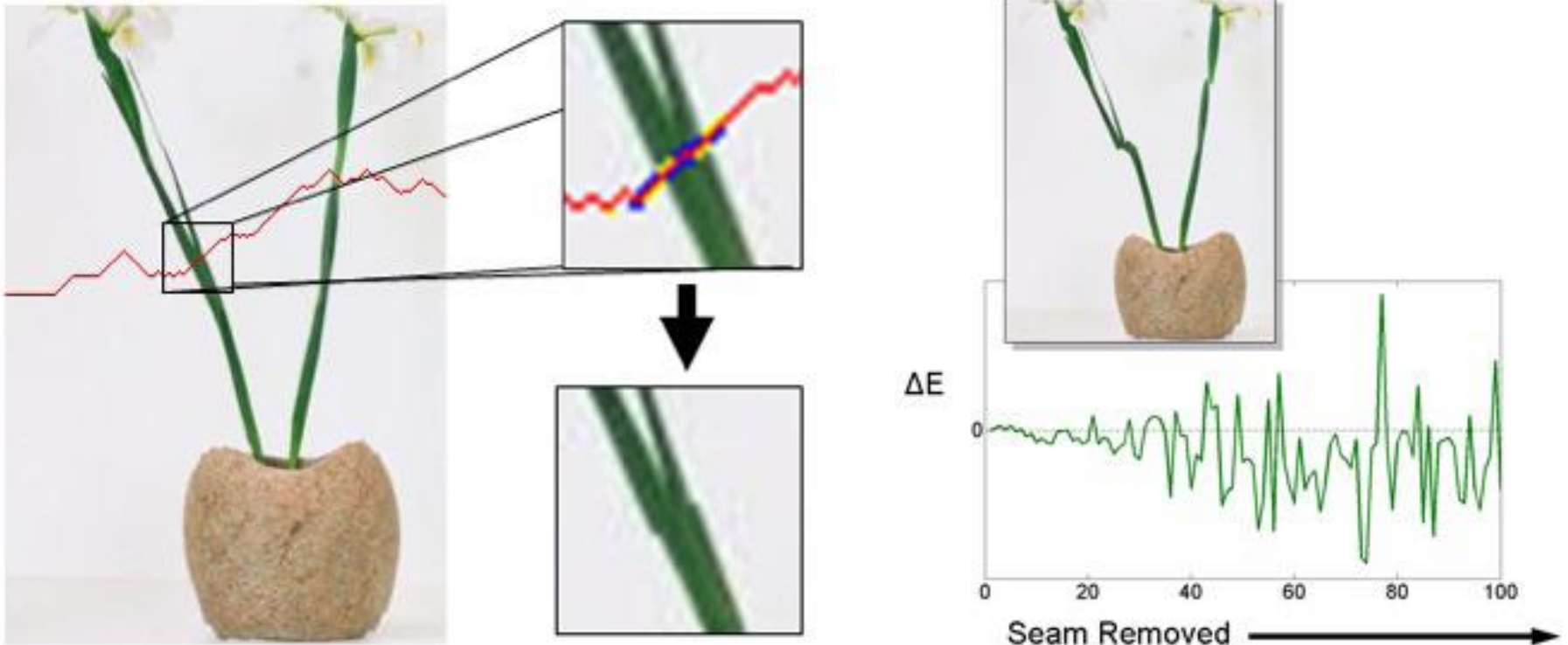
Content



Structure



Limitations: why?



Energy inserted into the retargeted image ignored

Forward energy



Seam carving



+ forward energy

“Improved Seam Carving for Video Retargeting”

[Rubinstein et al. 2008]



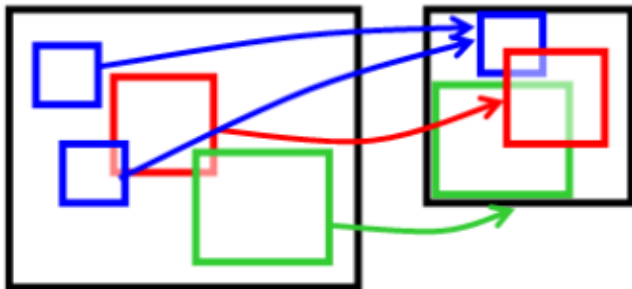
Bidirectional similarity

[Simakov et al. 2008]

Completeness:

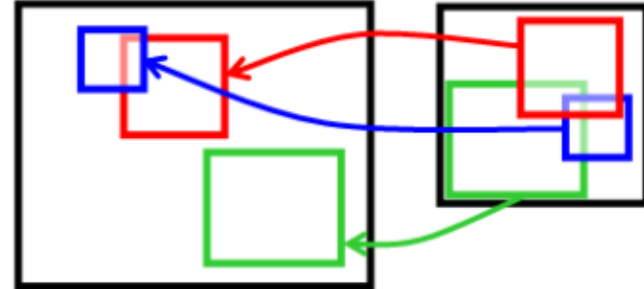
(a) The bidirectional spatial (image) similarity:

Input image Output image
(source) *(target)*



Coherence:

Input image Output image
(source) *(target)*



Plan

- ▶ Computational processing
 - Image retargeting
 - **Filtering**
 - Image Warping & Morphing
 - Compositing & Matting
 - Gradient Editing
- ▶ Computational illumination
- ▶ Computational optics

Filtrage

- ▶ Filtrage linéaire : convolution
- ▶ Filtrage non-linéaire : filtre bilatéral
- ▶ Opérateurs morphologiques

Convolution

image filtrée noyau image d'entrée

$$J = f * I$$

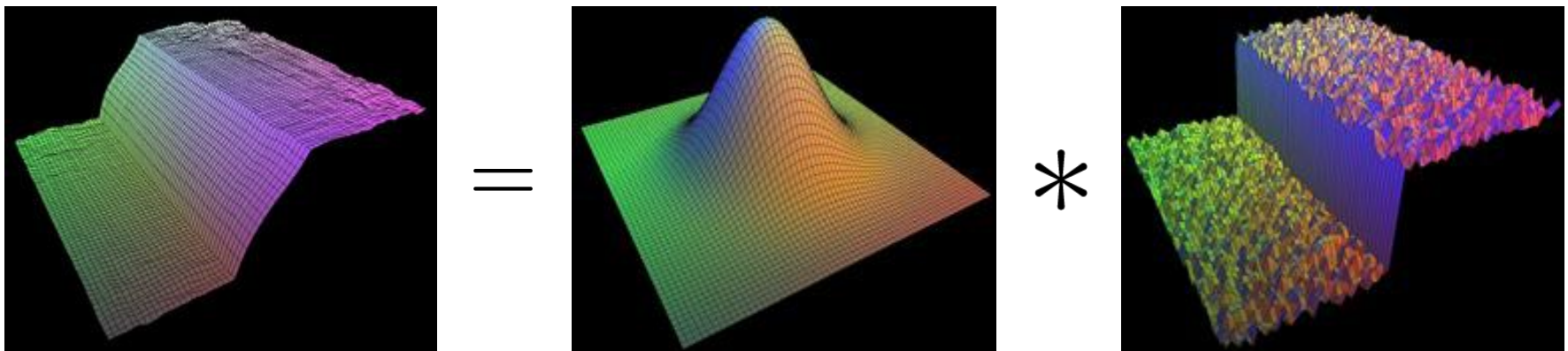
► Applications :

- Rendre flou (blur)
- Rendre plus net (sharpen)
- Débruiter (denoising)
- ...

Filtre gaussien

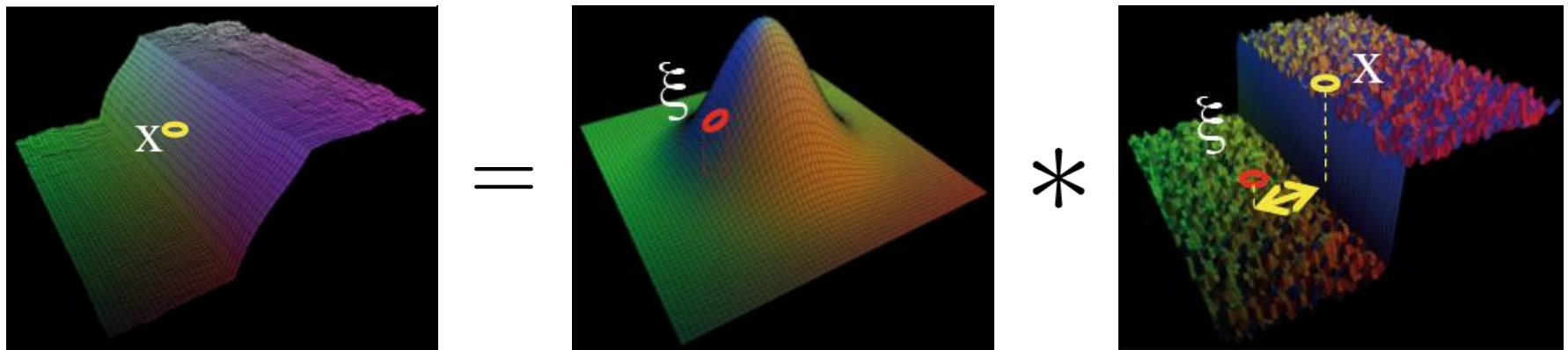
$$J = f * I$$

gaussienne marche + bruit



Filtre gaussien : somme pondérée

$$J(x) = \sum_{\xi} f(x, \xi) I(\xi)$$



Filtre gaussien

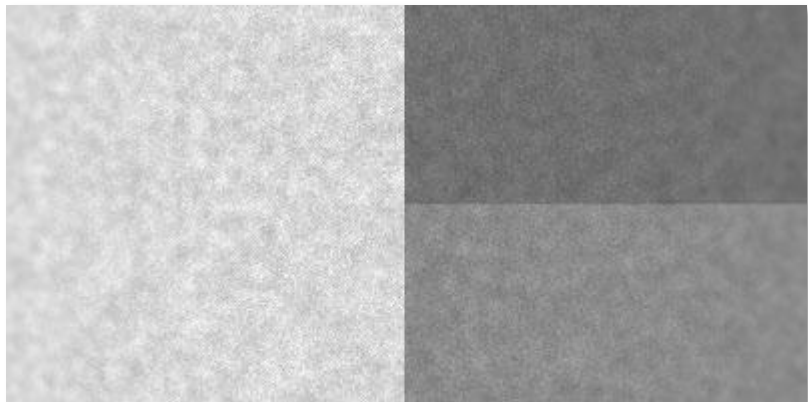
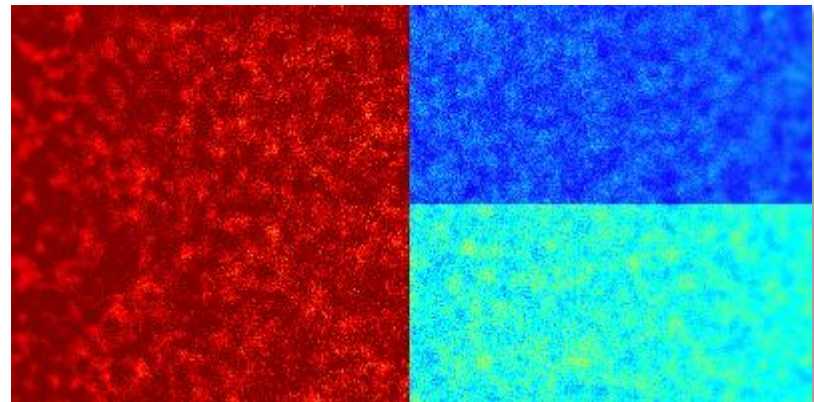
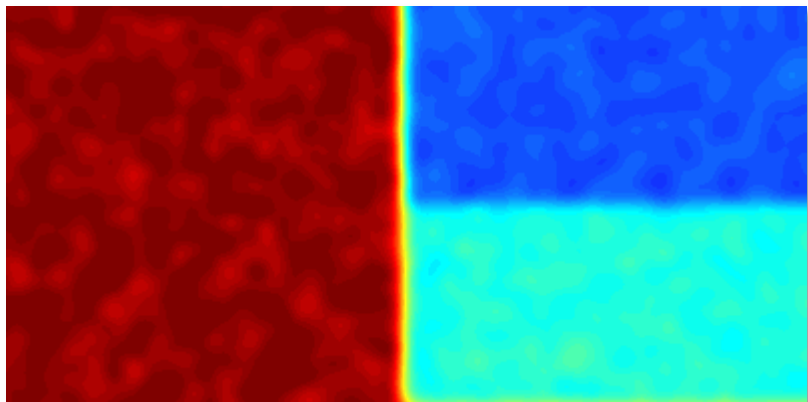


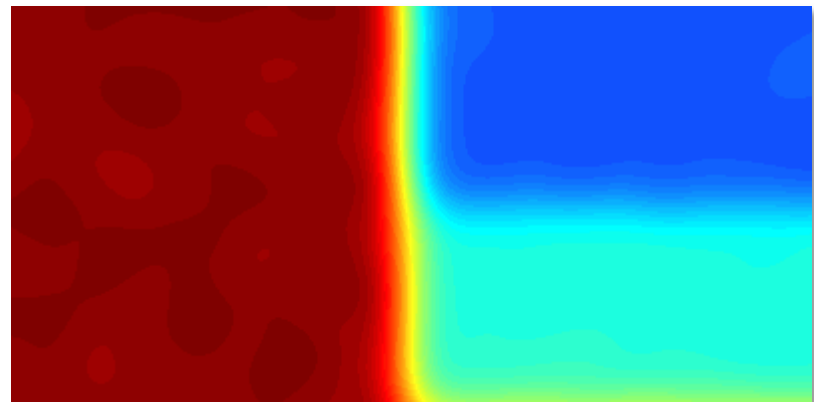
Image bruitée



Codage couleur



Filtre gaussien ($\sigma=4$)



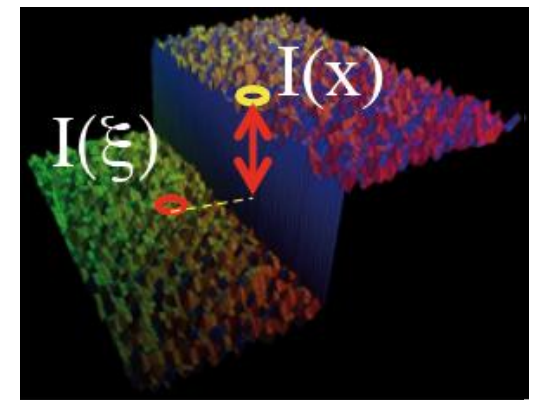
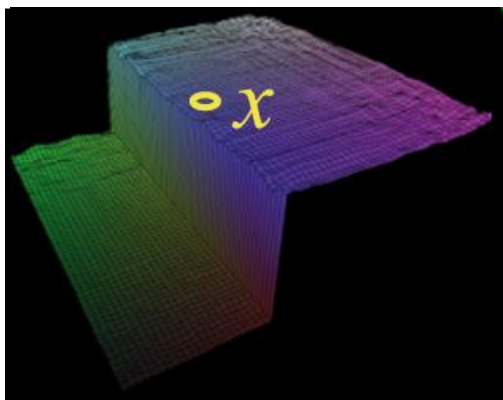
Filtre gaussien ($\sigma=12$)

Filtre bilatéral

Tomasi and Manduci 1998

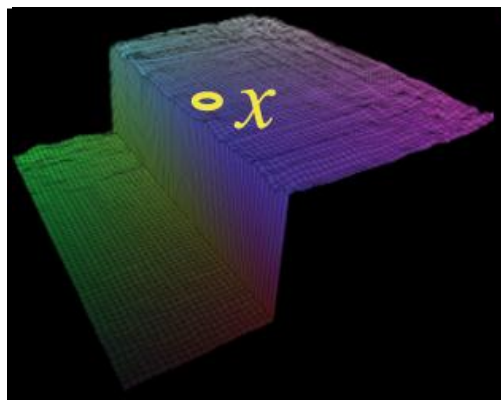
- ▶ Pénalité **g** en fonction des différences d'intensité

$$J(x) = \frac{1}{k(x)} \sum_{\xi} f(x, \xi) g(I(\xi) - I(x)) I(\xi)$$

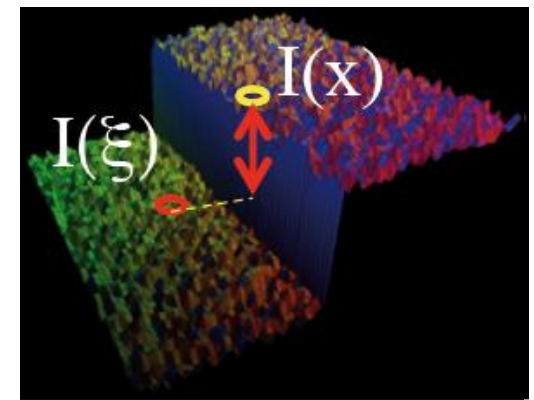
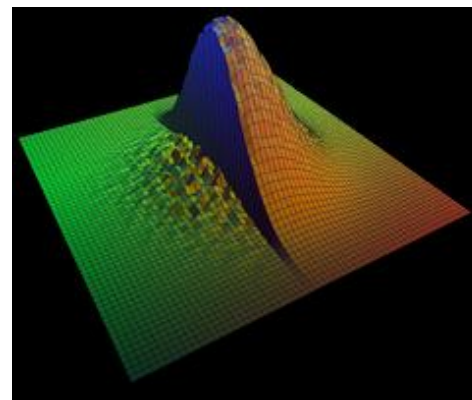


Filtre bilatéral

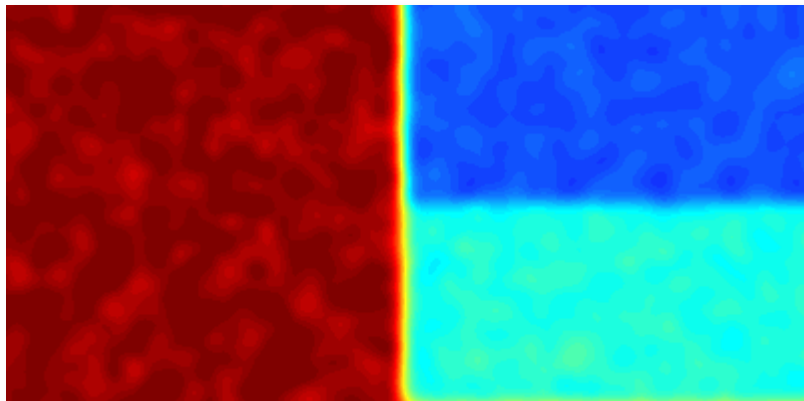
$$J(x) = \frac{1}{k(x)} \sum_{\xi} \underbrace{f(x, \xi)}_{\text{3D surface}} \underbrace{g(I(\xi) - I(x))}_{\text{3D surface}} I(\xi)$$



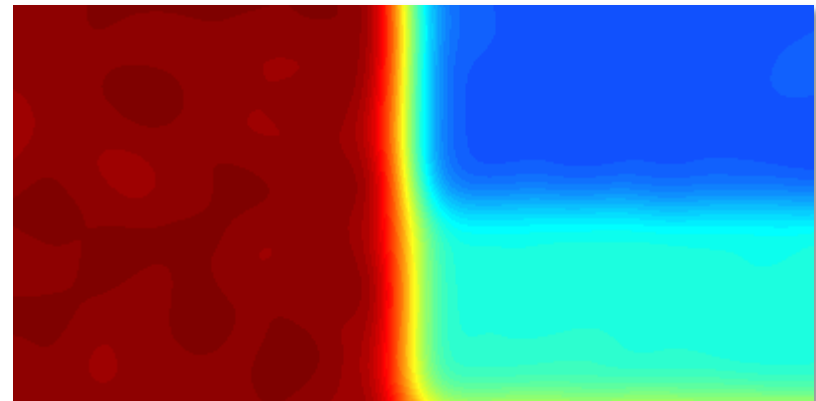
=



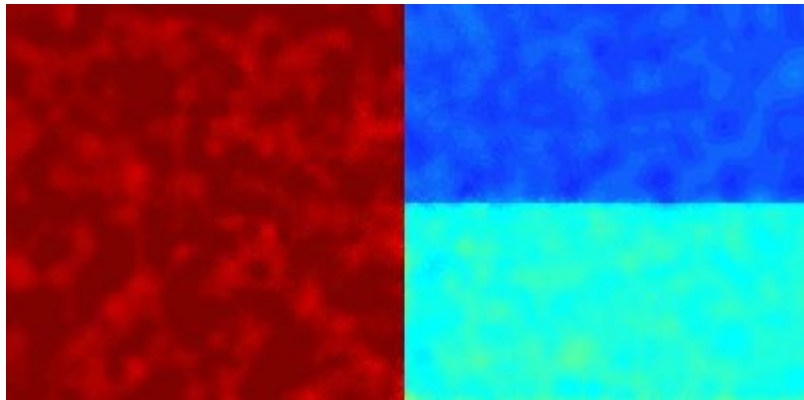
Filtre gaussien



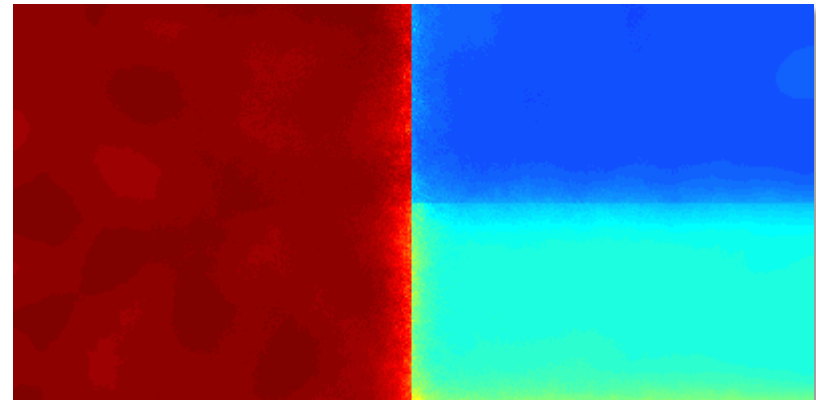
Filtre gaussien ($\sigma=4$)



Filtre gaussien ($\sigma=12$)



Filtre bilatéral ($\sigma=4$)



Filtre bilatéral ($\sigma=12$)

Débruitage

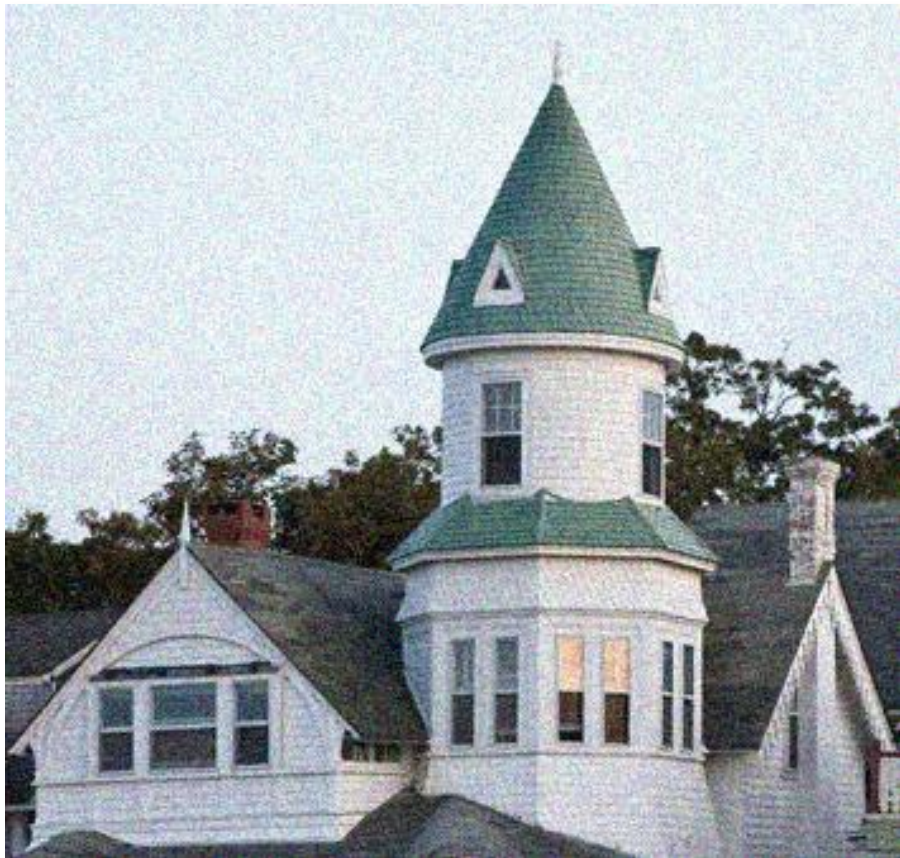


Image bruitée



Après filtrage gaussien

Débruitage

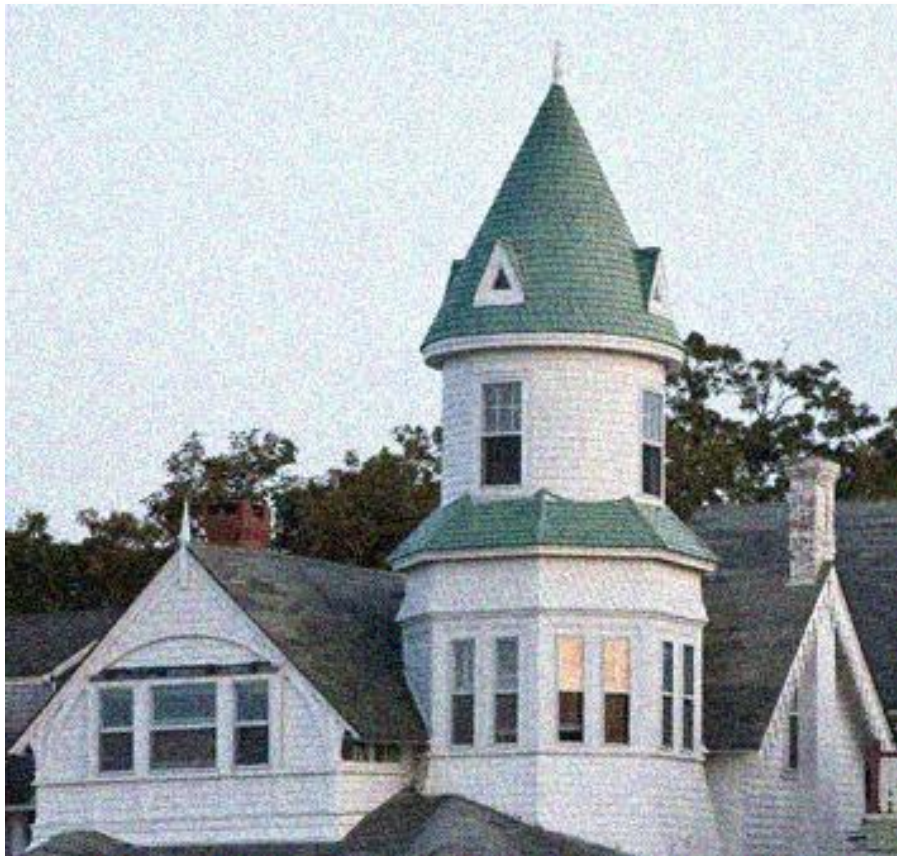


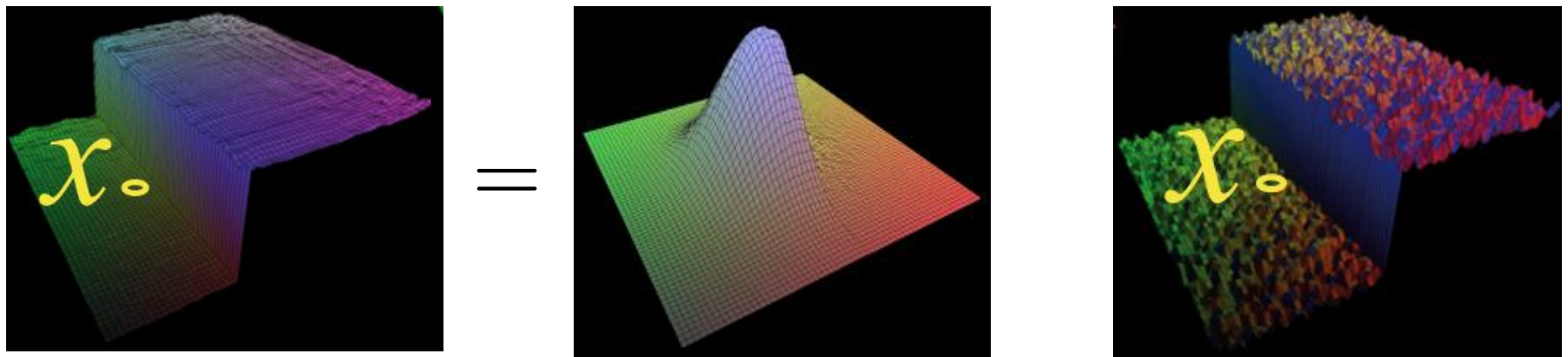
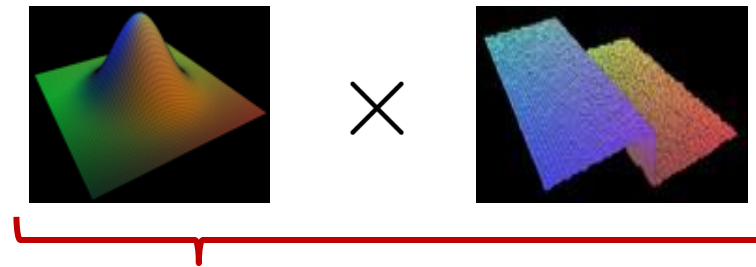
Image bruitée



Après filtrage bilatéral

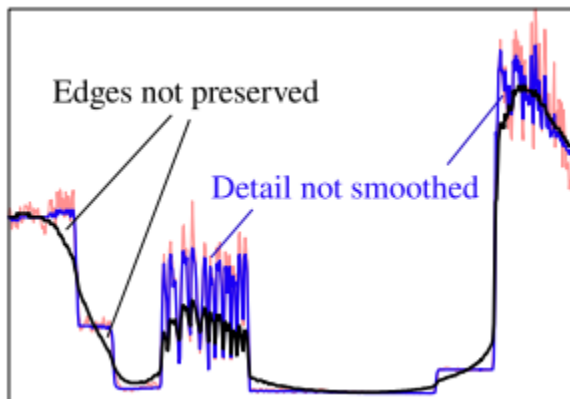
Filtre non-linéaire

$$J(x) = \frac{1}{k(x)} \sum_{\xi} \underbrace{f(x, \xi)}_{\text{A 3D surface plot showing a smooth, bell-shaped peak on a grid.}} \underbrace{g(I(\xi) - I(x))}_{\text{A 3D surface plot showing a noisy, multi-colored rectangular block.}} I(\xi)$$

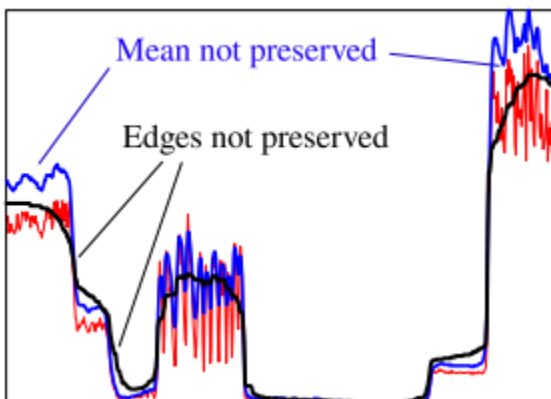


Limitation

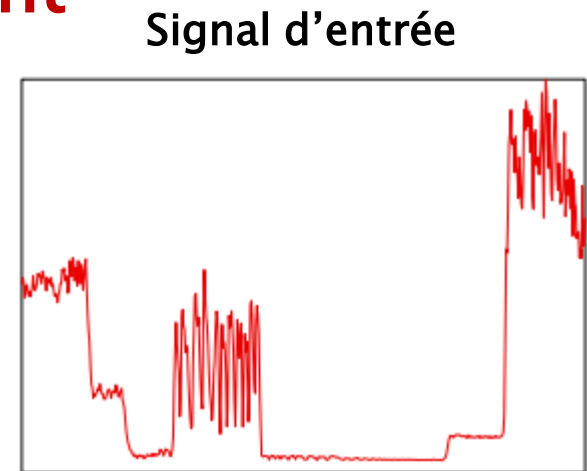
- ▶ Calcul « brute-force » (très) **lent**
⇒ bilateral grid [Chen et al. 2007]
- ▶ Préservation **partielle** des contours



Filtre bilatéral



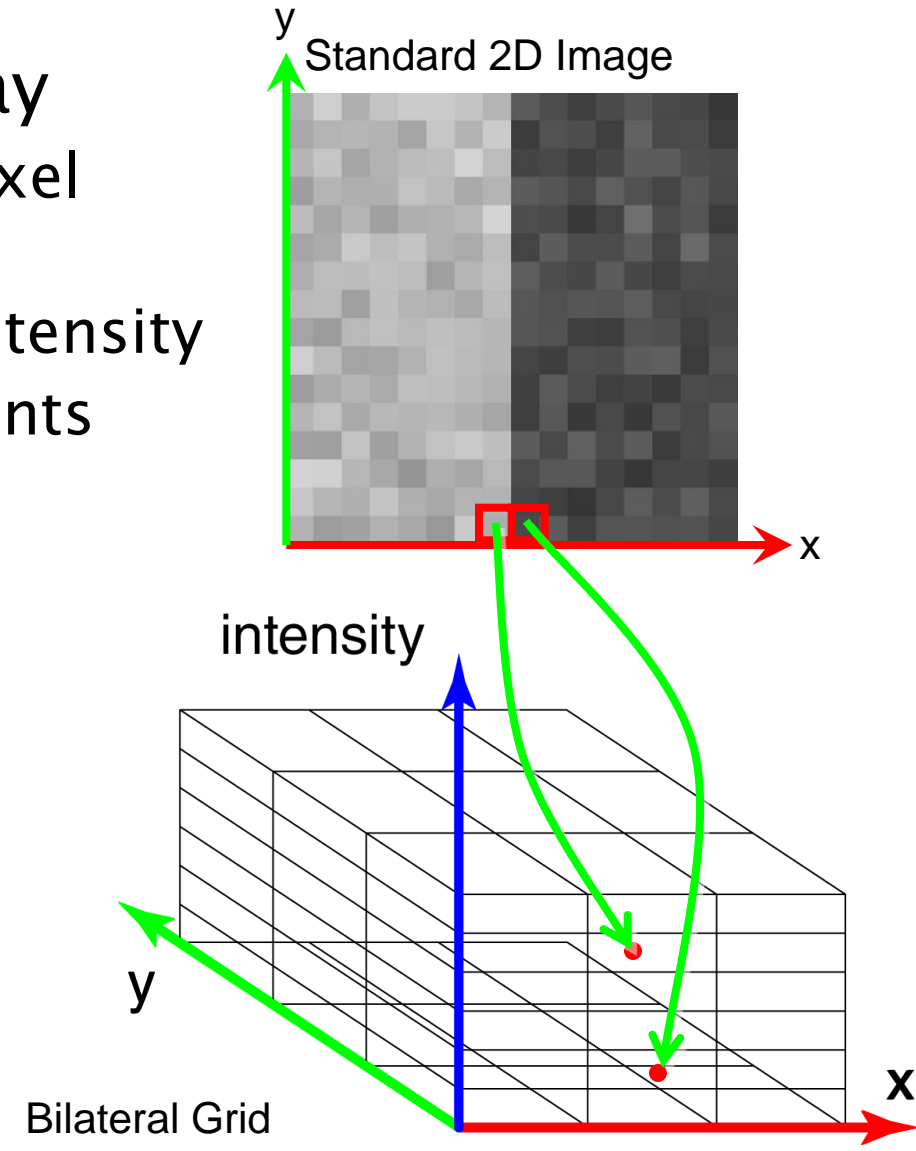
[Farbman et al. 2008]



[Subr et al. 2009]

“Real-time Edge-Aware Image Processing with the Bilateral Grid”

- ▶ Bilateral grid = 3D array
 - x and y correspond to pixel position
 - z corresponds to pixel intensity
 - Euclidean distance accounts for edges
 - space distance (x,y) and intensity distance (z)
- ▶ Grid can be coarse
 - E.g., $70 \times 70 \times 10$ for an 8 megapixel image

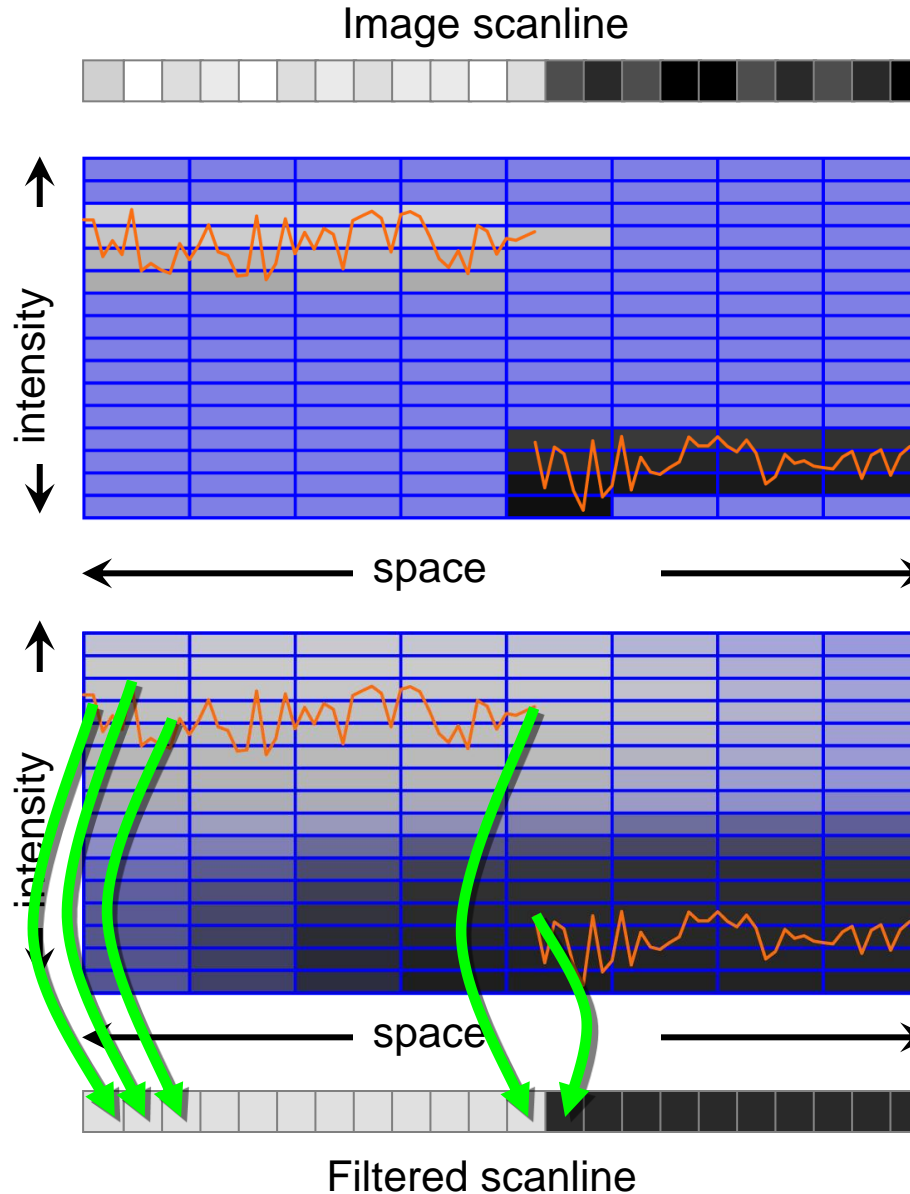


Bilateral Filter on the Bilateral Grid

Bilateral Grid

Gaussian blur grid values

Slice: query grid with input image



Performance

Image size: 2 MPixels

- ▶ CPU

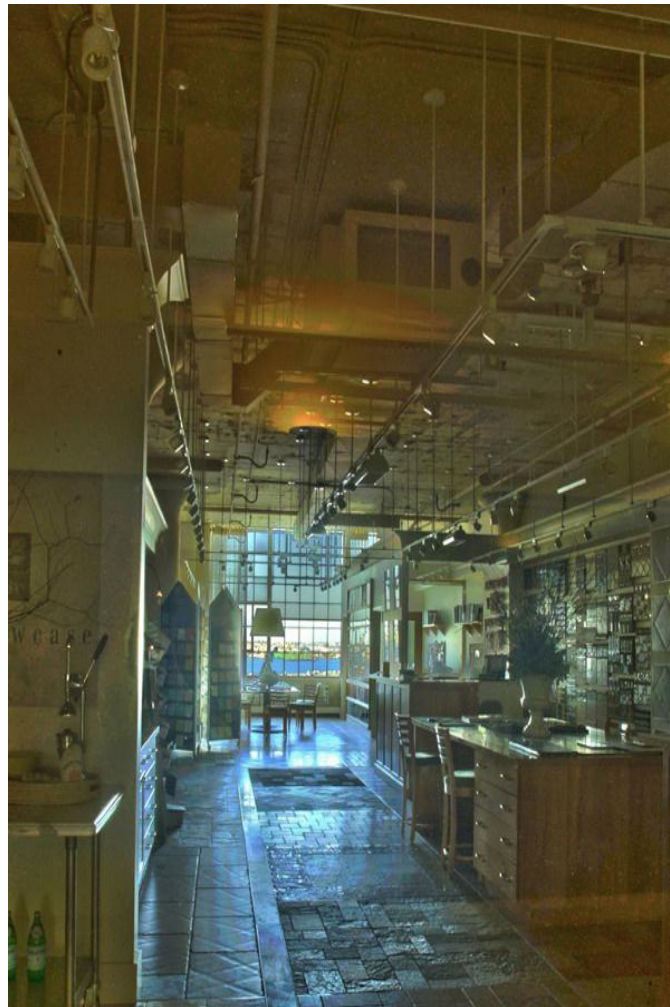
- Brute force: **10 minutes**
- State of the art '06: **1 second** [Weiss 06, Paris 06]

- ▶ Bilateral Grid with GPU

- 2006 card (G80): **9 ms (111 Hz)**

Applications

- ▶ Égalisation locale d'histogrammes
- ▶ Tone mapping
- ▶ Abstraction de vidéos
- ▶ Transfert de style



“Real-time video abstraction”



[Willmöller et al. 2002]

“Two-scale Tone Management for Photographic Look”

[Bae et al. 2006]



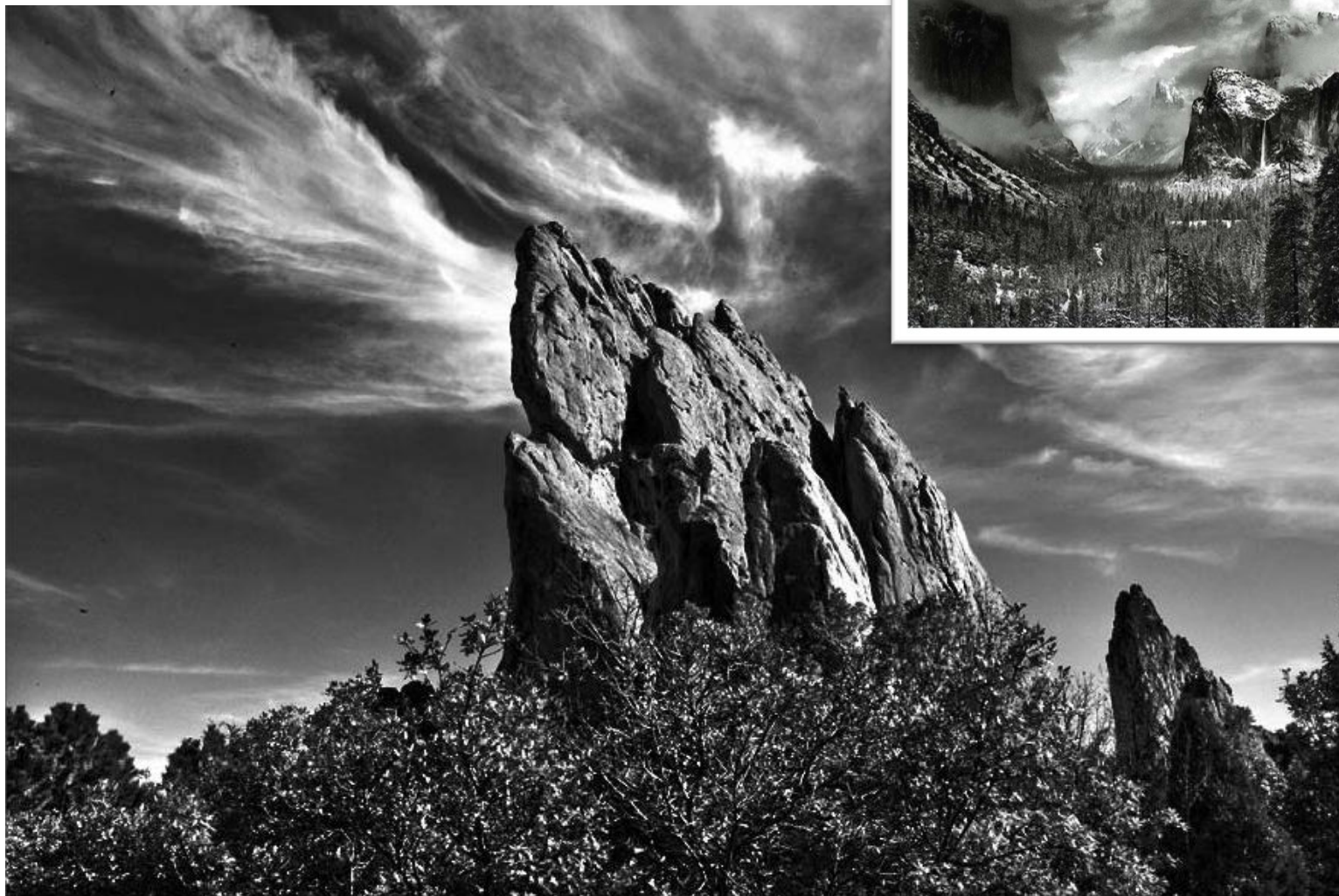
Ansel Adams, *Clearing Winter Storm*

“Two-scale Tone Management for Photographic Look”



Photographie amateur

“Two-scale Tone Management for Photographic Look”



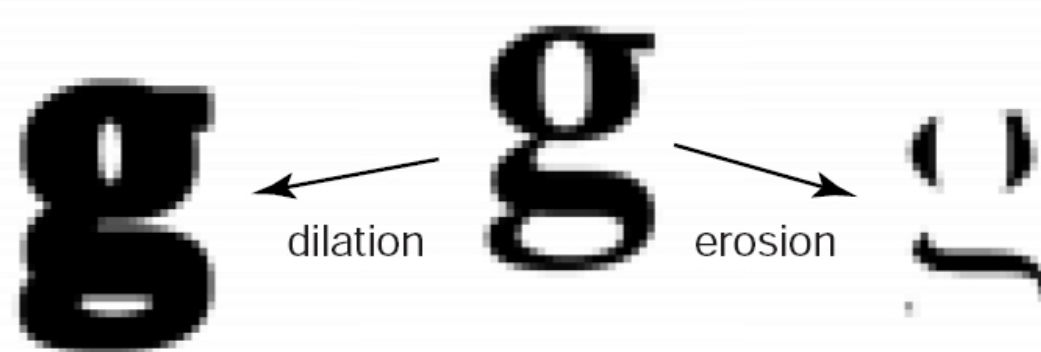
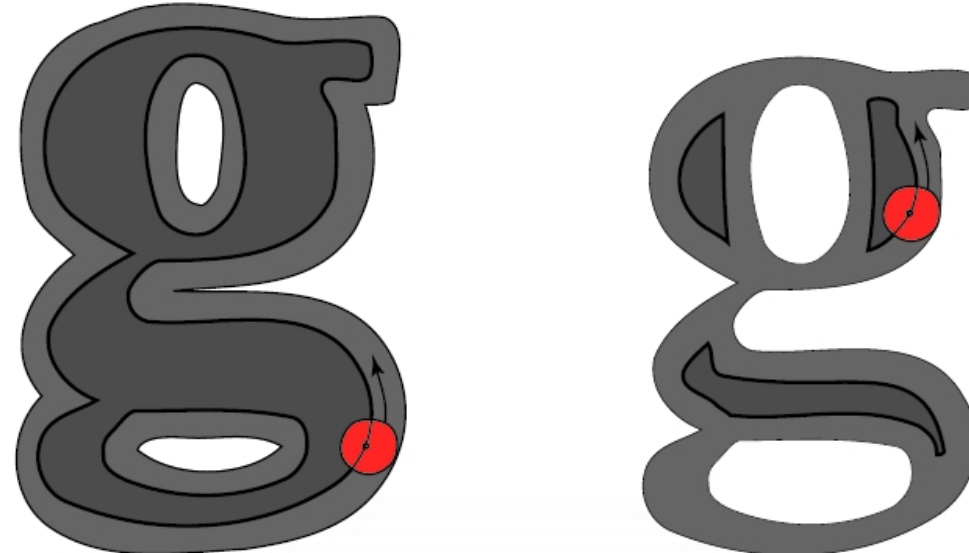
Apparence transférée

Opérateurs morphologiques

- ▶ Masques binaires de l'image
- ▶ Théorie des ensembles / logique binaire
- ▶ **Morpho-mathématiques** [Haralick87]

Dilatation / érosion

- ▶ Opérations de base sur l'image A selon le noyau B



Dilatation

Historically, certain computer programs were written using only two digits rather than four to define the applicable year. Accordingly, the company's software may recognize a date using "00" as 1900 rather than the year 2000.



Historically, certain computer programs were written using only two digits rather than four to define the applicable year. Accordingly, the company's software may recognize a date using "00" as 1900 rather than the year 2000.



« élément de structure » ↔ noyau :

0	1	0
1	1	1
0	1	0

Érosion



Image d'origine



Image érodée 1x



Image érodée 2x

Ouverture et fermeture

Ouverture :

2 érosions puis
2 dilatations.

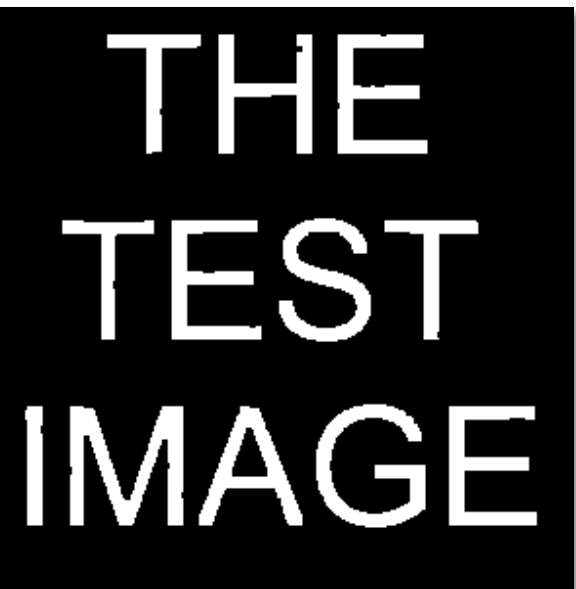
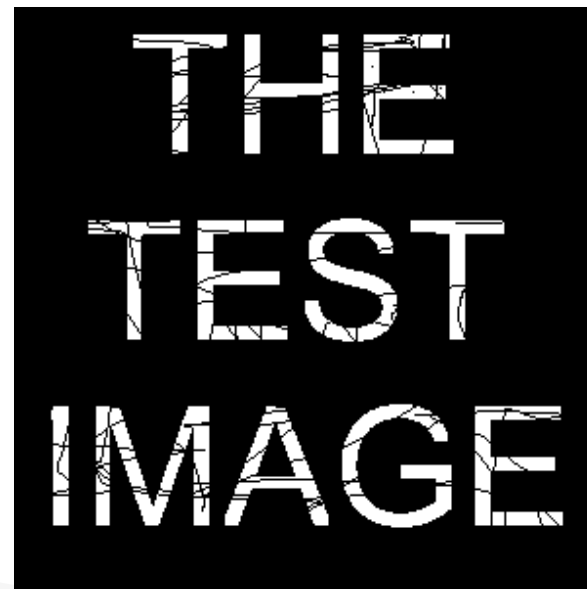
⇒ Suppression
du bruit



Fermeture:

dilatation
puis érosion.

⇒ Remplissage
des trous.



Application au NPR

- ▶ “Video Watercolorization using Bidirectional Texture Advection” Bousseau et al. 2007

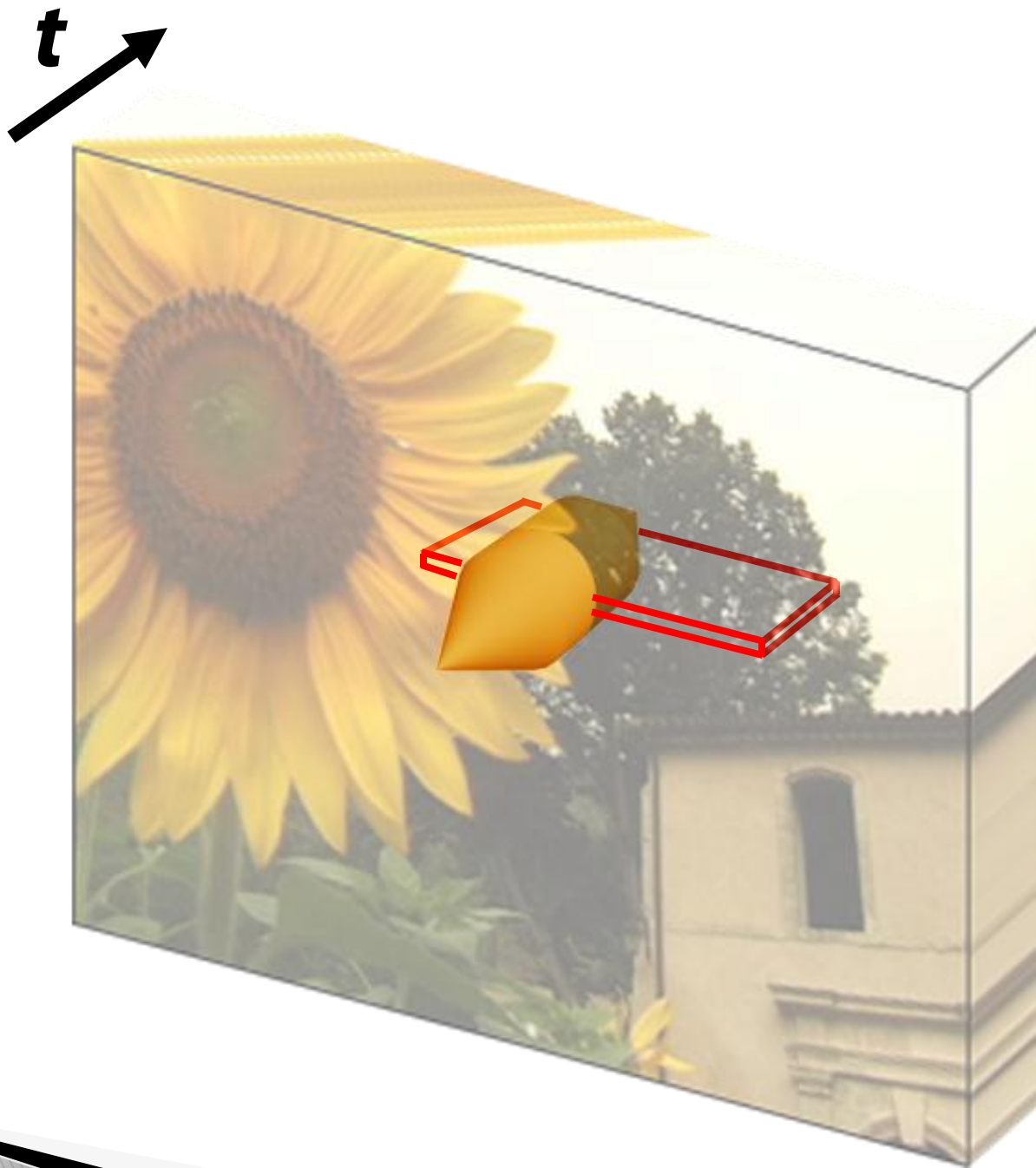


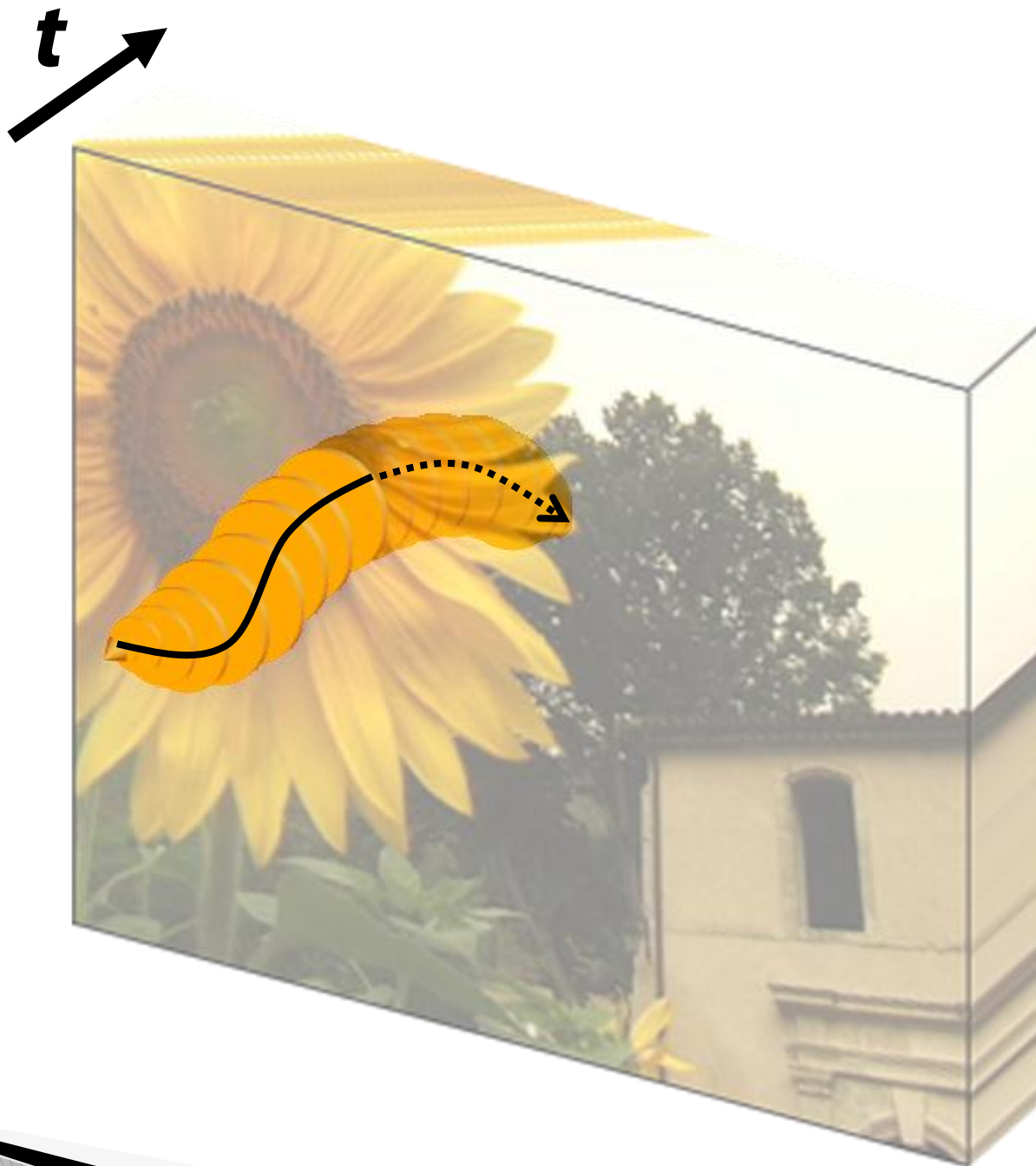
Ouverture

“Video Watercolorization using Bidirectional Texture Advection”



Filtrage spatial



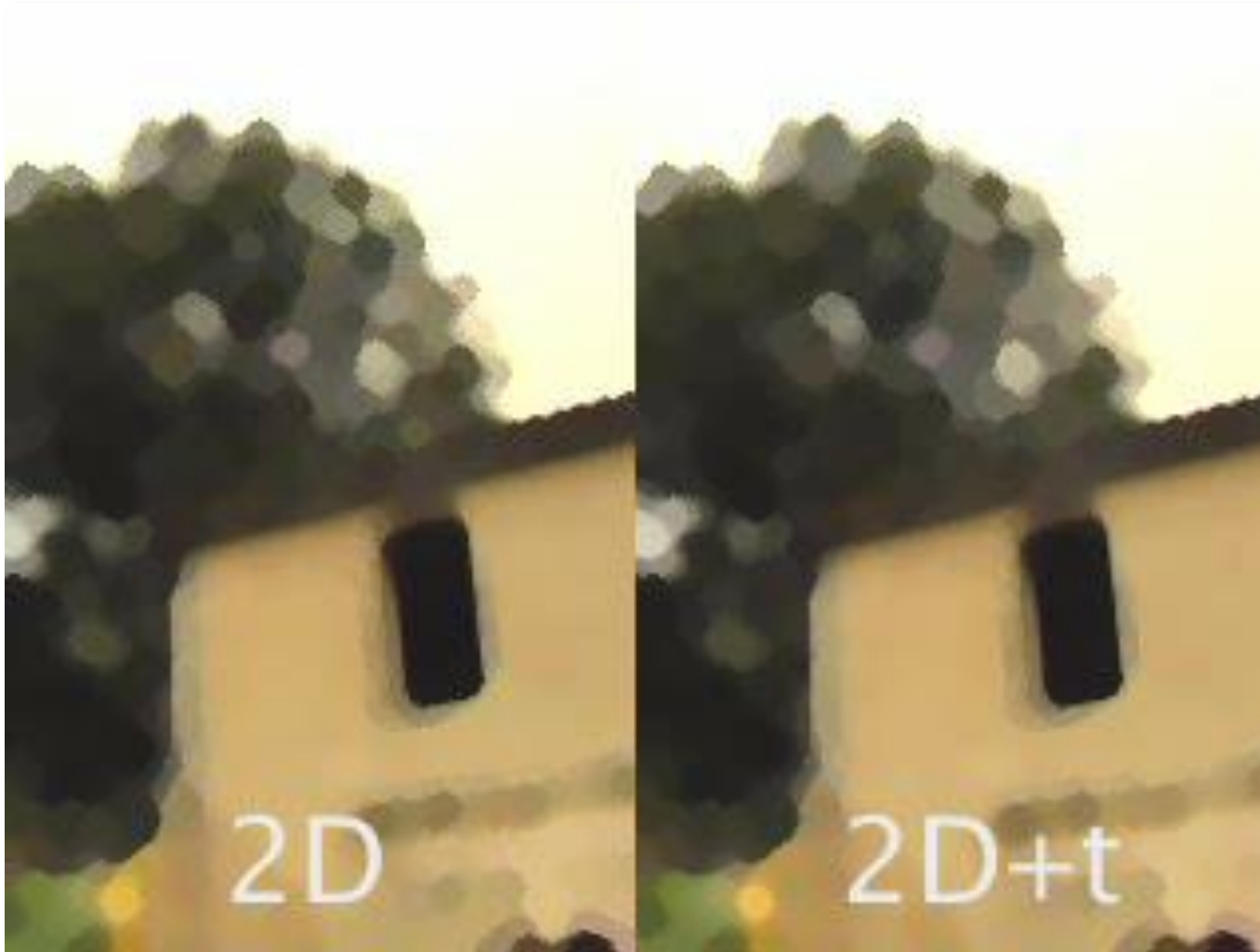


“Video Watercolorization using Bidirectional Texture Advection”



Filtrage spatio-temporel

“Video Watercolorization using Bidirectional Texture Advection”



Comparaison

“Video Watercolorization using Bidirectional Texture Advection”



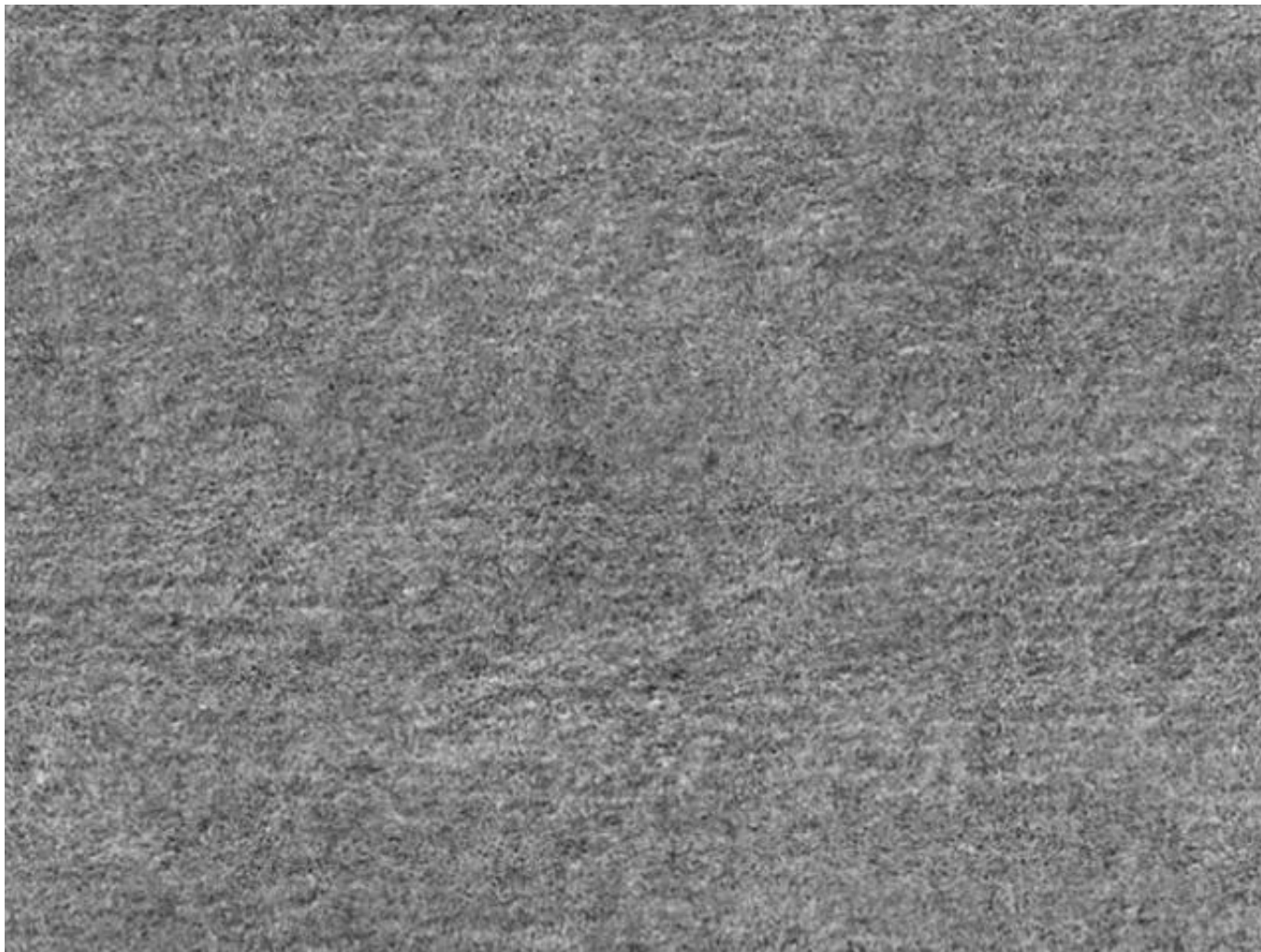
Vidéo d'origine

“Video Watercolorization using Bidirectional Texture Advection”



Filtrage spatio-temporel

“Video Watercolorization using Bidirectional Texture Advection”



Advection de texture

“Video Watercolorization using Bidirectional Texture Advection”

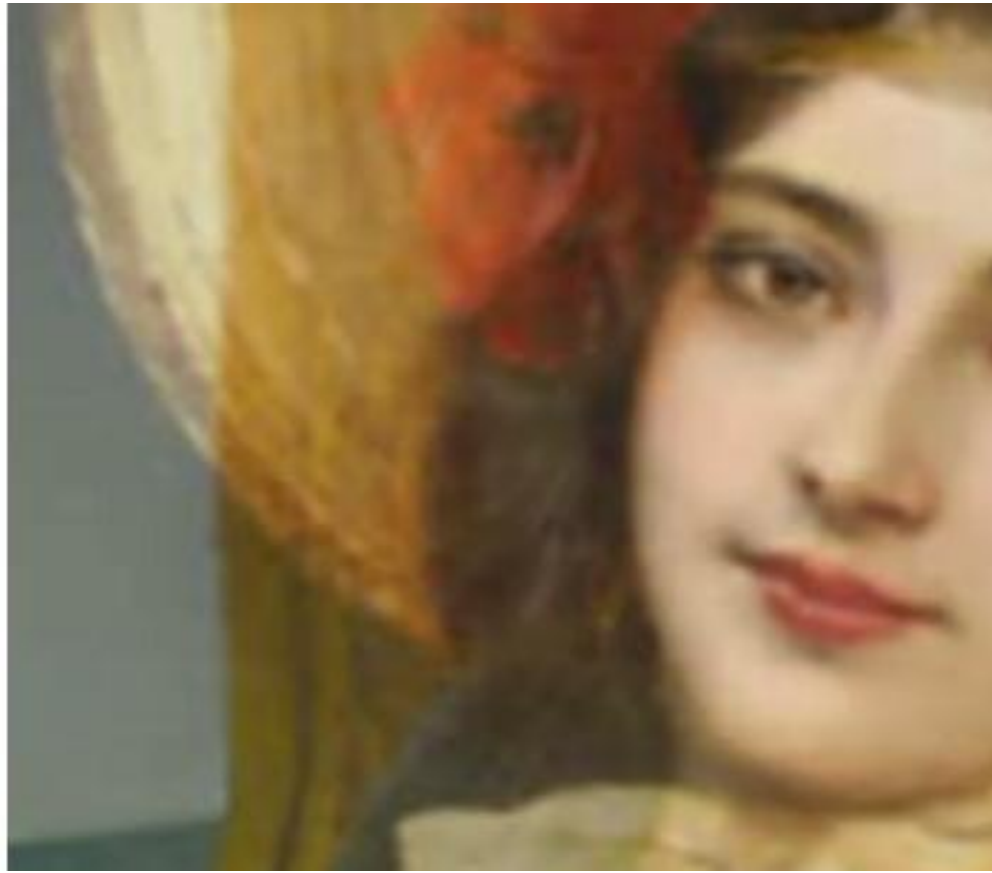


Stylisation aquarelle

Plan

- ▶ Computational processing
 - Image retargeting
 - Filtering
 - **Image Warping & Morphing**
 - Compositing & Matting
 - Gradient Editing
- ▶ Computational illumination
- ▶ Computational optics

Image Warping & Morphing

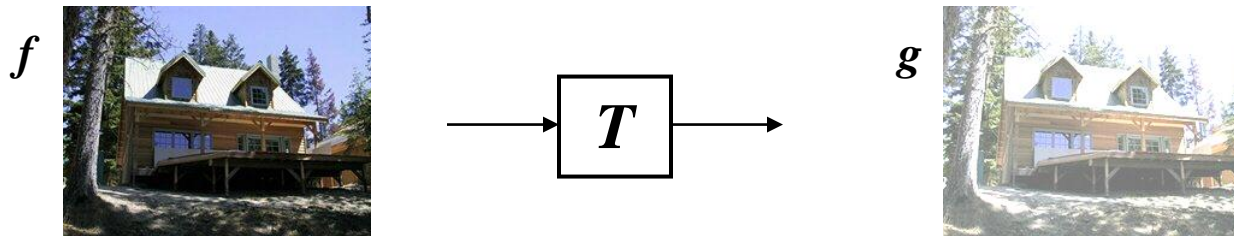


http://youtube.com/watch?v=nUDIoN-_Hxs

Image Warping

- ▶ **Filtrage** : modifie la plage de valeur

$$g(x) = T(f(x))$$



- ▶ **Warping** : modifie le domaine de l'image

$$g(x) = f(T(x))$$

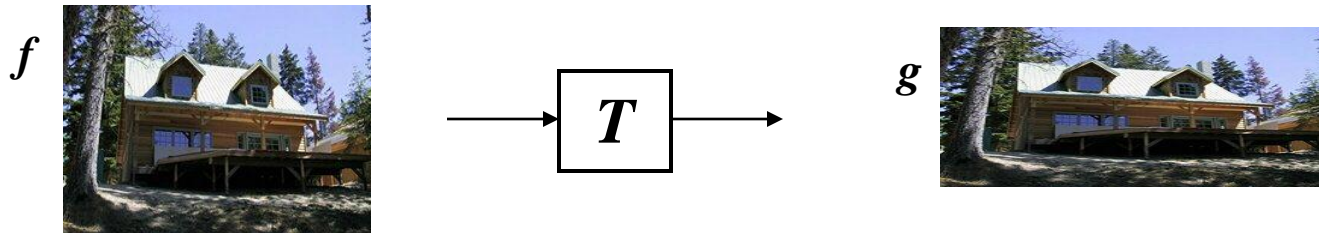
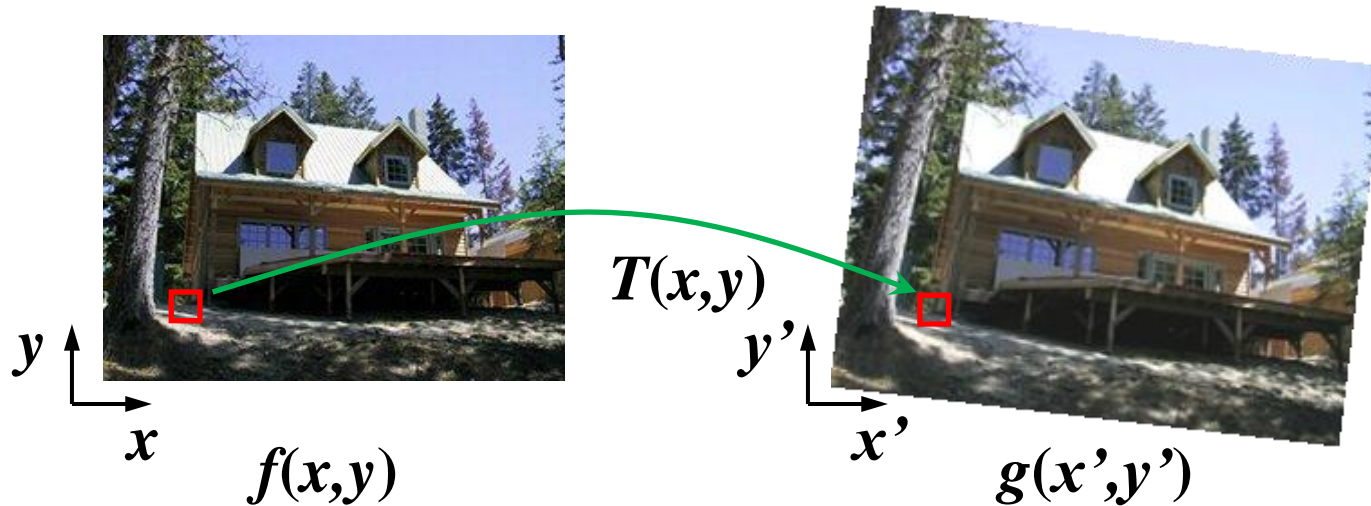
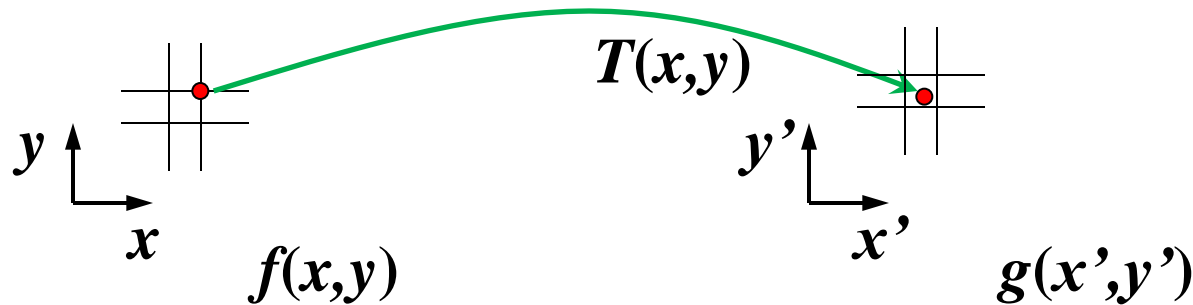


Image Warping



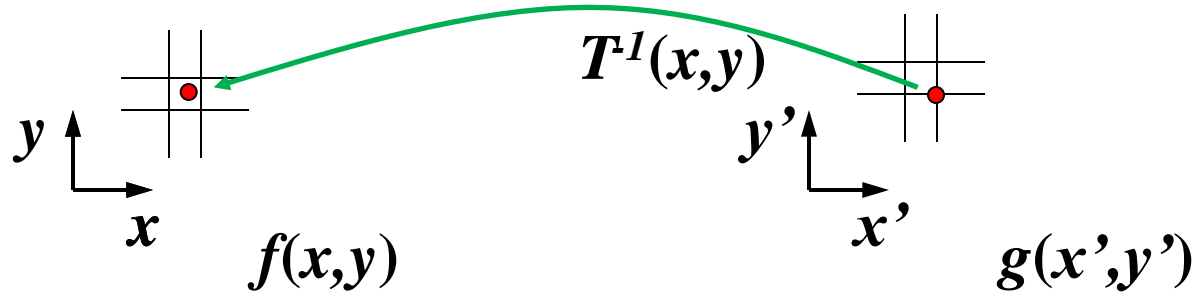
Connaissant la transformation $(x',y')=T(x,y)$ et l'image source $f(x,y)$, comment calculer l'image transformée $g(x',y')=f(T(x,y))$?

Forward warping



- ▶ Envoyer chaque pixel $f(x,y)$ à la position $(x',y') = T(x,y)$ dans la deuxième image
- ▶ Distribuer la couleur sur les pixels voisins (splating)

Inverse warping



- ▶ Chercher la position de chaque pixel $g(x',y')$ dans l'image d'origine : $(x,y) = T^{-1}(x',y')$
- ▶ Interpoler entre les différentes couleur (plus proche voisin, bilinéaire...)

Forward vs. Inverse

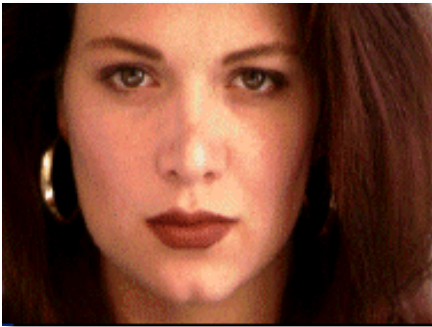
- ▶ Quelle est la meilleure méthode ?



Forward vs. Inverse

- ▶ Quelle est la meilleure méthode ?
- ▶ Généralement le **warping inverse**
 - évite les trous
 - mais la fonction doit être inversible
(ce qui n'est pas toujours le cas)

Morphing



- ▶ « Moyenne » entre deux images
 - Pas la moyenne de l'image des objets...
 - ...mais une image de la moyenne des objets
 - et une moyenne évoluant au cours du temps.
- ▶ Comment savoir ce qu'est la bonne moyenne ?
 - On n'en sait rien !
 - Mais les artistes peuvent nous aider

Fondu : « Cross-dissolve »



- ▶ Interpolation de l'image complète
 - $I_t = (1-t) * I_1 + t * I_2$
- ▶ Mais que se passe-t-il si les images ne sont pas alignées ?

Alignment puis fondu



- ▶ Aligner d'abord (wrap global), puis faire un fondu

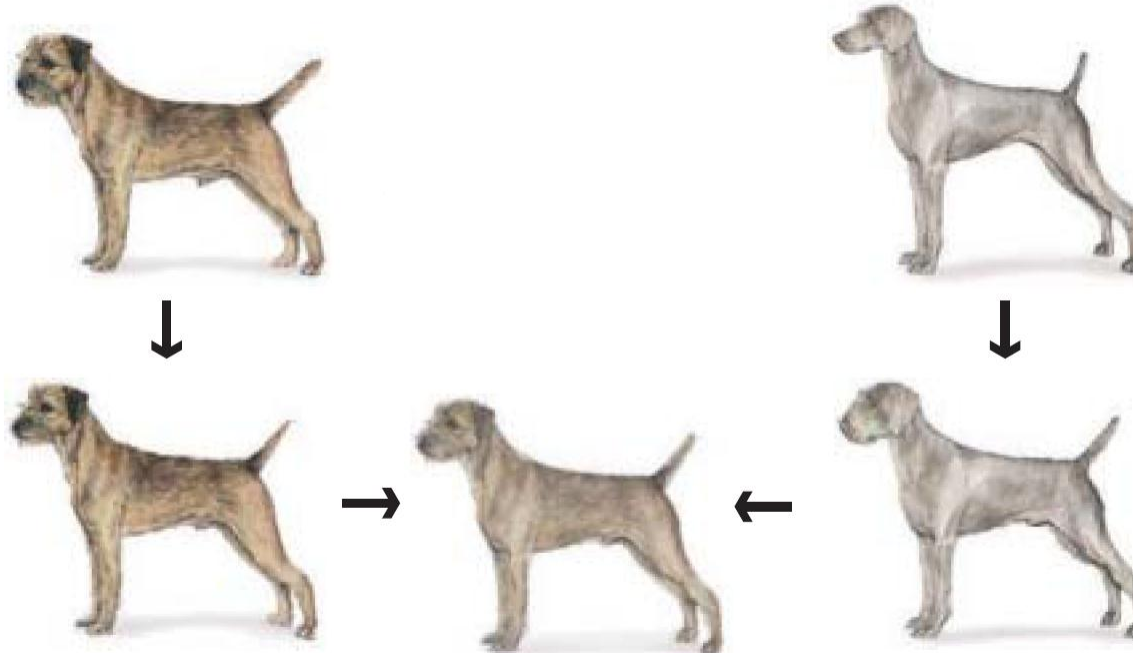
Et pour le chien ?



- ▶ Fondu ne marche pas
- ▶ Alignement global ne marche pas

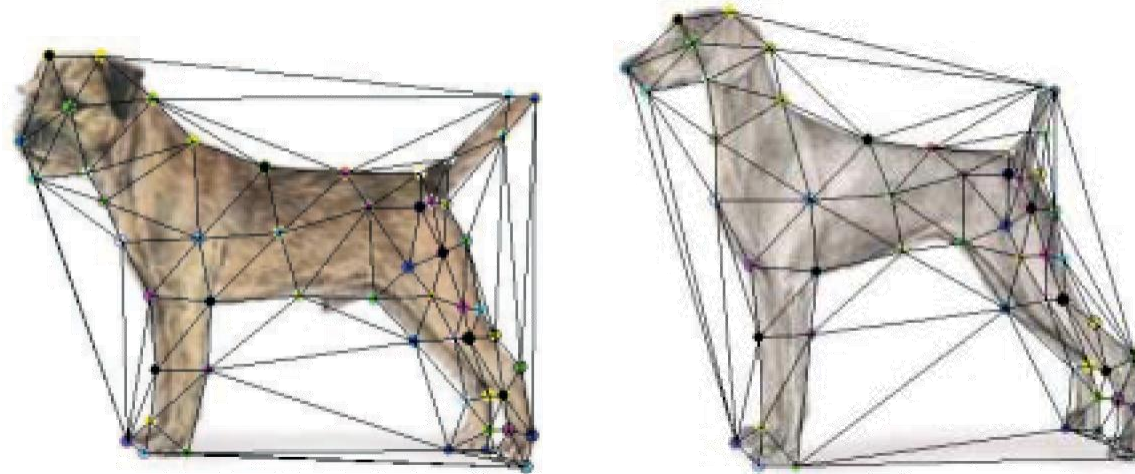


Warping local, puis fondu



Comment spécifier la transformation ?

Solution 1 : Maillage



- ▶ Définir des points de correspondance
- ▶ En déduire une triangulation (Delaunay)
- ▶ Et la déformation de chaque triangle
(transformation affine = texture mapping)

Solution 2 : autres coordonnées

- ▶ “Mean Value Coordinates” [Floater03]
- ▶ “Harmonic Coordinates” [DM07]
- ▶ “Green Coordinates” [LLC08]
- ▶ “Complex Barycentric Coordinates” [OBG09]

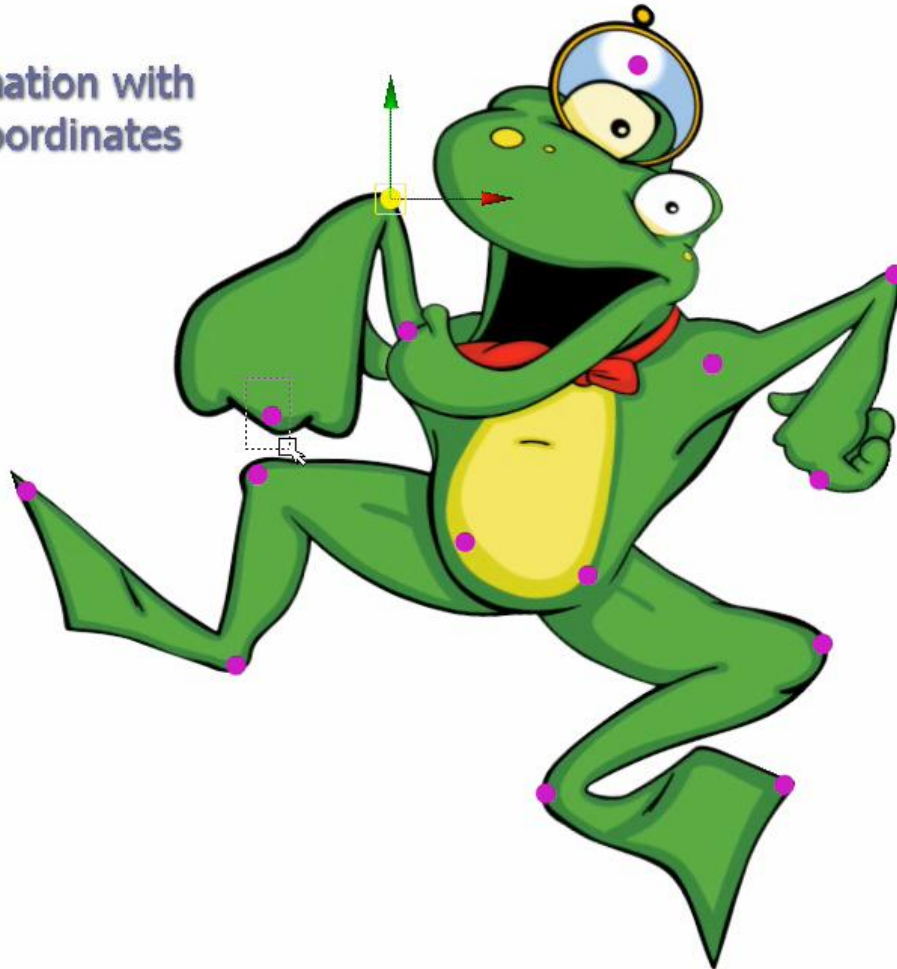
Solution 2 : autres coordonnées

Szego
Legs stay put



Solution 2 : autres coordonnées

Deformation with
P2P coordinates



Plan

- ▶ Computational processing
 - Image retargeting
 - Filtering
 - Image Warping & Morphing
 - **Compositing & Matting**
 - Gradient Editing
- ▶ Computational illumination
- ▶ Computational optics

Comment volent les super-héros ?



Superpouvoirs ?
ou
Image matting ?



Image matting – Compositing



Cinefex

Compositing

Digital Domain

$$\mathbf{B} = (\mathbf{R}_B, \mathbf{G}_B, \mathbf{B}_B)$$

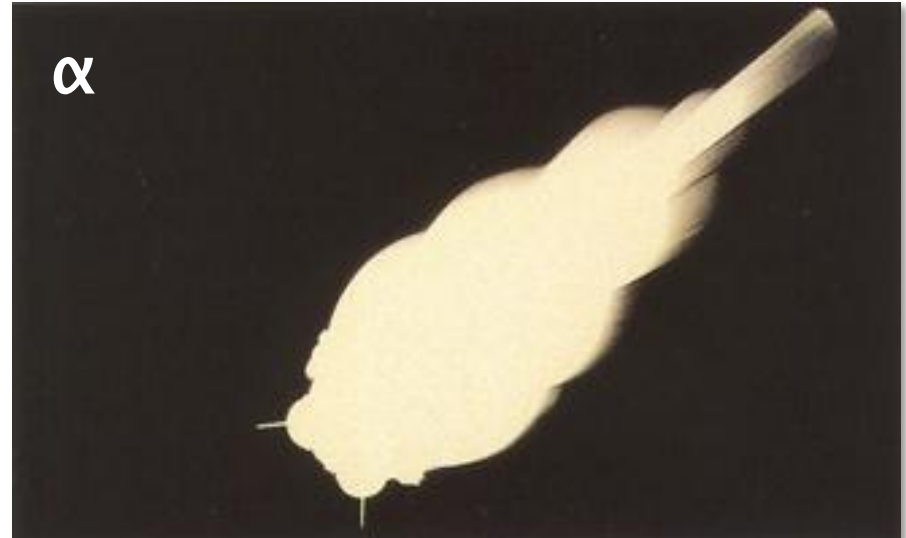


$$\mathbf{F} = (\mathbf{R}_F, \mathbf{G}_F, \mathbf{B}_F)$$



- ▶ Alpha-mask
- ▶ $\alpha \in [0;1]$
- ▶ $C = \alpha \mathbf{F} + (1 - \alpha) \mathbf{B}$

$$\alpha$$



Alpha binaire

Digital Domain



Alpha continue

Digital Domain



L'écran bleu



L'écran bleu



- ▶ Matting le plus courant à la TV et au cinéma
- ▶ Inventé par **Petros Vlahos** dans les années 50 (Technical Academy Award, 1995)
- ▶ Limitation : pas de bleu dans le premier plan
- ▶ Heuristique : $\alpha = 1 - p_1(b - p_2 g)$
 - $b < p_2 g$, avec p_2 entre 0.5 et 1.5
 - p_1 et p_2 définis par l'utilisateur

Natural matting : ambiguïté

- ▶ **7 inconnues :**
 - α
 - $F = (R_F, G_F, B_F)$
 - $B = (R_B, G_B, B_B)$
- ▶ **3 équations :** une par canal de couleur

Natural matting

[Ruzon & Tomasi 2000, Chuang et al. 2001]

- ▶ Image à l'arrière plan quelconque
- ▶ Trimap grossière fournie par l'utilisateur
 - B connu en noir,
 - F connu en blanc
 - Inconnu en gris
- ▶ Objectif : estimer F, B, α dans la zone inconnue



Image d'entrée



Trimap

Bayesian matting

$$P(x|y) = P(y|x) \cdot P(x) / P(y)$$

↑ ↑ ↑ ↑
 le paramètre à estimer fonction de vraisemblance constante vis-à-vis de x
 ce qu'on observe probabilité a priori

Bayesian matting

- ## ► Ce qu'on observe : la couleur C

Bayesian matting

- ▶ Ce qu'on observe : la couleur C
- ▶ Ce qu'on veut estimer : F, B, α

$$P(\mathbf{x}|\mathbf{C}) = P(\mathbf{C}|\mathbf{x}) \cdot P(\mathbf{x}) / P(\mathbf{C})$$

↑ ↑ ↑ ↑
le paramètre à estimer ce qu'on observe fonction de vraisemblance probabilité a priori
constant vis-à-vis de x

Bayesian matting

- ▶ Ce qu'on observe : la couleur C
- ▶ Ce qu'on veut estimer : F, B, α
- ▶ **Fonction de vraisemblance**
 - Connaissant F, B, α , probabilité d'observer C
 - Mesures parfaites $\Rightarrow C = \alpha F + (1 - \alpha)B$
 - En pratique, hypothèse de bruit Gaussien de variance σ_C (+lissage de la probabilité)

$$P(F, B, \alpha | C) = P(C | F, B, \alpha) P(F, B, \alpha) / P(C)$$



le paramètre à estimer

fonction de vraisemblance

constante vis-à-vis de x

ce qu'on observe

probabilité a priori

Bayesian matting

- ▶ Ce qu'on observe : la couleur C
- ▶ Ce qu'on veut estimer : F, B, α
- ▶ Fonction de vraisemblance
- ▶ Probabilité a priori
 - Construire une distribution de probabilité d'après les régions connues de la trimap
 - Cœur du « Bayesian matting »

$$P(F, B, \alpha | C) = P(C | F, B, \alpha) \text{ P}(F, B, \alpha) / P(C)$$



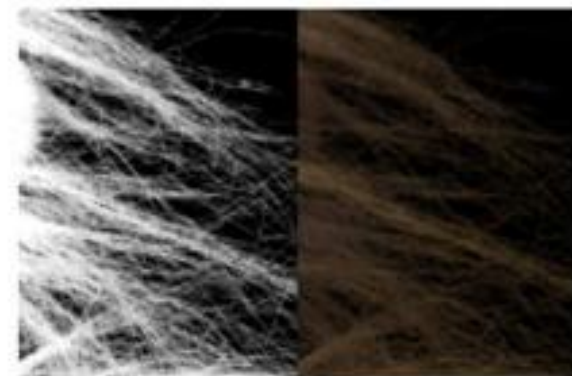
Bayesian matting

- ▶ Hypothèse : F, B, α indépendants
$$P(F, B, \alpha | C) = P(C|F, B, \alpha) P(F, B, \alpha) / P(C)$$
$$= P(C|F, B, \alpha) \textcolor{red}{P(F)} \textcolor{red}{P(B)} \textcolor{red}{P(\alpha)} / P(C)$$
- ▶ Passage au log (supprimer les multiplications)
$$\textcolor{red}{L(F, B, \alpha | C) = L(C|F, B, \alpha) + L(F) + L(B) + L(\alpha) - L(C)}$$
- ▶ Ignorer la constante $L(C)$
- ▶ Maximiser itérativement :
$$L(C|F, B, \alpha) + L(F) + L(B) + L(\alpha)$$

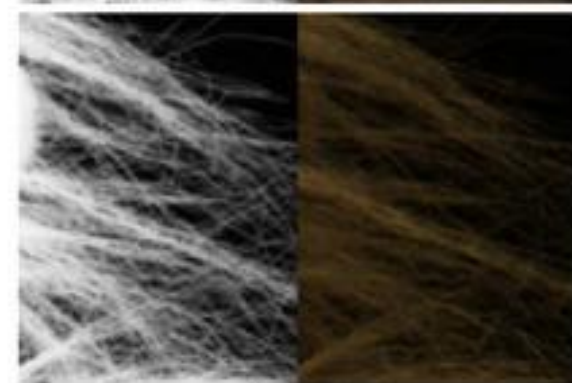
Bayesian matting

Chuang et al. 2001

Bayesian approach



Ground truth



Alpha Matte

Composite

Inset

Bayesian matting



Alpha Matte



Composite



Inset

Chuang et al. 2001

Environment matting

- ▶ Effets optiques plus complexes
- ▶ Chaque pixel peut dépendre de plusieurs pixels de l'arrière plan



[Chuang, Zongker, Hindorff, Curless, Salesin and Szeliski 1999-2000]

Environment Matting Equation

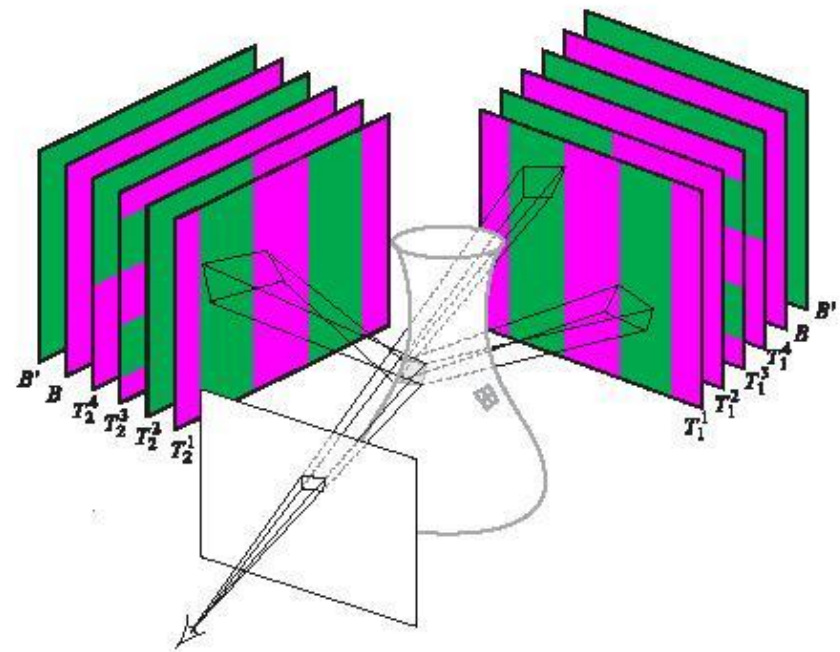
$$C = F + (1 - \alpha)B + \Phi$$

- ▶ $\alpha \sim$ amount of light that passes through the foreground
- ▶ $\Phi \sim$ contribution of light from Environment that travels through the object

Explanation of Φ

$$\Phi = \sum_{i=1}^m \int R_i(x) T_i(x) dx$$

R – reflectance image
T – Texture image



Environment matting



Alpha Matte

Environment Matte

Photographie

Plan

- ▶ Computational processing
 - Image retargeting
 - Filtering
 - Image Warping & Morphing
 - Compositing & Matting
 - Gradient Editing
- ▶ Computational illumination
- ▶ Computational optics

Gradient Domain Blending



gradient visualization

sources/destination

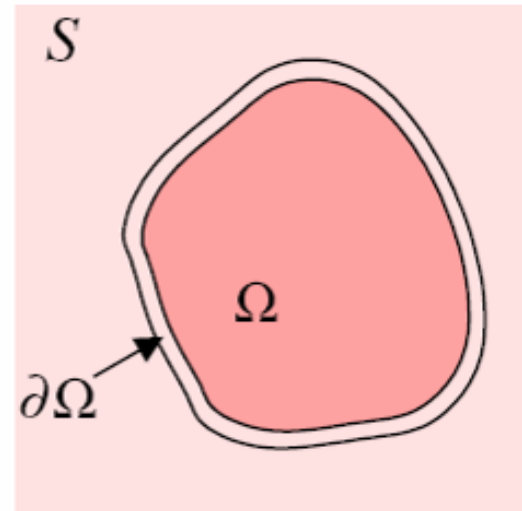


seamless cloning

[Perez et al. 2003]

Gradient Domain Blending

- ▶ Copier le **gradient** de l'image source (sélection Ω) dans l'image destination S
- ▶ Rendre le nouveau gradient **aussi proche que possible** du gradient source en tenant compte des **valeurs au bord** $\partial\Omega$

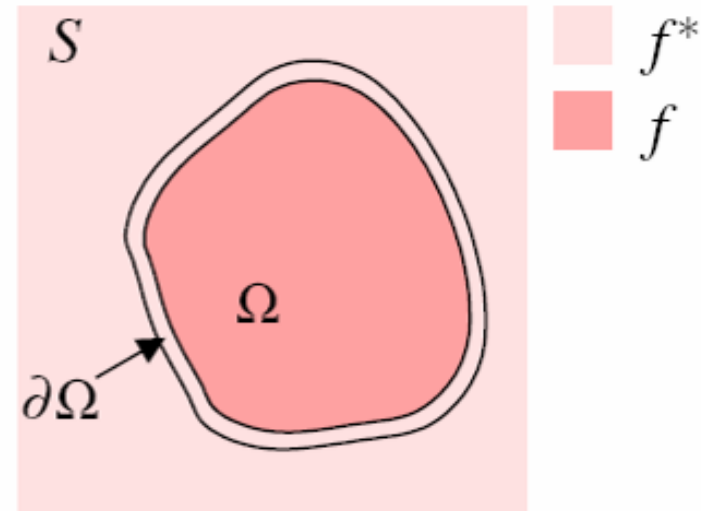
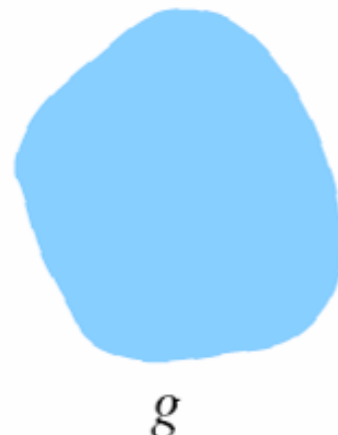
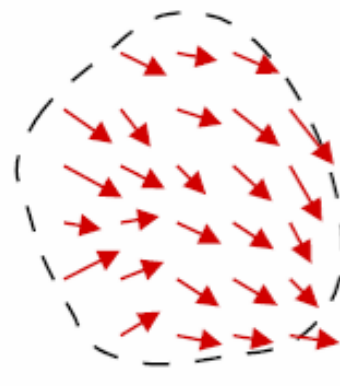


Gradient Domain Blending

- ▶ Connaissant le gradient source (champ de vecteur \mathbf{v}), trouver \mathbf{f} dans la zone \mathbf{g} qui minimise :

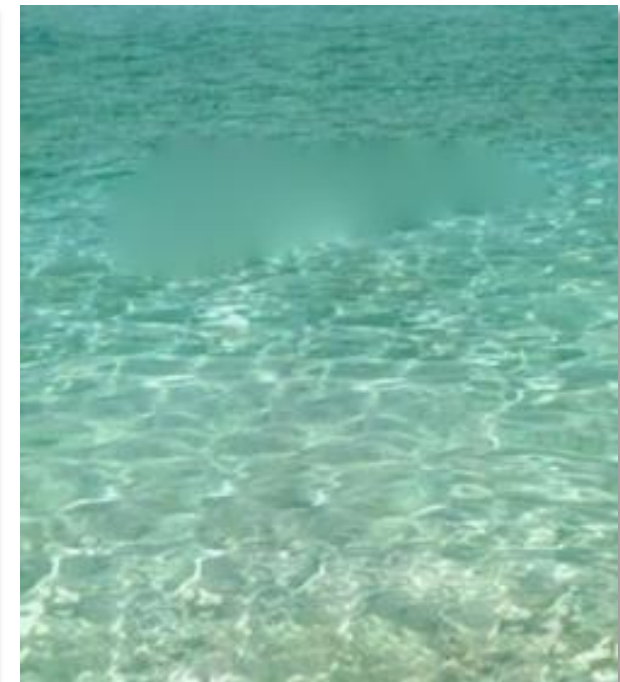
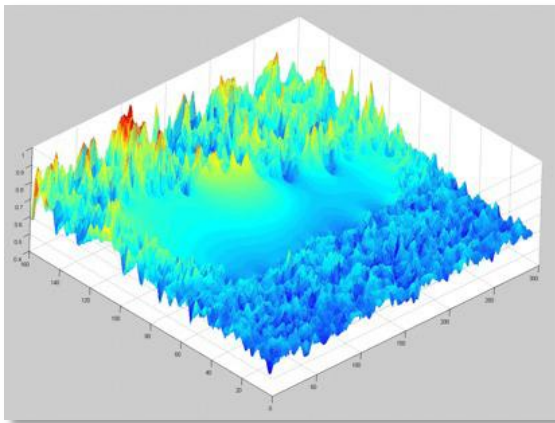
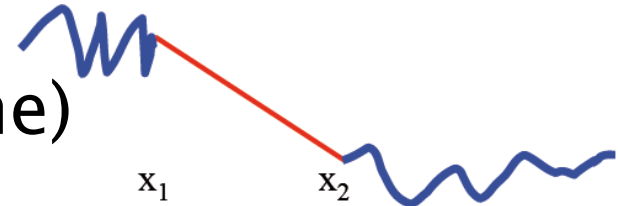
$$\min_f \iint_{\Omega} |\nabla f - \mathbf{v}|^2 \text{ avec } f|_{\partial\Omega} = f^*|_{\partial\Omega}$$

⇒ équation de Poisson avec conditions au bord de Dirichlet



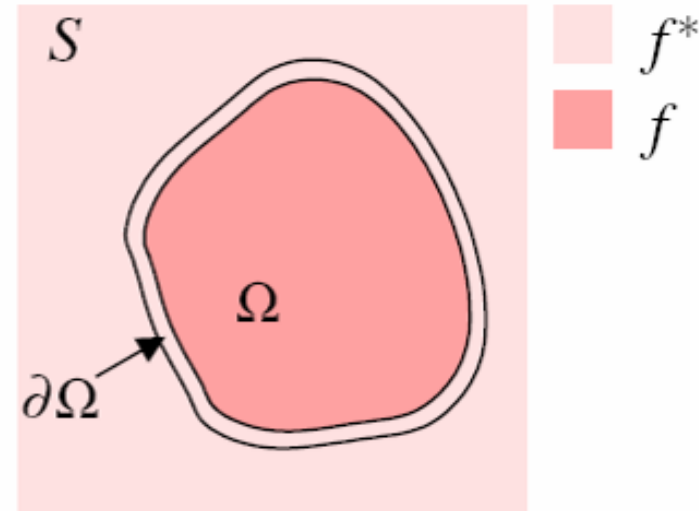
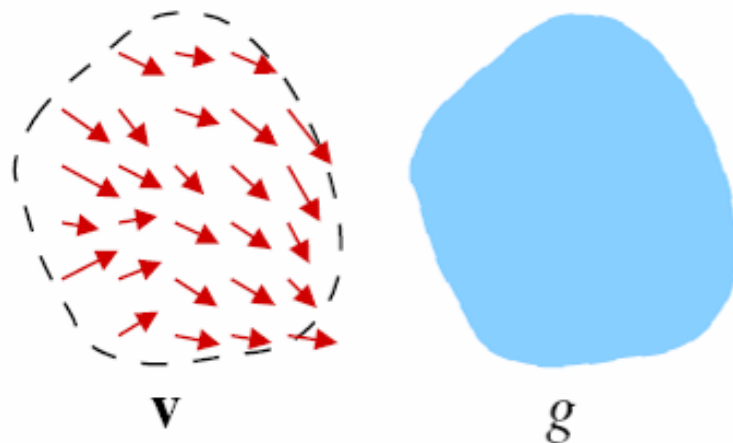
Gradient Domain Blending

- ▶ Si v est nul
- ▶ Equation de Laplace (membrane)
- ▶ En 1D = interpolation linéaire
- ▶ En 2D :



Gradient Domain Blending

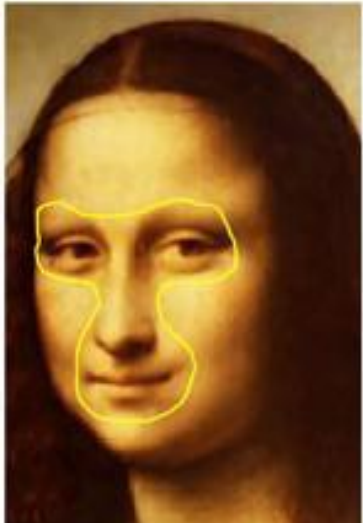
- ▶ Si \mathbf{v} n'est pas nul et conservatif (gradient de g)
- ▶ Fonction de correction \hat{f} telle que $f = g + \hat{f}$
- ▶ \hat{f} interpolant membrane de $(f^* - g)$ sur Ω



Gradient Domain Blending

- ▶ Minimisation au sens des moindres carrés
- ▶ Discrétisation \Rightarrow gros système d'équations linéaire creux à résoudre
 - Région de 100x100 pixels
 - 10 000 inconnues
 - matrice 10 000x10 000 !!!
- ▶ Iterative solvers, FFT, deconvolution, multigrid solvers...

Gradient Domain Blending



sources/destination



cloning



seamless cloning

Local color changes



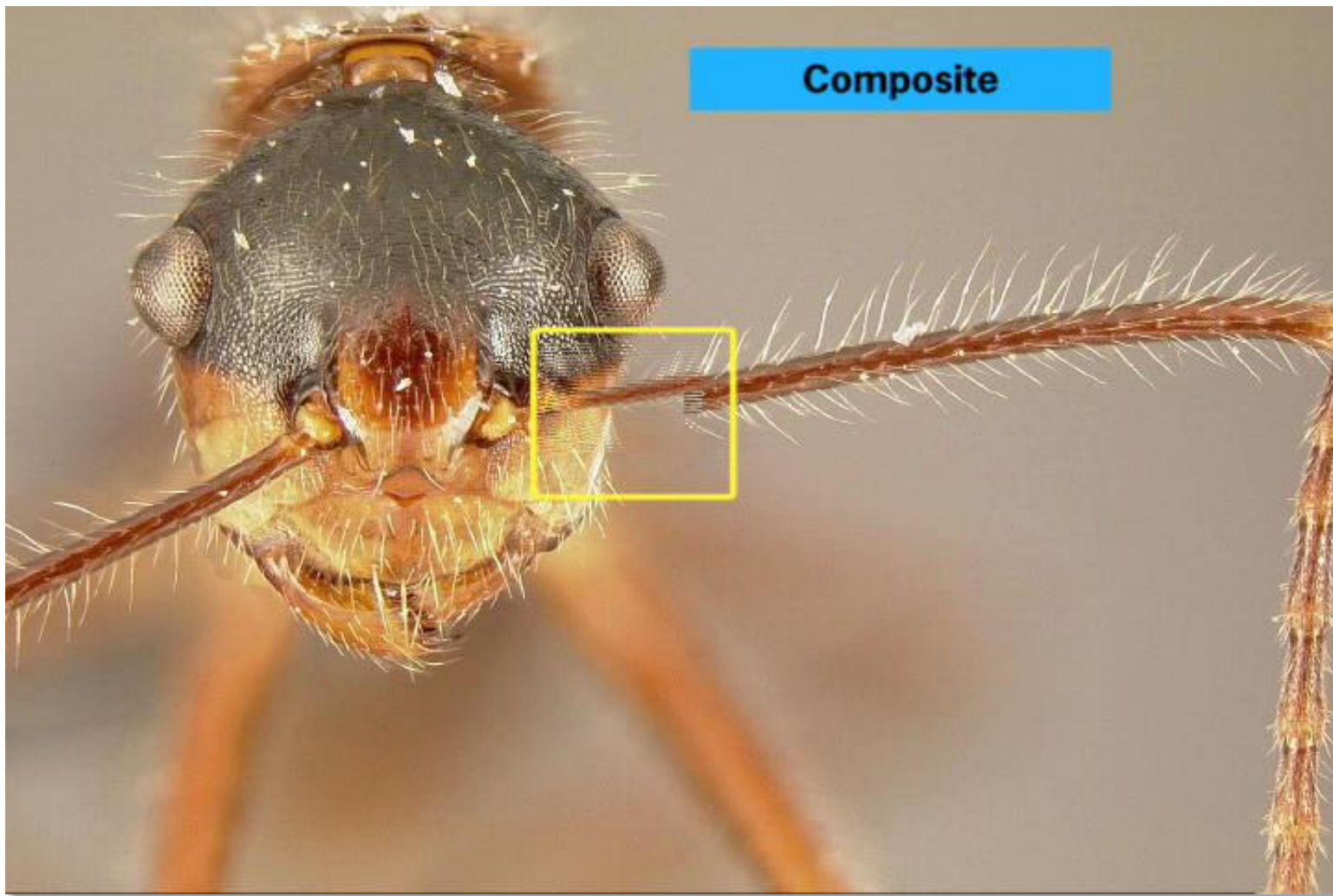
Limitations

- ▶ Pas d'inversion du contraste
(gris sur noir => gris sur blanc)
- ▶ “Bleeding”
- ▶ Alignement quasi parfait des images

Applications

- ▶ Montage photo [Agrawala et al. 2002]
 - compositing, depth of field, panorama...

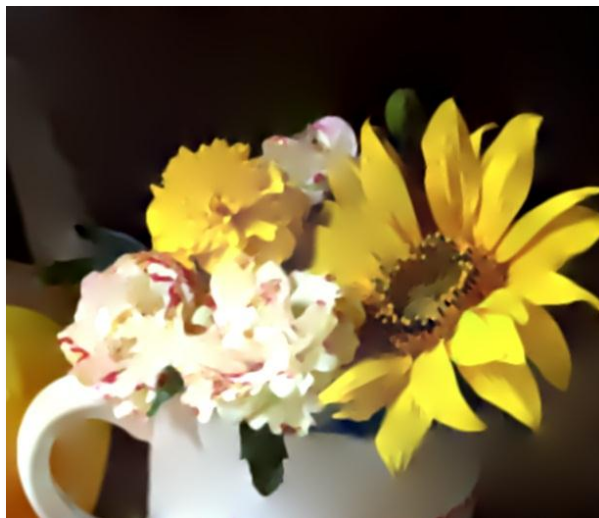
“Interactive Digital Photomontage”



[Agarwala et al. 2004]

Applications

- ▶ Montage photo [Agrawala et al. 2002]
 - compositing, depth of field, panorama...
- ▶ Tone-mapping [Fattal et al. 2002]
- ▶ Abstraction + stylisation [Orzan et al. 2007]



Applications

- ▶ Montage photo [Agrawala et al. 2002]
 - compositing, depth of field, panorama...
- ▶ Tone-mapping [Fattal et al. 2002]
- ▶ Abstraction + stylisation [Orzan et al. 2007]
- ▶ Painting [McCann et al. 2008]
Drawing [Orzan et al. 2008]



[Orzan et al. 2008]



[McCann et al. 2008]

Plan

- ▶ Computational processing
- ▶ Computational illumination
 - Light fields & Lumigraphs
- ▶ Computational optics

The Plenoptic Function

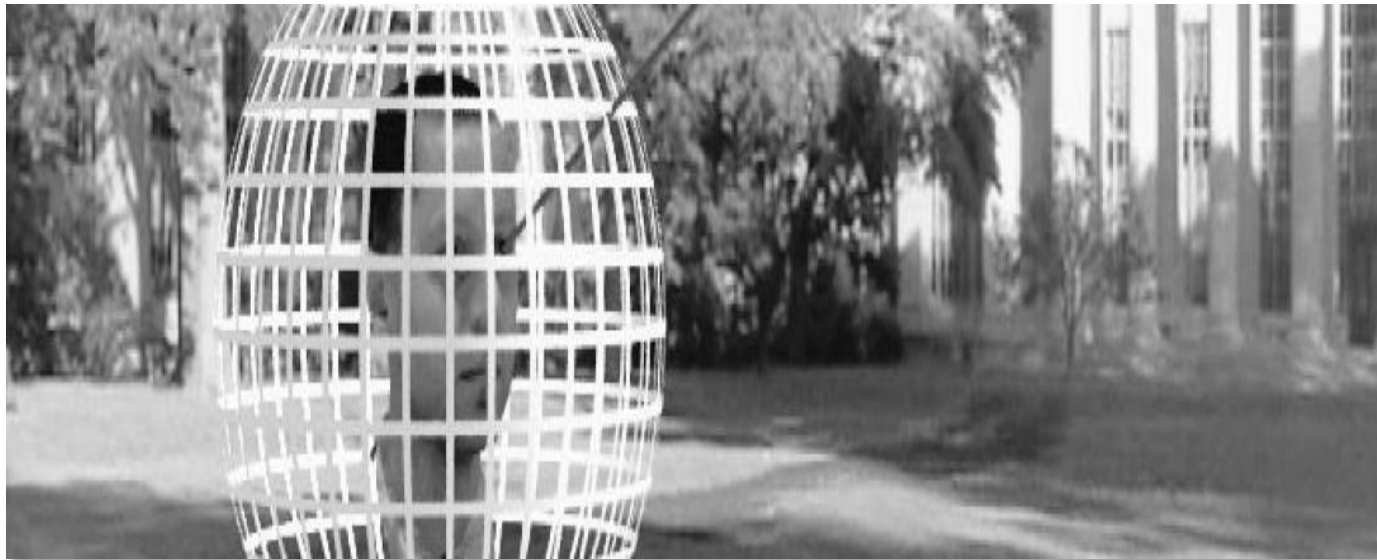
[Adelson & Bergen 91]



Crédit: Leonard McMillan

- ▶ Comment décrire (et capturer) toutes les images possibles autour de nous ?
- ▶ Essayons de trouver une paramétrisation pour une personne statique

Grayscale snapshot



$$P(\theta, \phi)$$

is intensity of light

- seen from a single view point
- at a single time
- averaged over the wavelengths of the visible spectrum

(can also do $P(x,y)$, but spherical coordinate are nicer)

Color snapshot



$$P(\theta, \phi, \lambda)$$

is intensity of light

- seen from a single view point
- at a single time
- **as a function of wavelength**

A movie

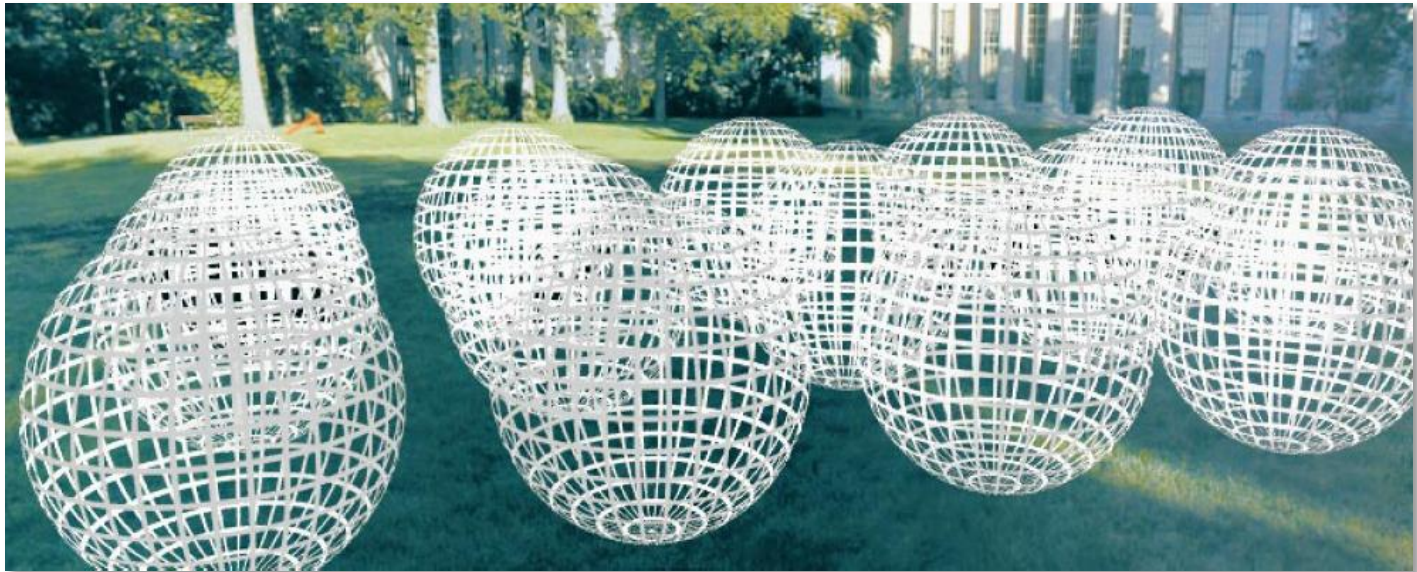


$$P(\theta, \phi, \lambda, t)$$

is intensity of light

- seen from a single view point
- **over time**
- as a function of wavelength

Holographic movie

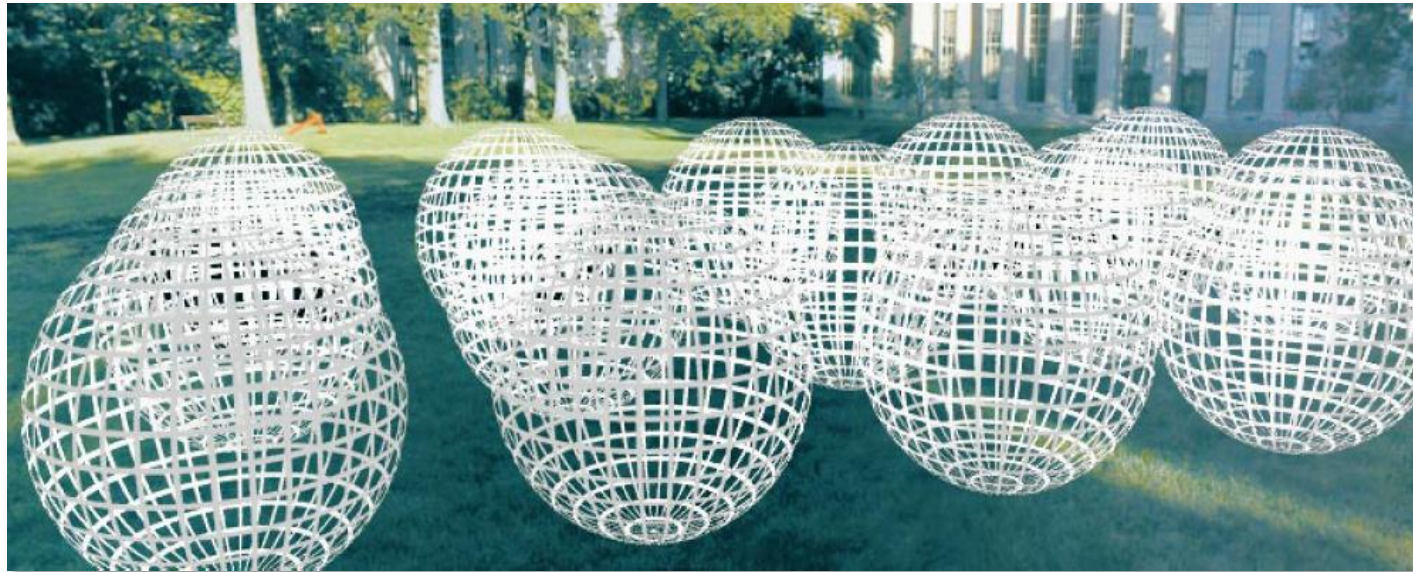


$$P(\theta, \phi, \lambda, t, V_x, V_y, V_z)$$

is intensity of light

- seen from **ANY** viewpoint
- over time
- as a function of wavelength

The Plenoptic Function



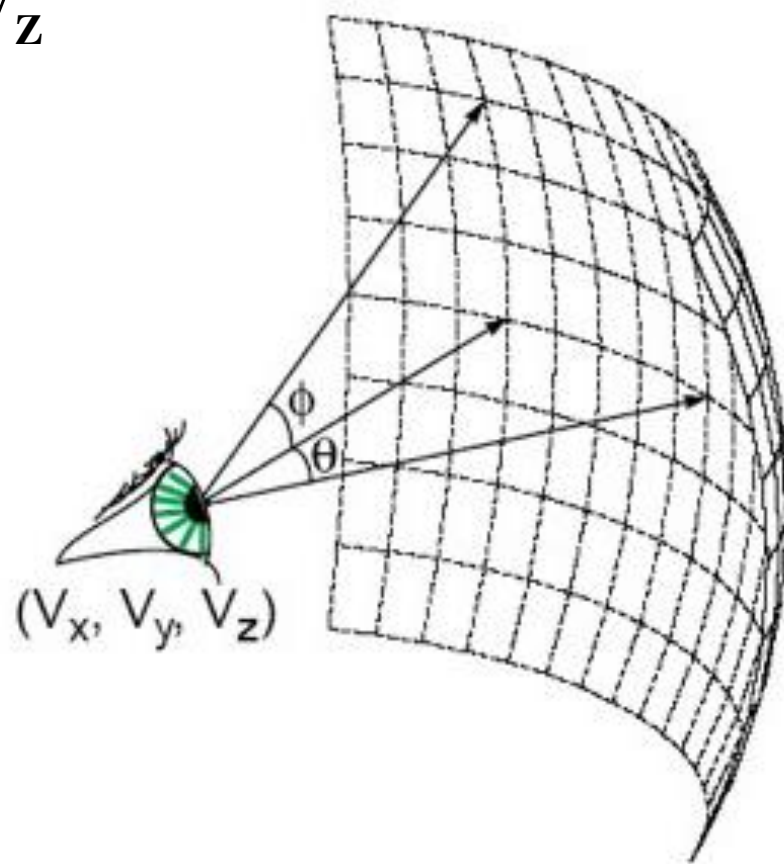
$$P(\theta, \phi, \lambda, t, V_x, V_y, V_z)$$

- ▶ Can reconstruct **every possible view**, at **every moment**, from **every position**, at **every wavelength**
- ▶ Contains every photograph, every movie, everything that anyone has ever seen! It **completely captures our visual reality!** Not bad for a function...

The Plenoptic Function

7D

- 3D for viewpoint: V_x, V_y, V_z
- 2D for ray direction: θ, ϕ
- 1D for wavelength: λ
- 1D for time: t



McMillan 95

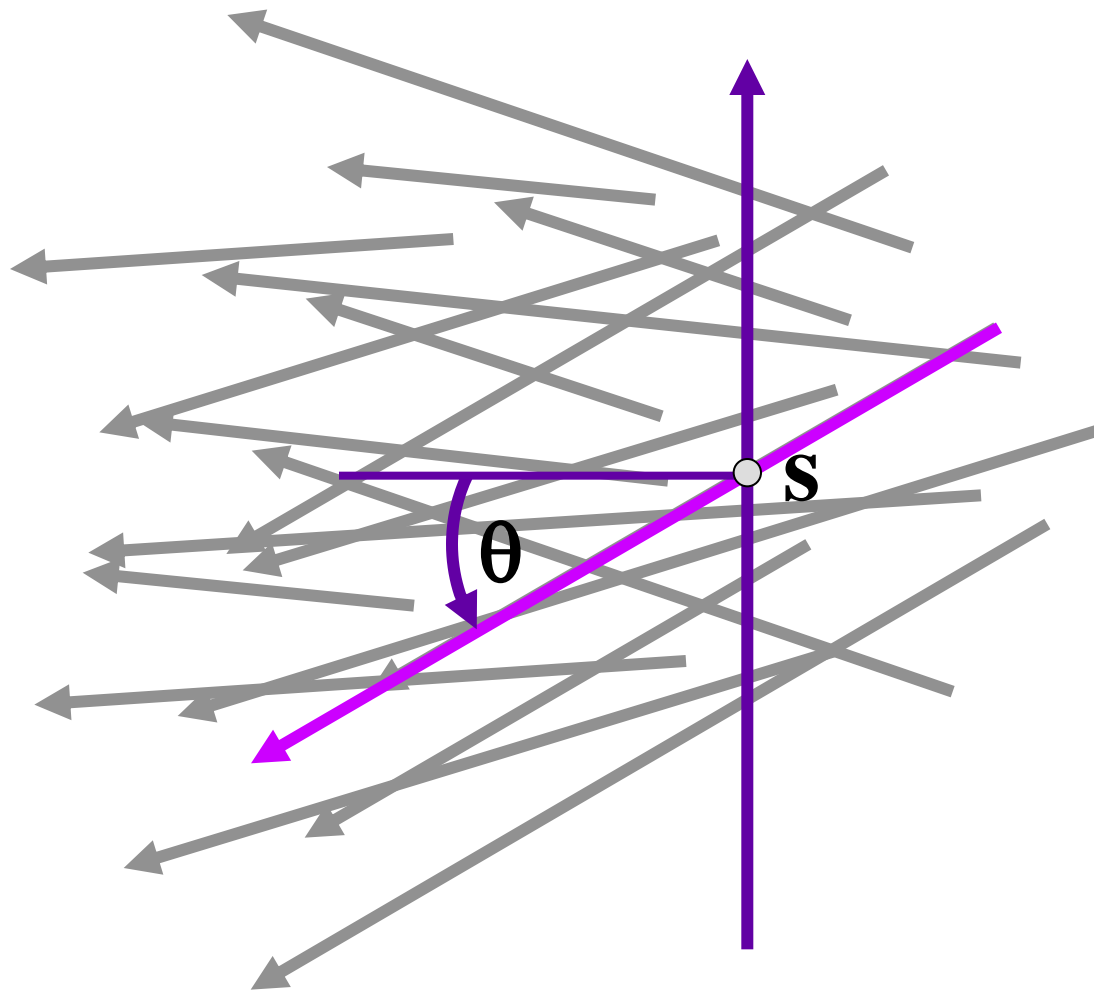
Lumigraph / Light fields

- ▶ Extérieur = enveloppe convexe de la scène
- ▶ Pour chaque rayon dans cet espace, capturer et stocker la radiance (couleur RGB)
- ▶ **Rendu = lookup**
- ▶ 2 publications en 1996
 - “Light field rendering” [Levoy & Hanrahan]
 - “The Lumigraph” [Gortler et al.]

Lumigraph - Organization

2D position: \mathbf{S}

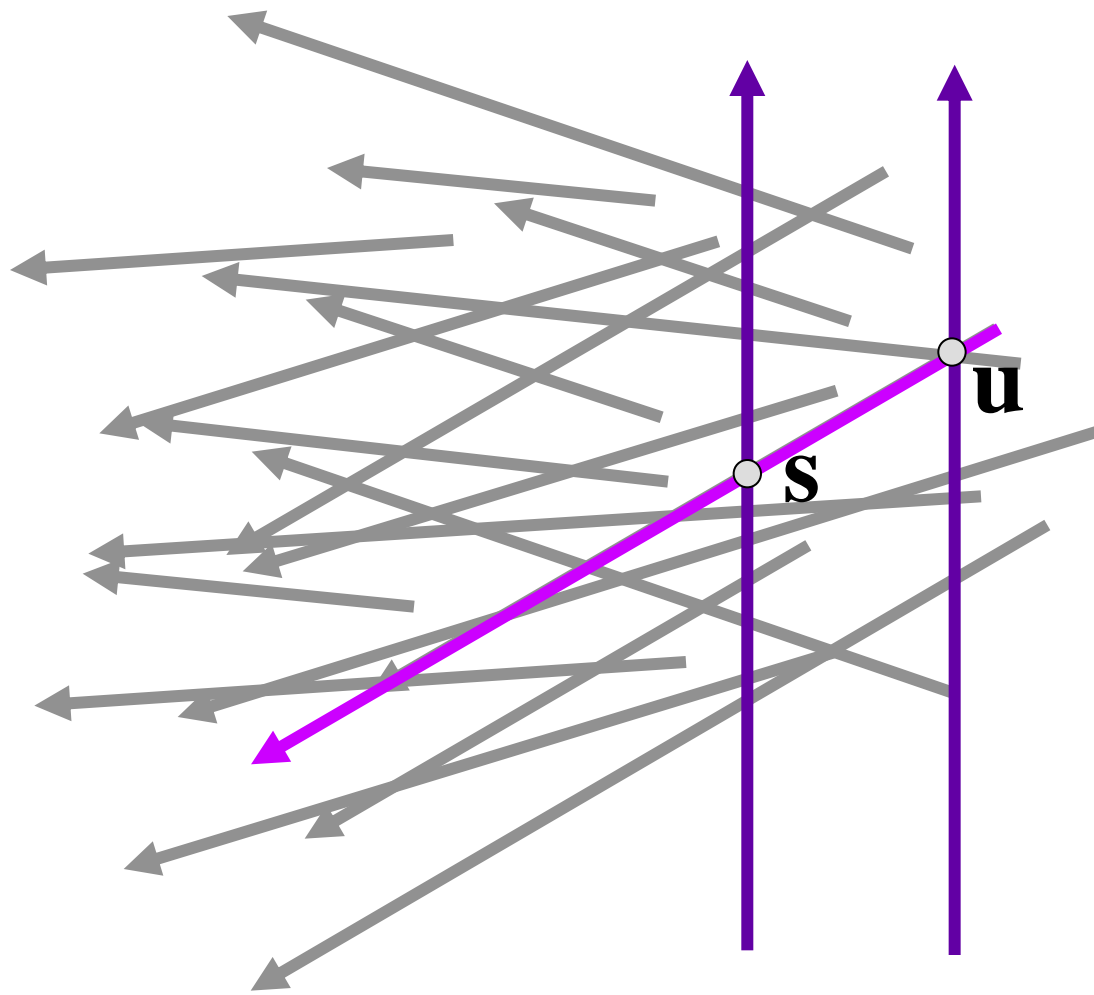
2D direction: θ



Lumigraph - Organization

2D position: **S**

2D position: **u**

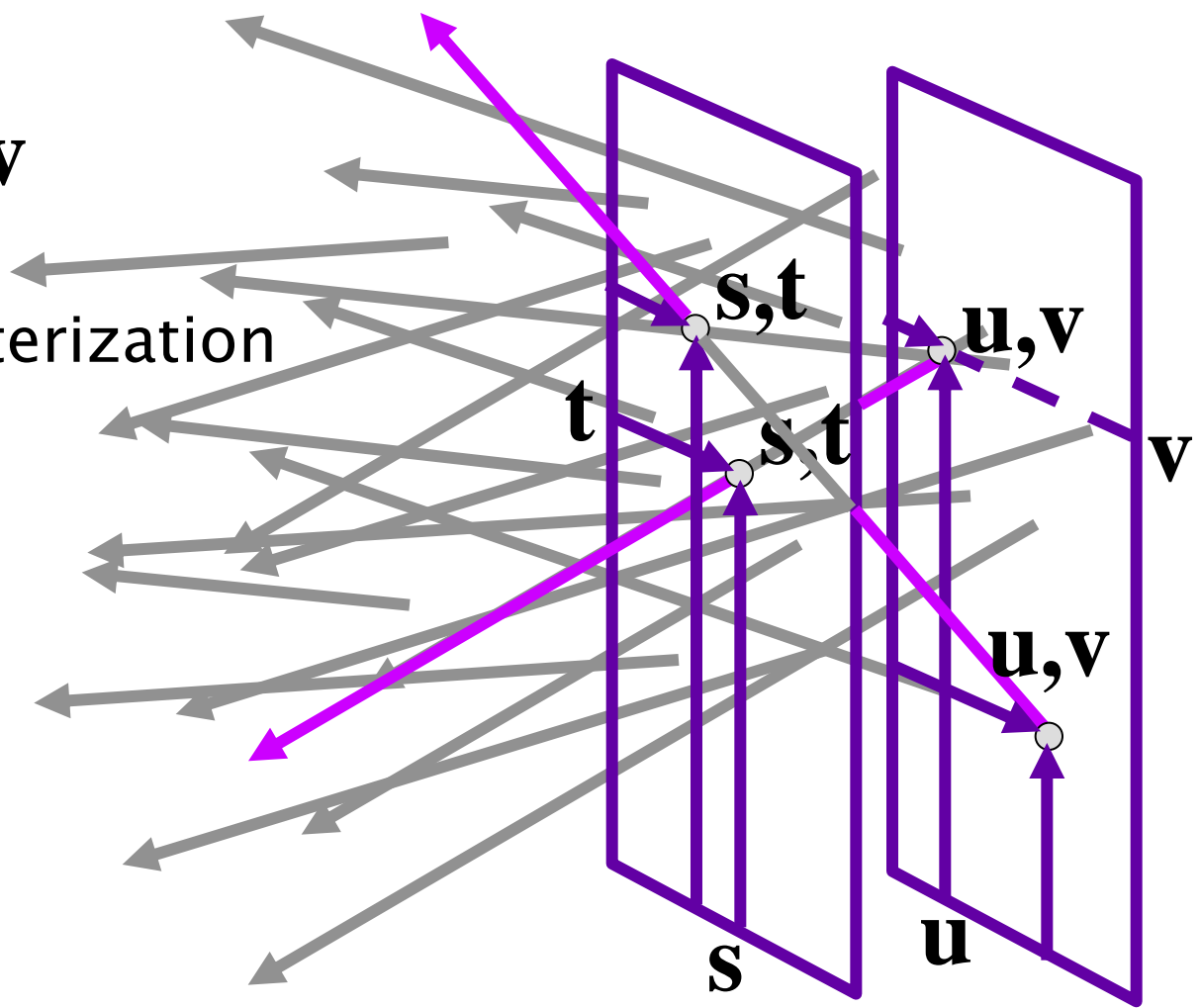


Lumigraph - Organization

2D position: s, t

2D position: u, v

2 plane parameterization

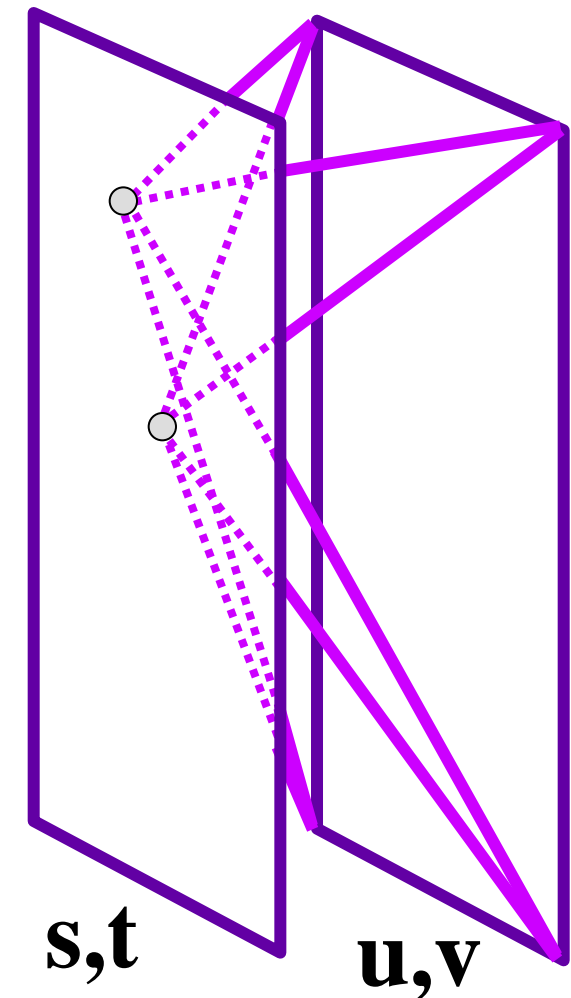


Lumigraph – Organization

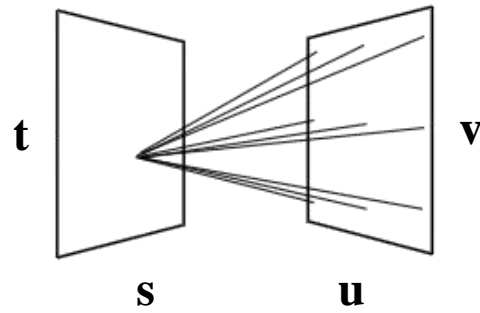
Hold s, t constant

Let u, v vary

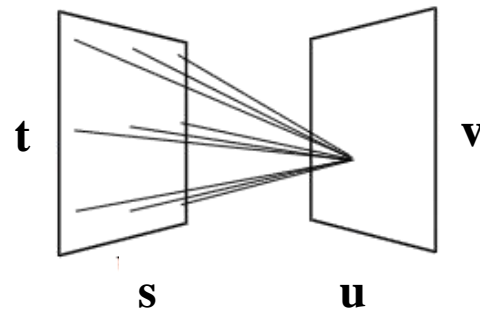
⇒ an image



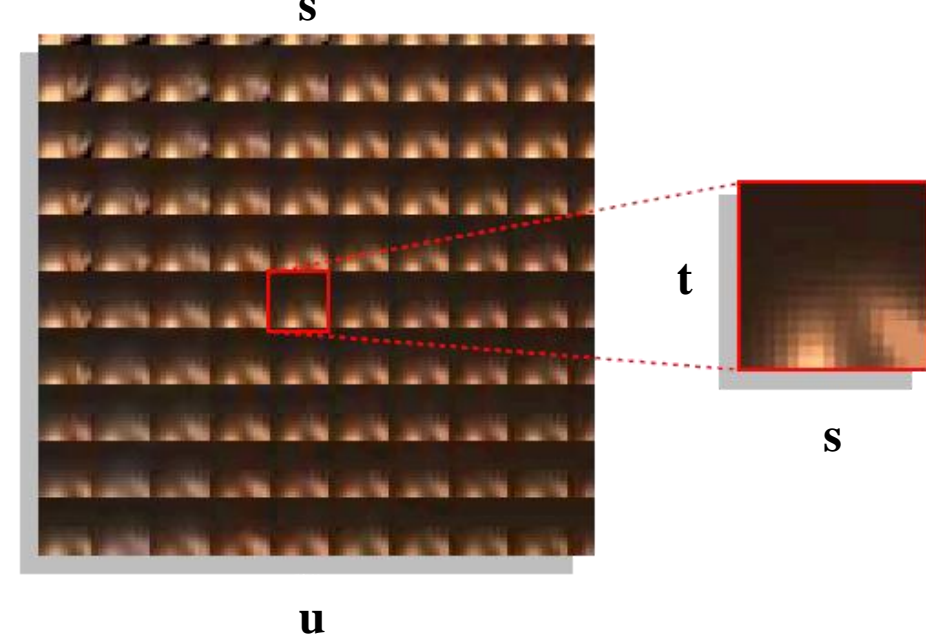
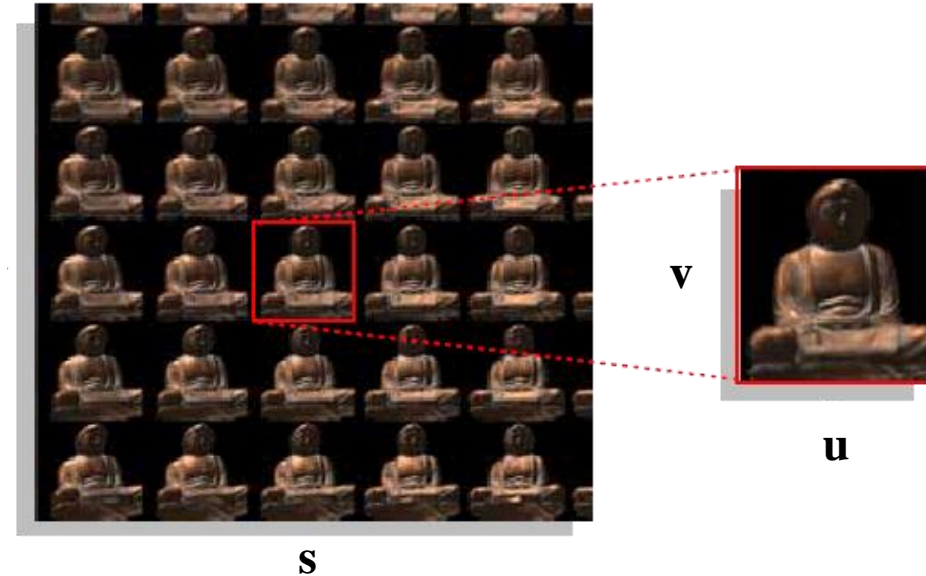
Lumigraph / Light field



(a)

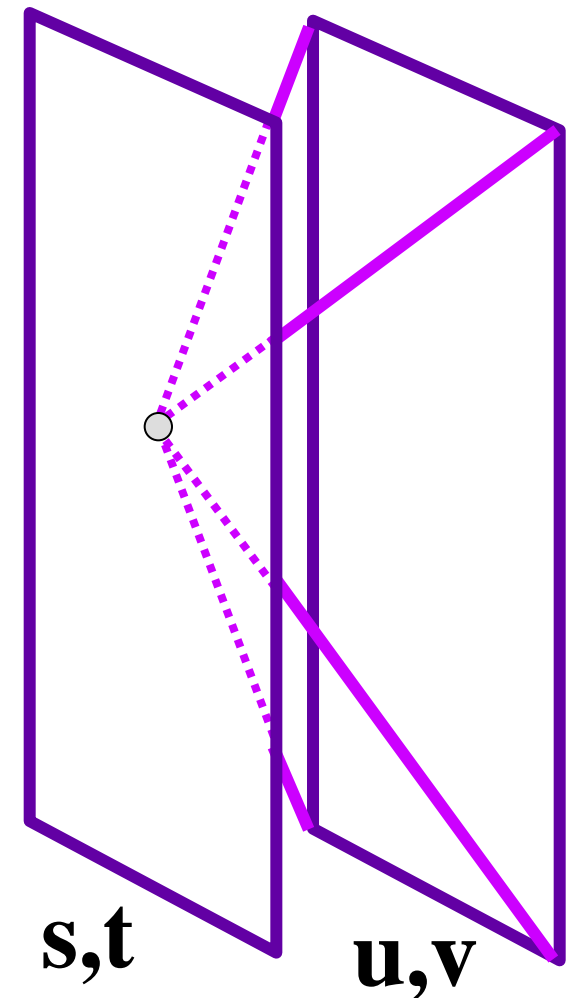


(b)



Lumigraph – Capture

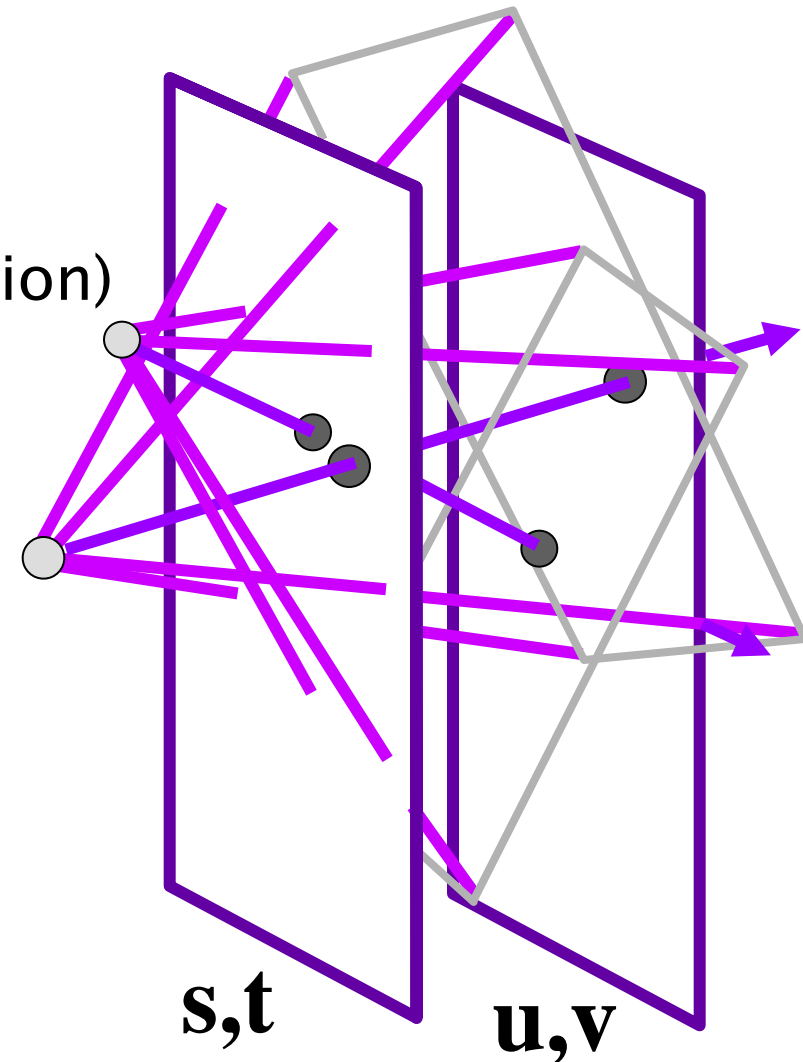
- ▶ Idea 1
 - Move camera carefully over s,t plane



Lumigraph – Capture

► Idea 2

- Move camera anywhere
- Rebinning
(calibration & pose estimation)



Stanford multi-camera array

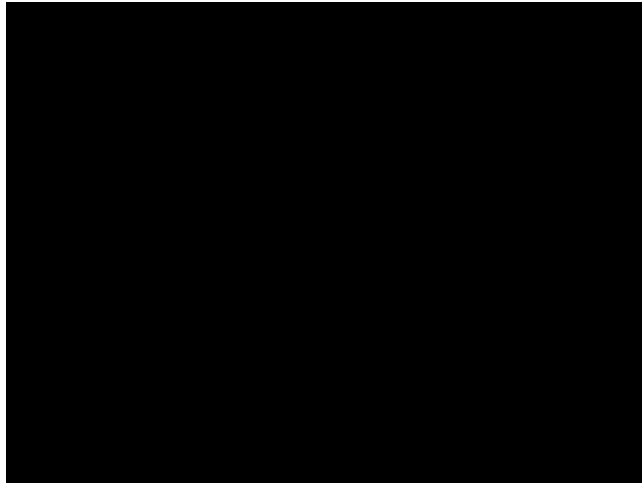
- ▶ 640×480 pixels
 $\times 30$ fps $\times 128$ cameras
- ▶ Synchronized timing
- ▶ Continuous streaming
- ▶ Flexible arrangement



[http://graphics.stanford.edu/papers/
CameraArray/](http://graphics.stanford.edu/papers/CameraArray/)

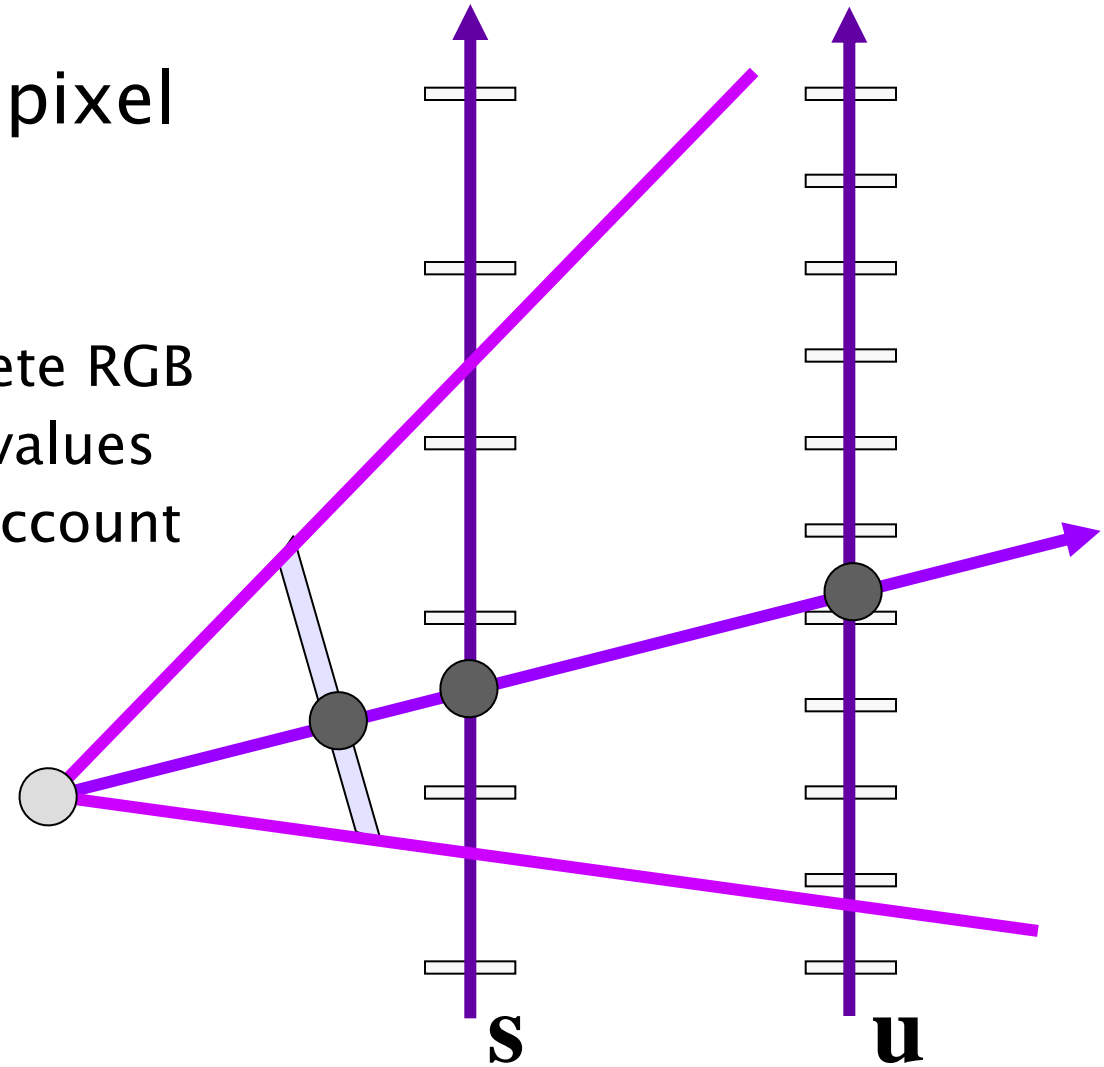
Time splice

<http://www.timesplice.com.au/index.html>



Lumigraph – Rendering

- ▶ For each output pixel
 - determine s, t, u, v
 - either
 - use closest discrete RGB
 - interpolate near values
 - take a lens into account



Démo lightfield viewer

<http://lightfield.stanford.edu/lfs.html>



Plan

- ▶ Computational processing
- ▶ Computational illumination
- ▶ Computational optics
 - Digital Refocusing
 - Coded Aperture

Image capture

- ▶ Un capteur seul ne capture pas une image

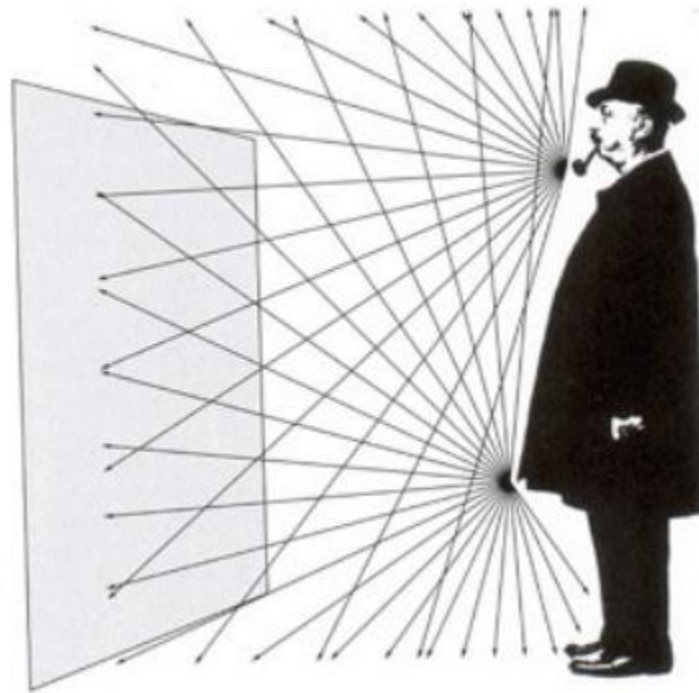


Image capture

- ▶ Un sténopé (*pinhole*) permet de sélectionner certains rayons

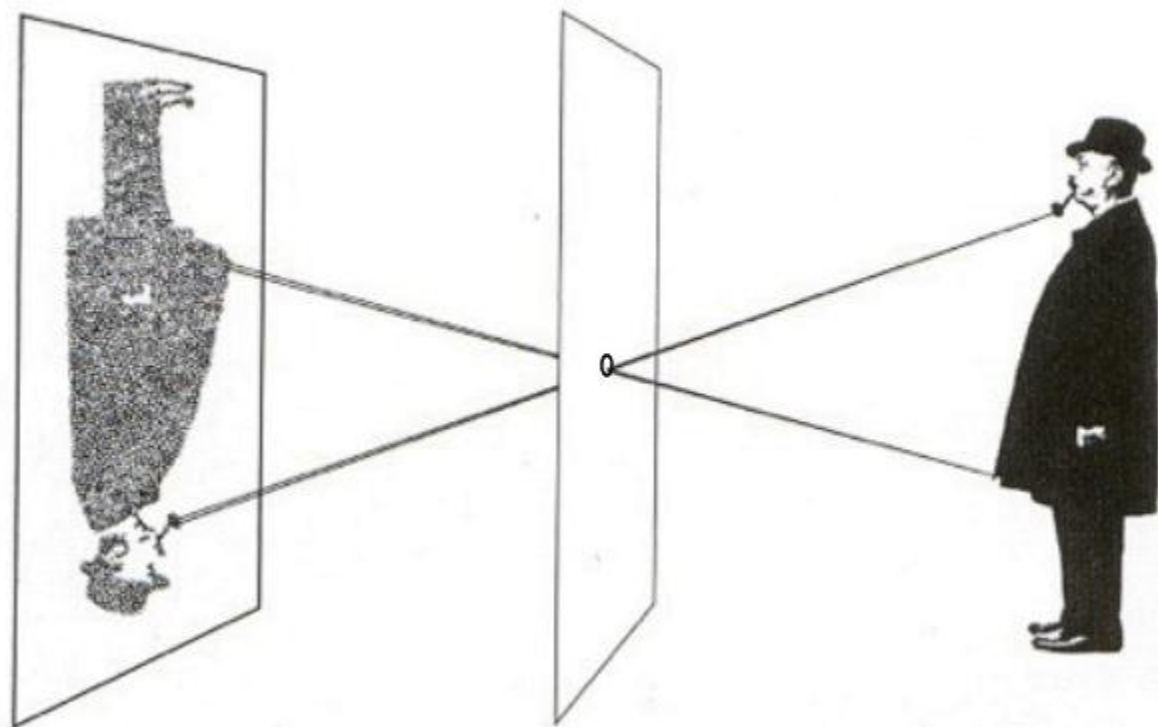


Image formation: optics

- ▶ Les optiques sélectionnent et intègrent les rayons lumineux \Rightarrow forment une image

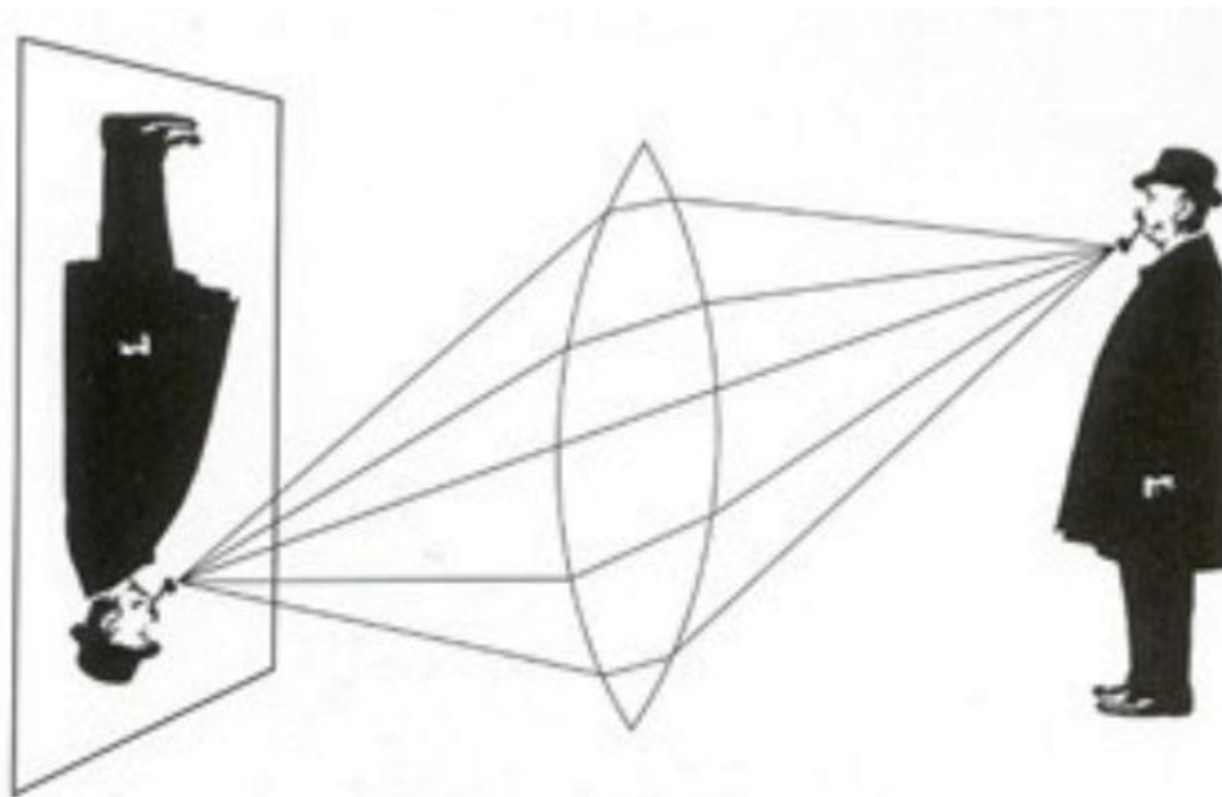


Image formation: computation

- ▶ La combinaison optiques & algorithmes forme une image

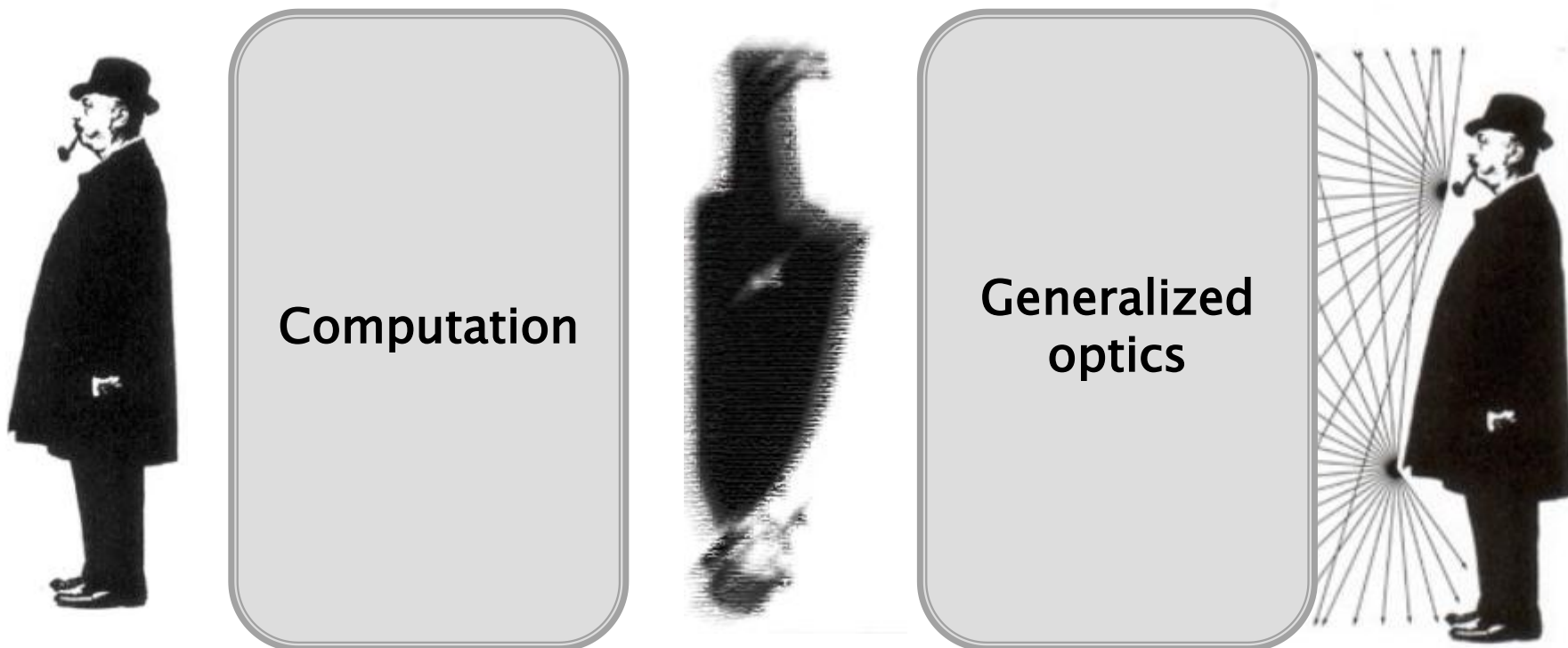


Image finale

Image intermédiaire

Computational imaging goals

- ▶ Meilleur capture de l'information
- ▶ Former un image en post-process

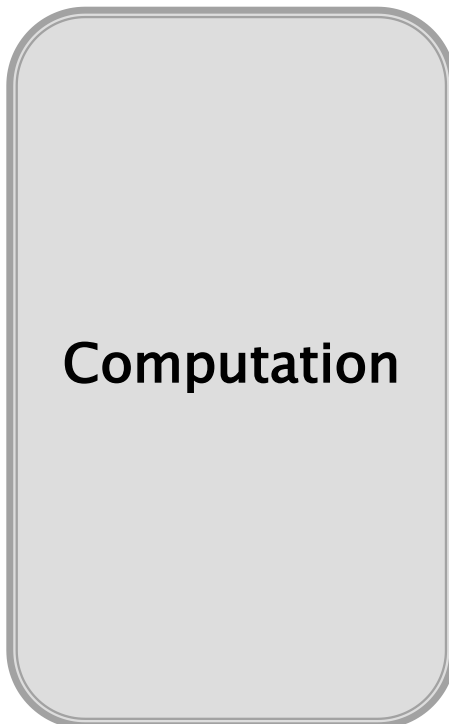
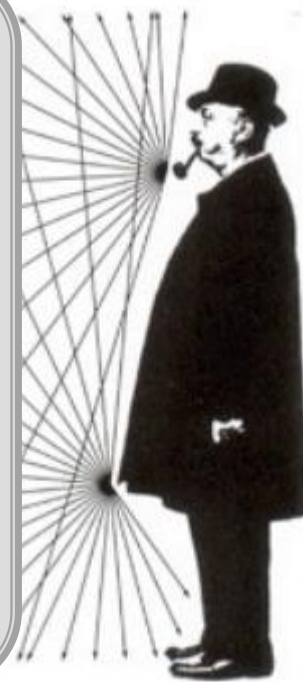
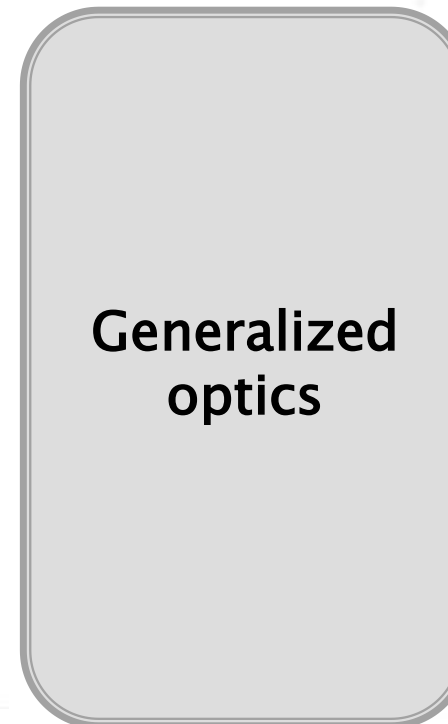


Image finale



Image intermédiaire



Better capture information

- ▶ Les optiques encodent, l'algorithme décode
- ▶ L'encodage vise à minimiser les distorsions

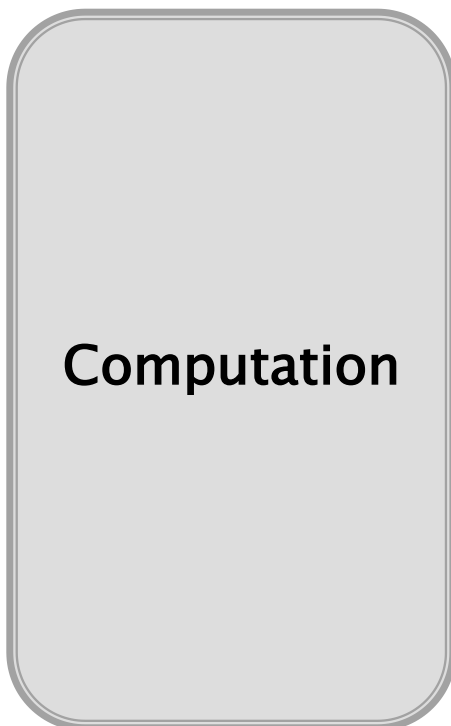
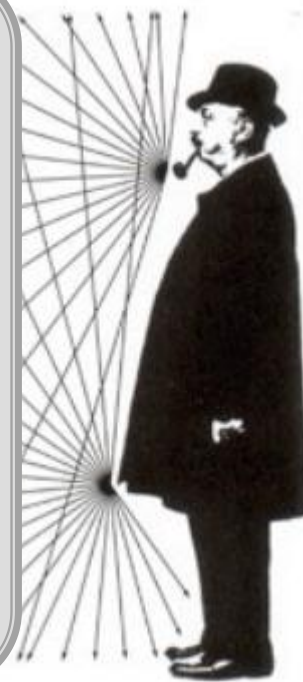
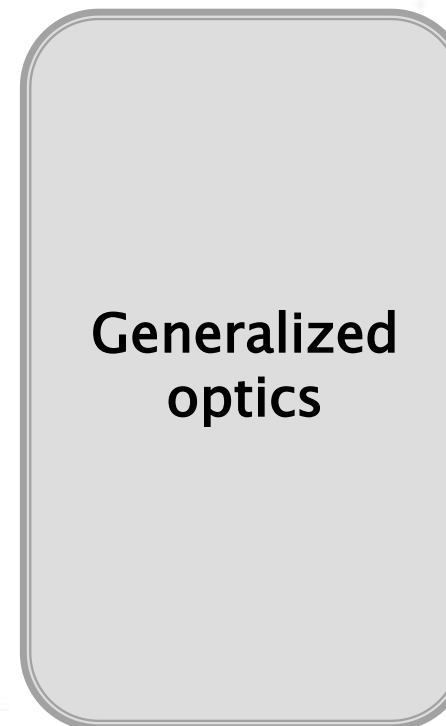


Image finale



Image intermédiaire



Form images as a post-process

- ▶ Peut être exécuté plus tard
- ▶ Répété plusieurs fois avec \neq paramètres

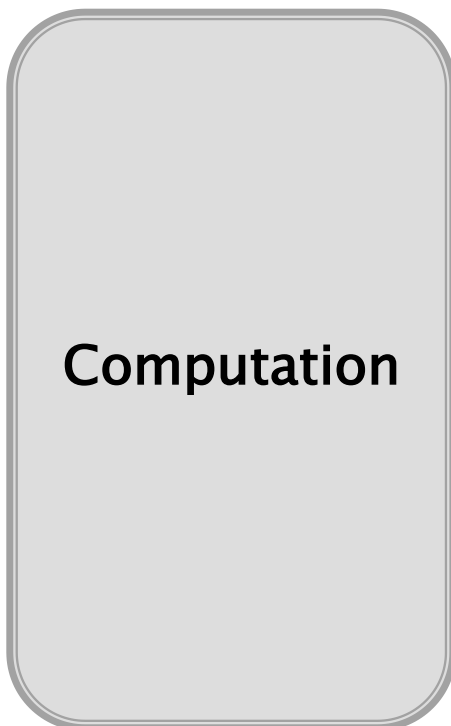
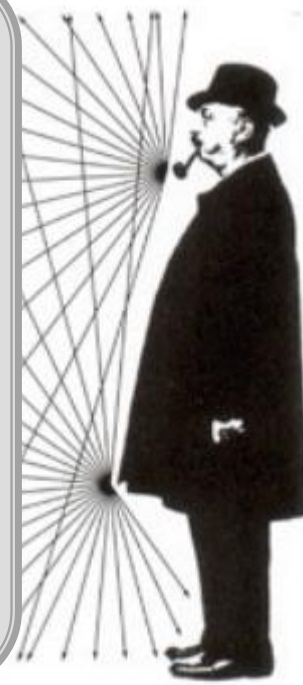
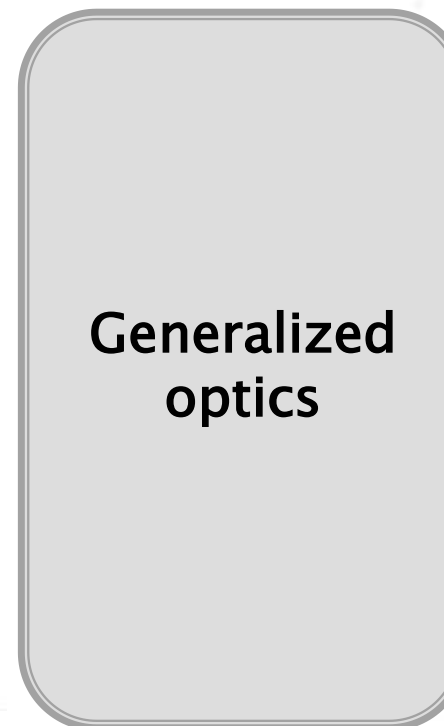


Image finale



Image intermédiaire



Plan

- ▶ Computational processing
- ▶ Computational illumination
- ▶ Computational optics
 - **Digital Refocusing**
 - Coded Aperture

Digital refocusing



[Ng et al. 2005]

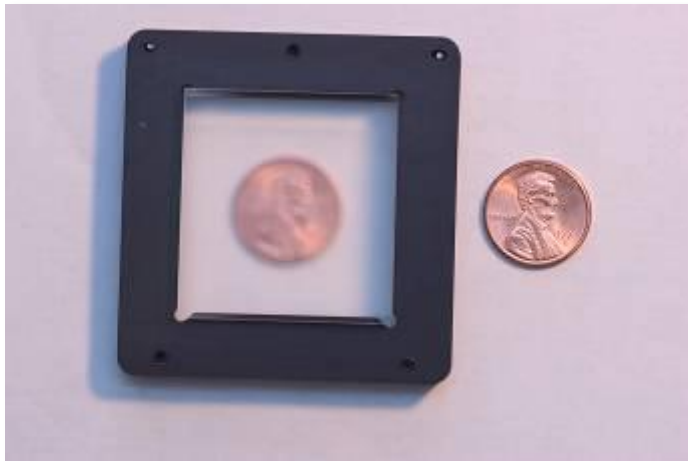
Prototype camera



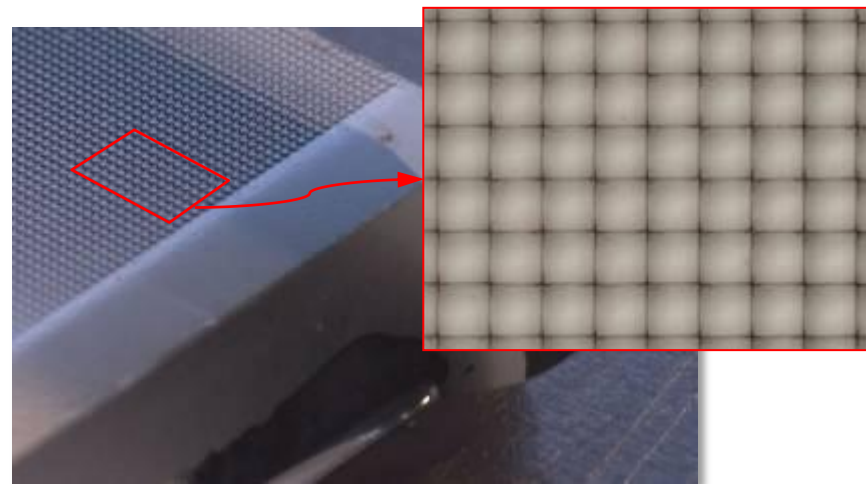
Contax medium format camera



Kodak 16-megapixel sensor



Adaptive Optics microlens array

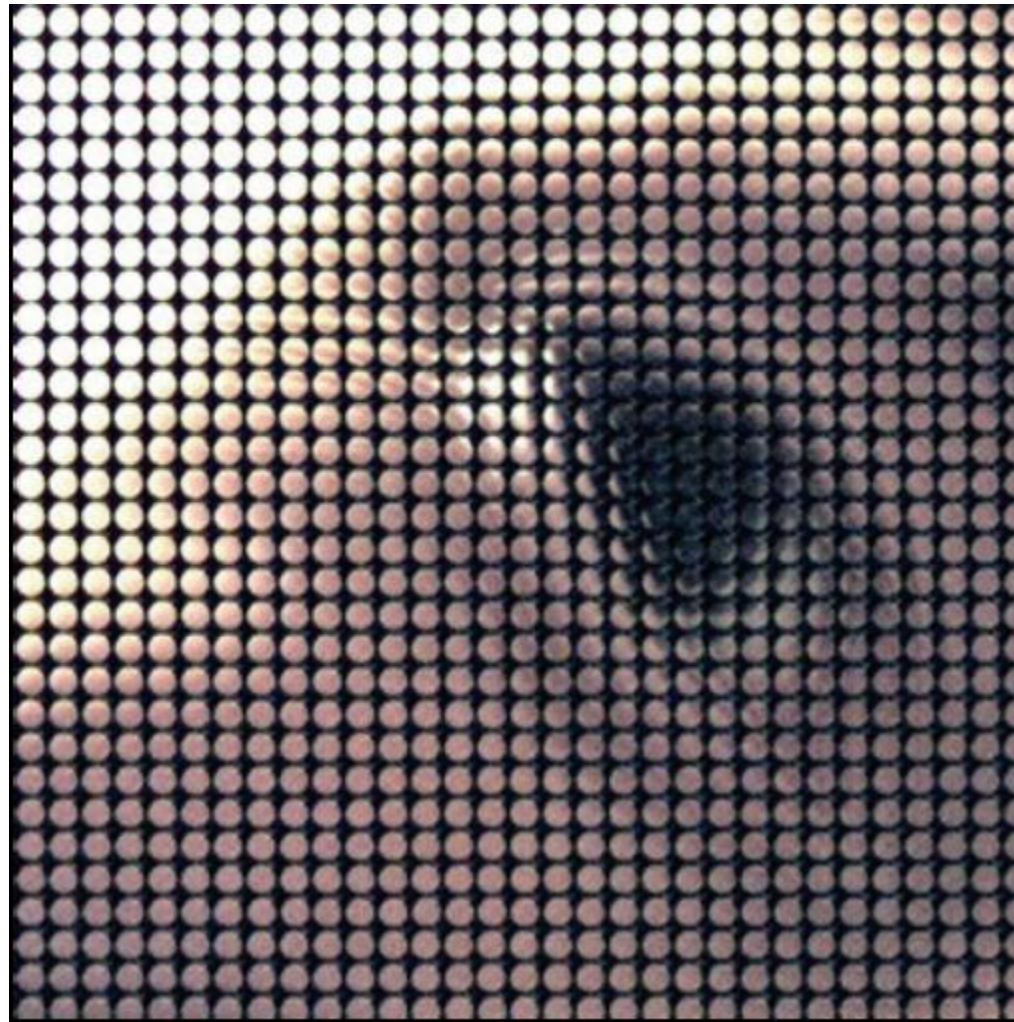


125 μ square-sided microlenses

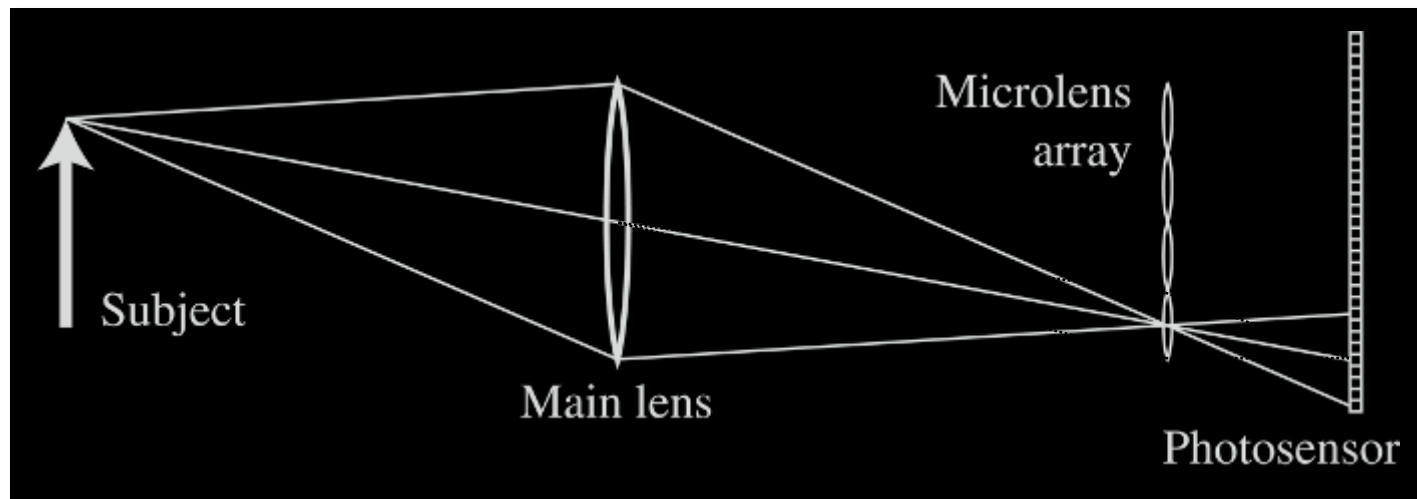
Light Field in a Single Exposure



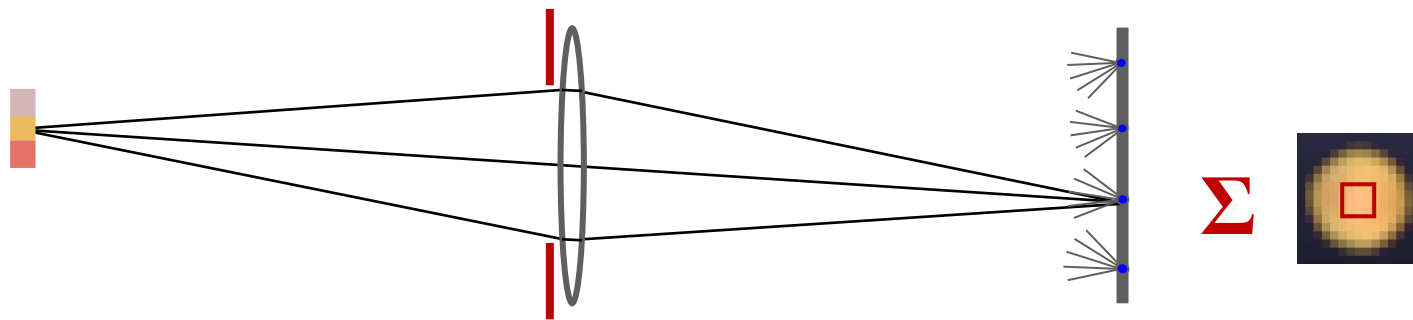
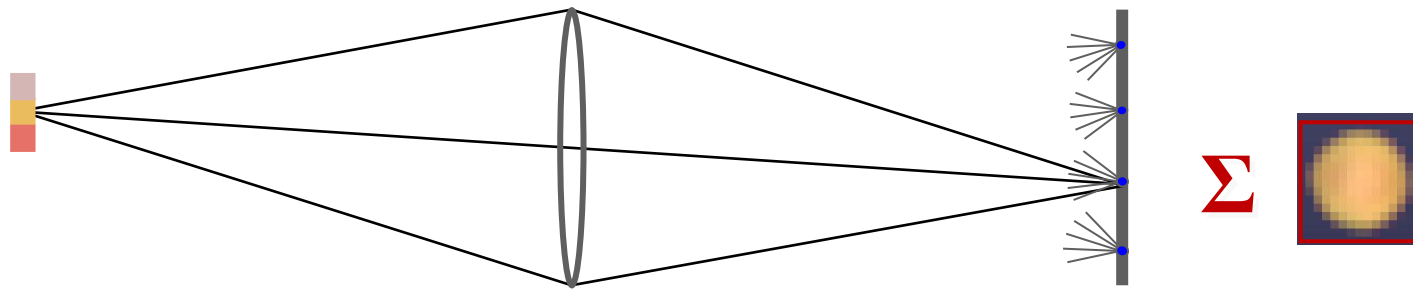
Light Field in a Single Exposure



Light field camera

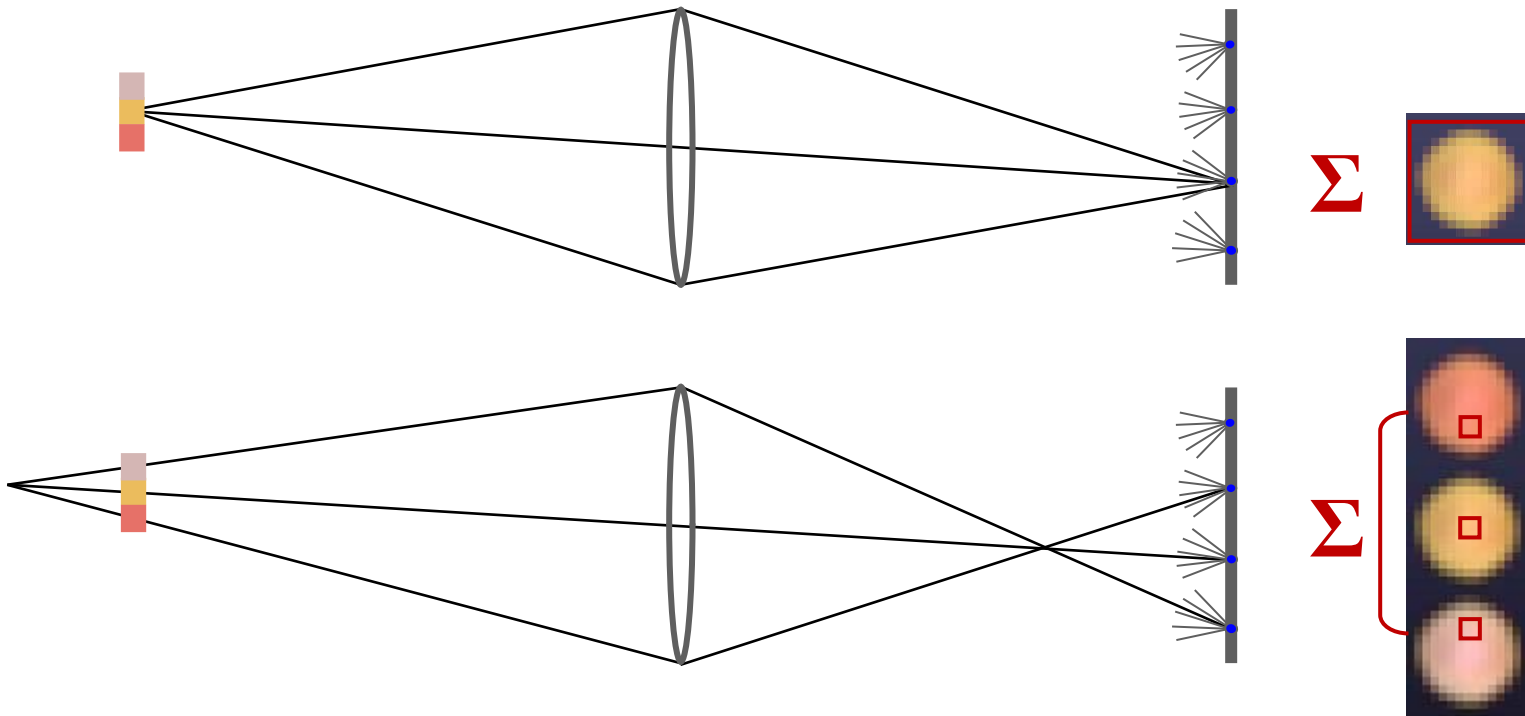


Digitally stopping-down



stopping down = summing only the central portion of each microlens

Digital refocusing



refocusing = summing windows extracted
from several microlenses

Résultats



Refocusing from back to front

Plan

- ▶ Computational processing
- ▶ Computational illumination
- ▶ Computational optics
 - Digital Refocusing
 - **Coded Aperture**

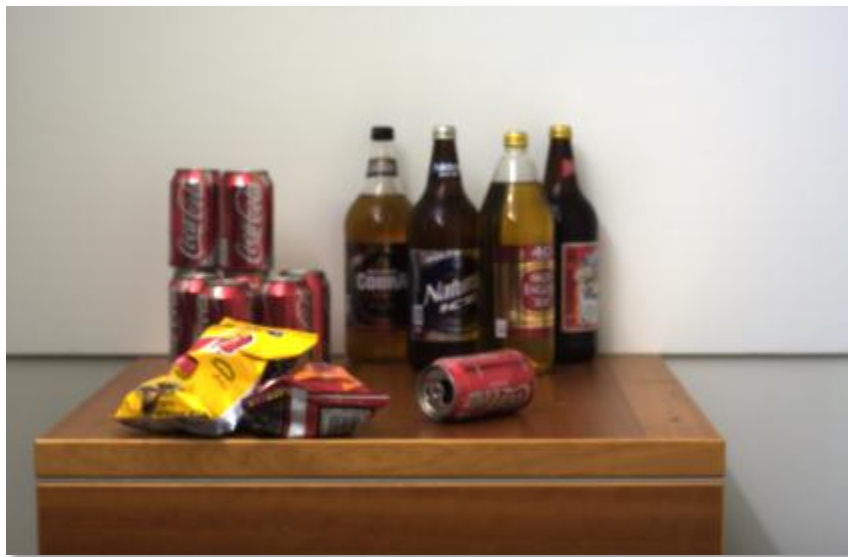
“Image and Depth from a Conventional Camera with a Coded Aperture”

[Levin et al. 2007]



Output 1: Depth map

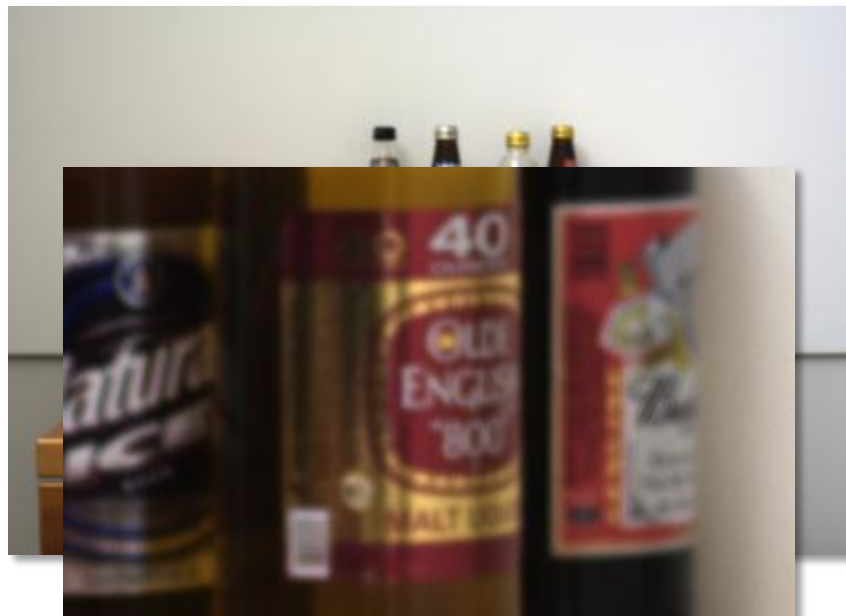
Single input image



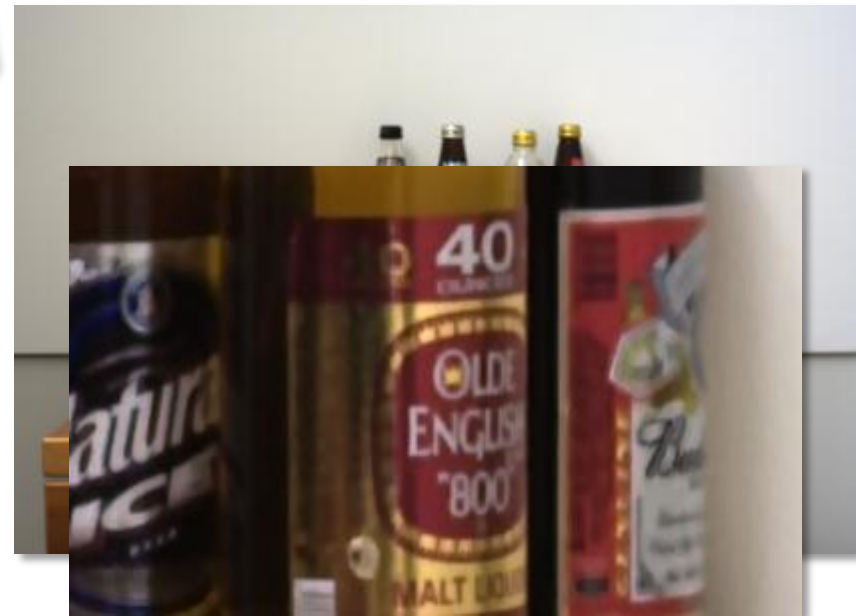
Output 1: Depth map



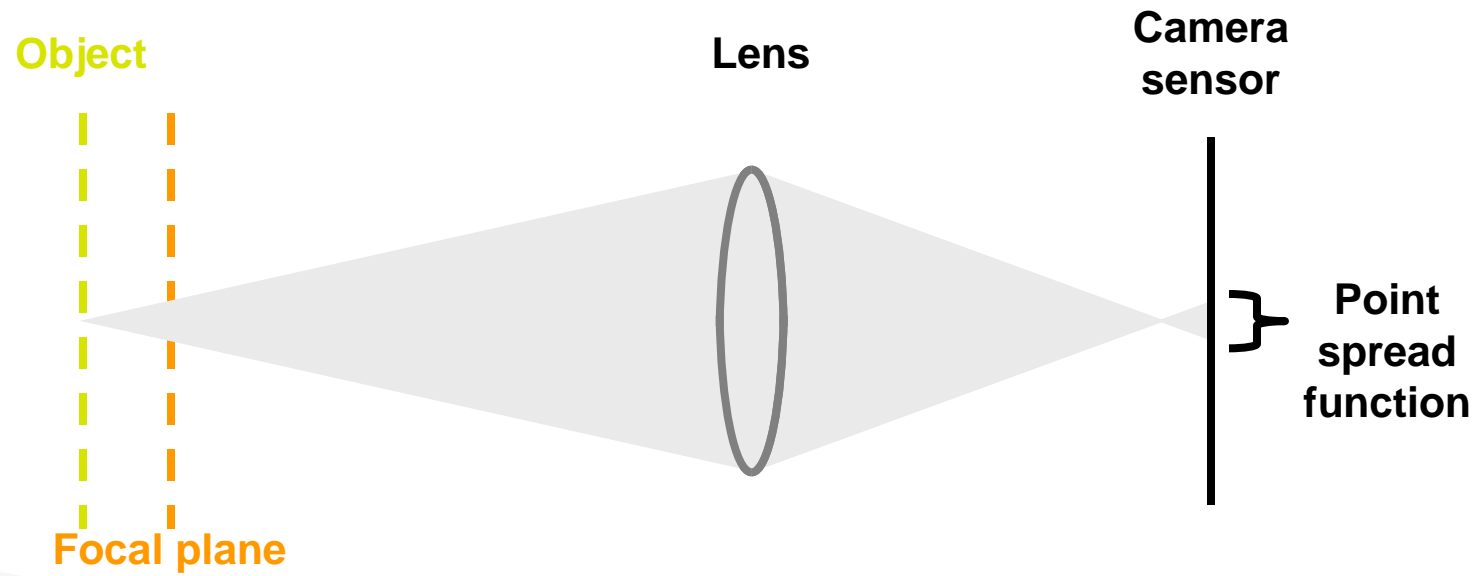
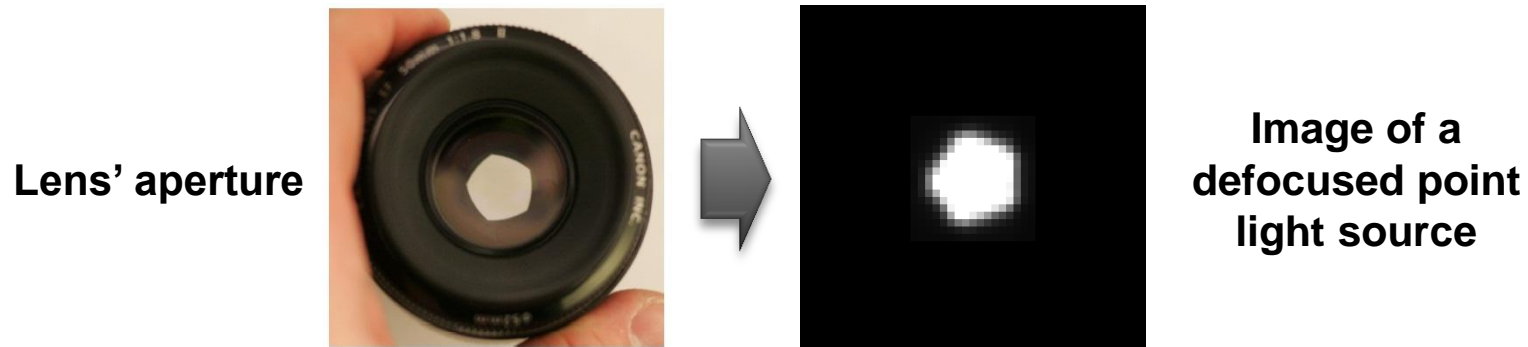
Single input image



Output 2: All-focused image



Lens and defocus



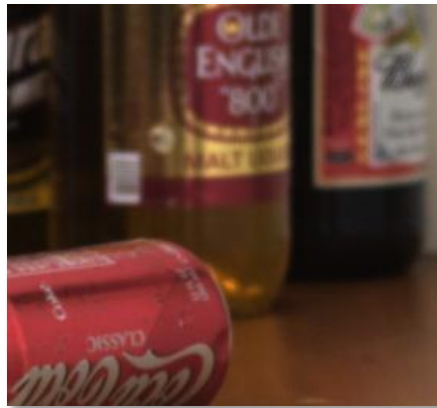
Depth and defocus



Depth from defocus:

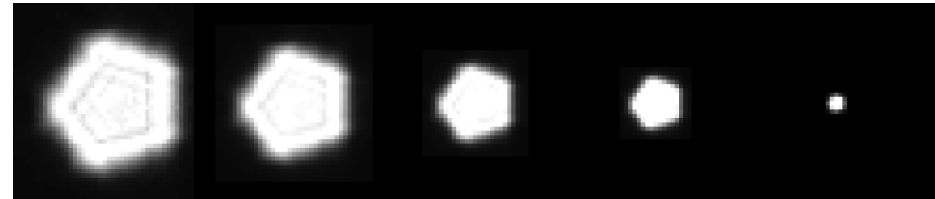
Infer depth by analyzing local scale of defocus blur

Defocus as local convolution



Input defocused
image

Calibrated blur kernels at different depths



Defocus as local convolution



$$y = f_k \otimes x$$

Local
sub-window

Calibrated
blur kernels at
depth k

Sharp
sub-window

Input defocused
image

Depth $k=1$:

An image of a beer can with a blurred, circular, multi-pointed star-shaped blur kernel overlaid on it. To its right is a multiplication symbol (\otimes) and another image of a beer can, representing the convolution operation.

Depth $k=2$:

An image of a beer can with a blurred, circular, multi-pointed star-shaped blur kernel overlaid on it. To its right is a multiplication symbol (\otimes) and another image of a beer can, representing the convolution operation.

Depth $k=3$:

An image of a beer can with a very blurred, circular, multi-pointed star-shaped blur kernel overlaid on it. To its right is a multiplication symbol (\otimes) and another image of a beer can, representing the convolution operation.

Deconvolution is ill posed

$$f \otimes x = y$$

Solution 1:



Solution 2:



Idea 1: Natural images prior

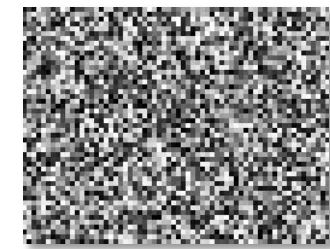
What makes images special?

Natural

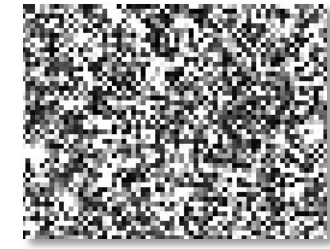
Image



Unnatural



Gradient



Natural images have sparse gradients



put a penalty on gradients

Idea 2: Coded Aperture

- ▶ Mask (code) in aperture plane
 - make defocus patterns different from natural images and easier to discriminate



Conventional
aperture

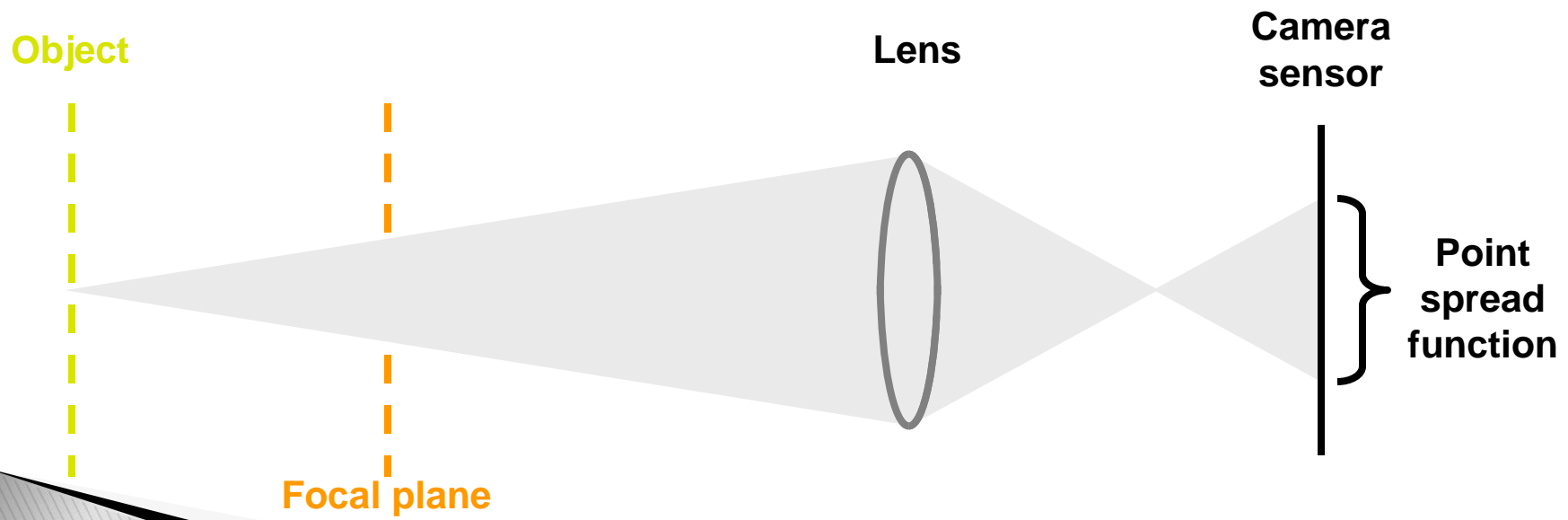


Our coded
aperture

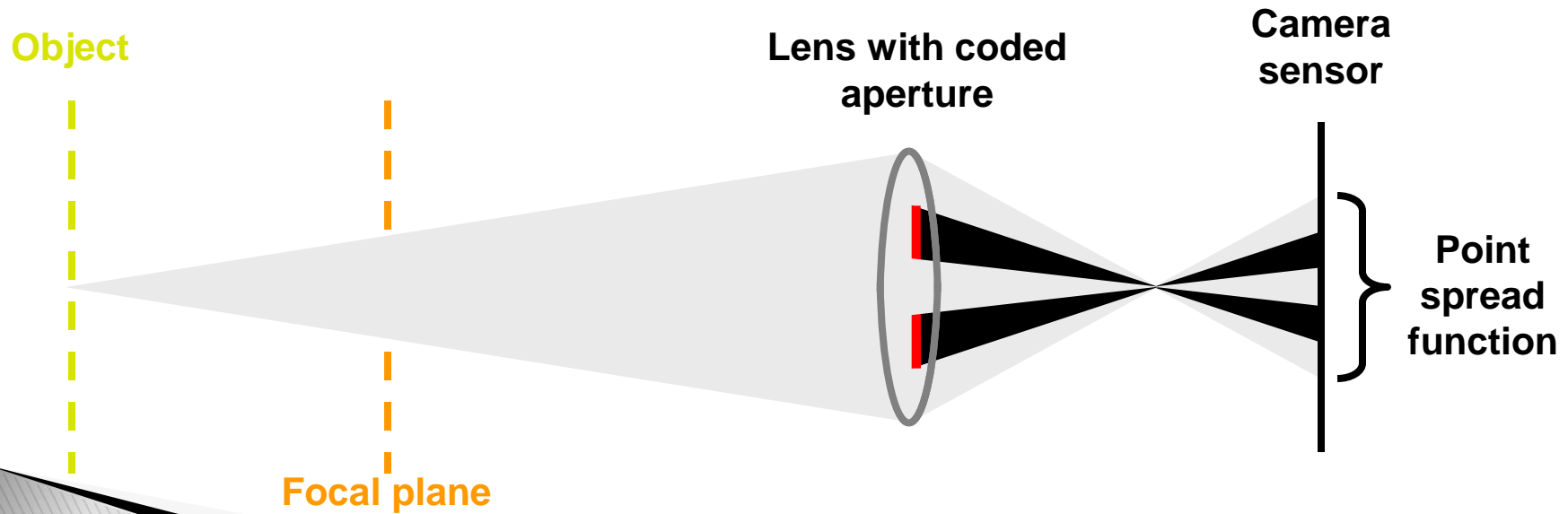
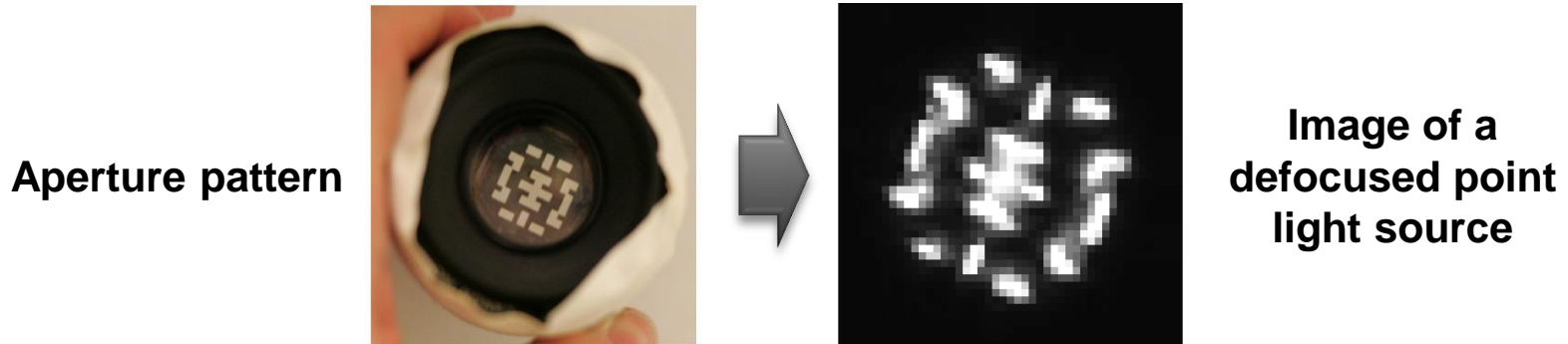
Build your own coded aperture



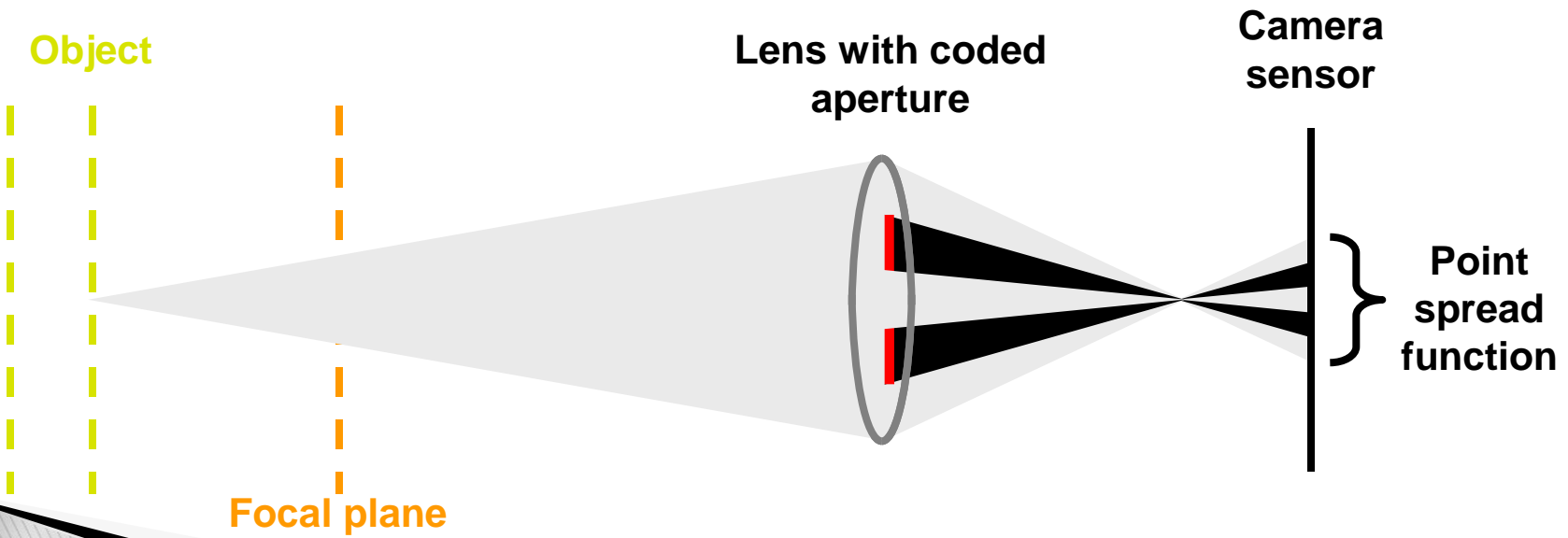
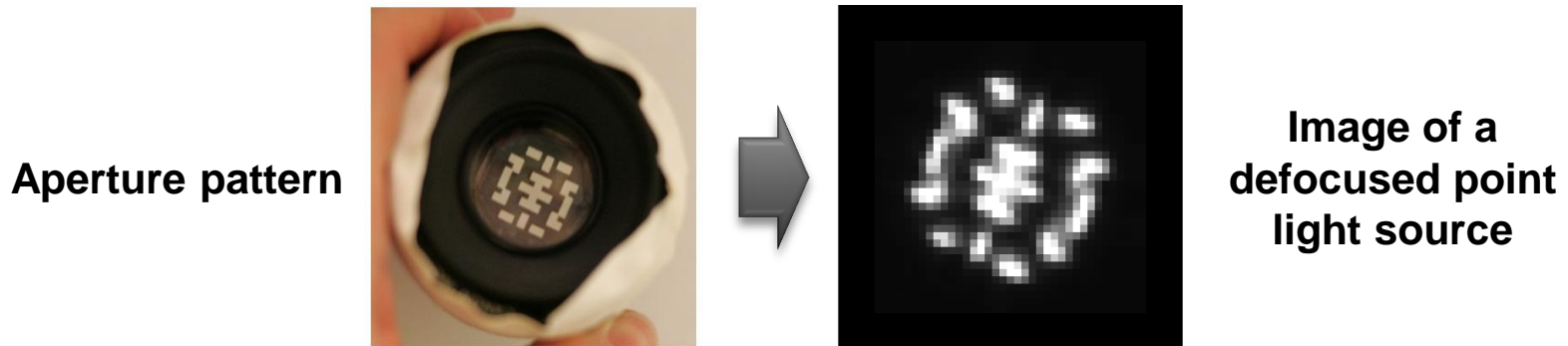
Solution: lens with occluder



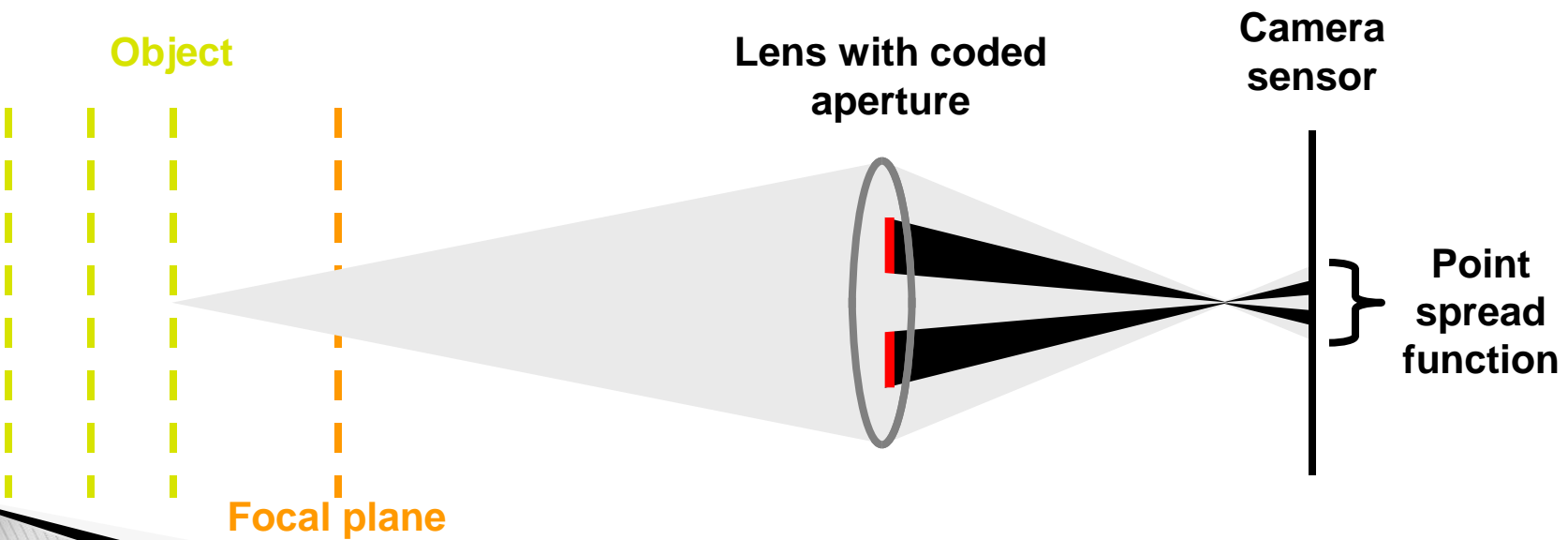
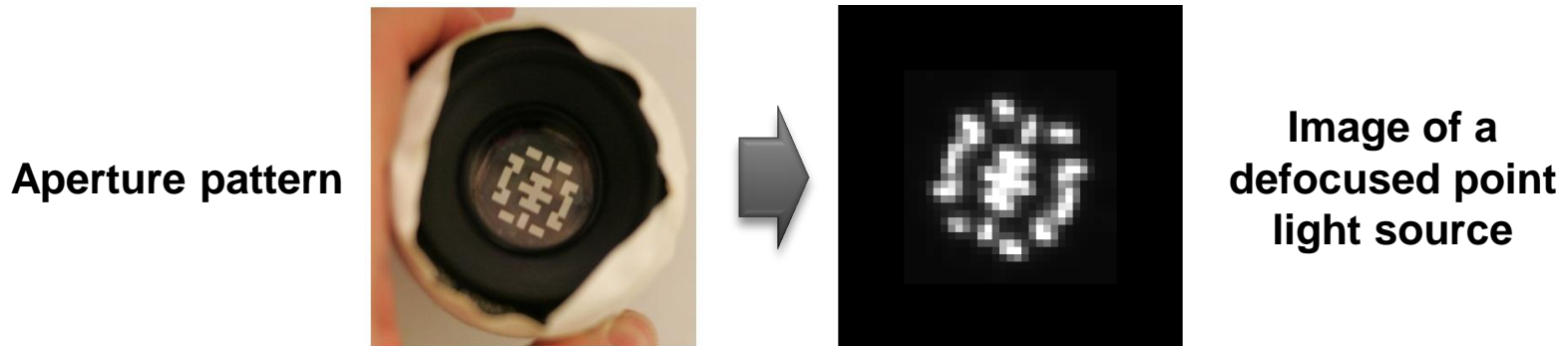
Solution: lens with occluder



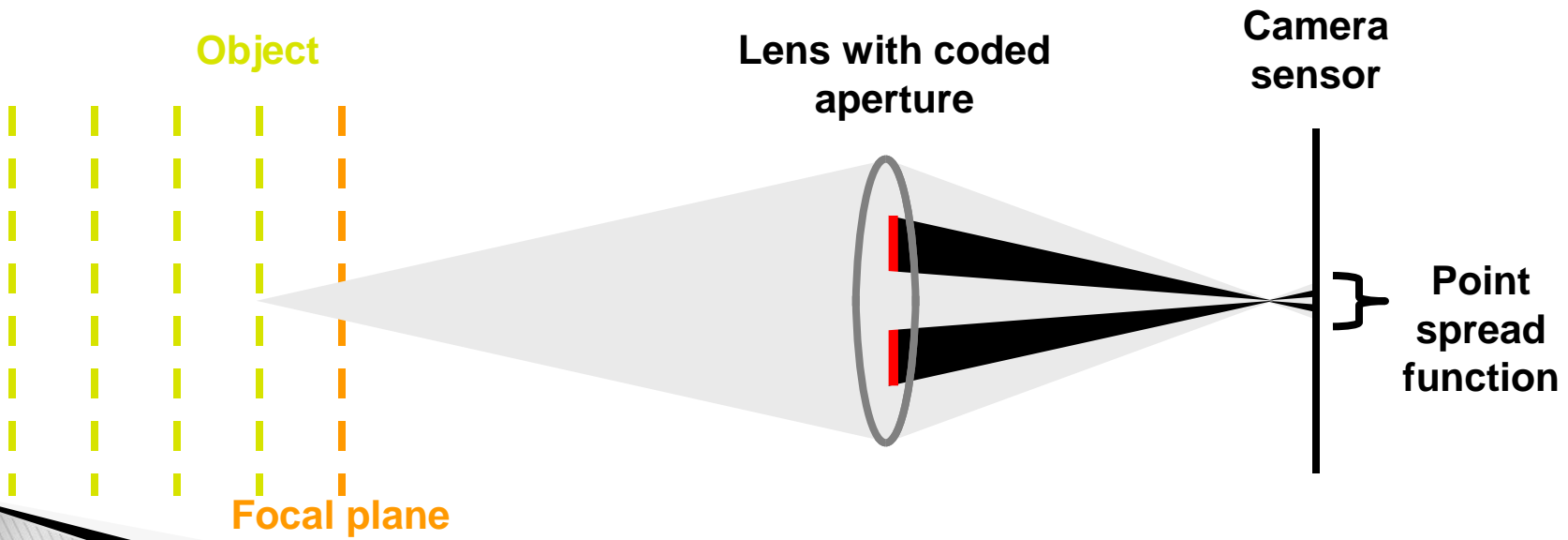
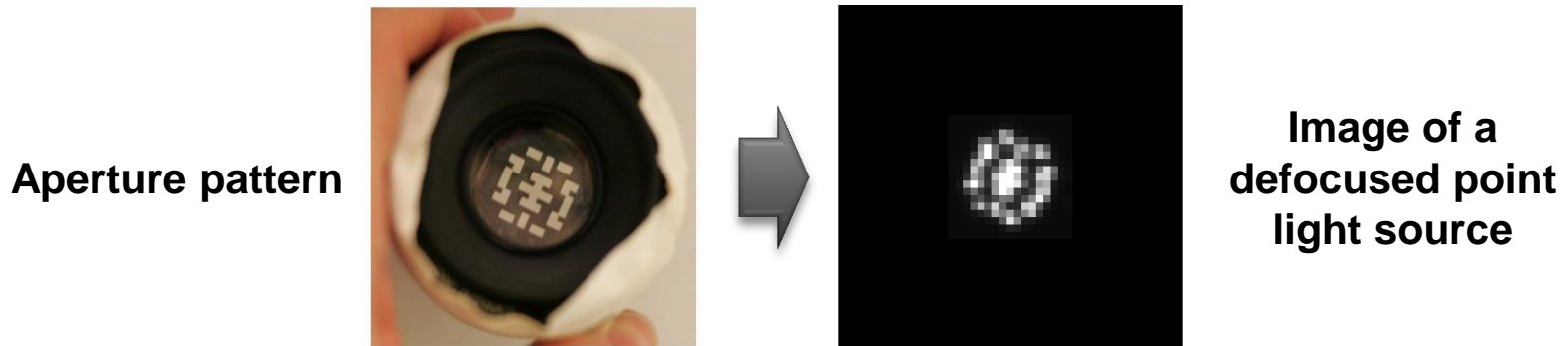
Solution: lens with occluder



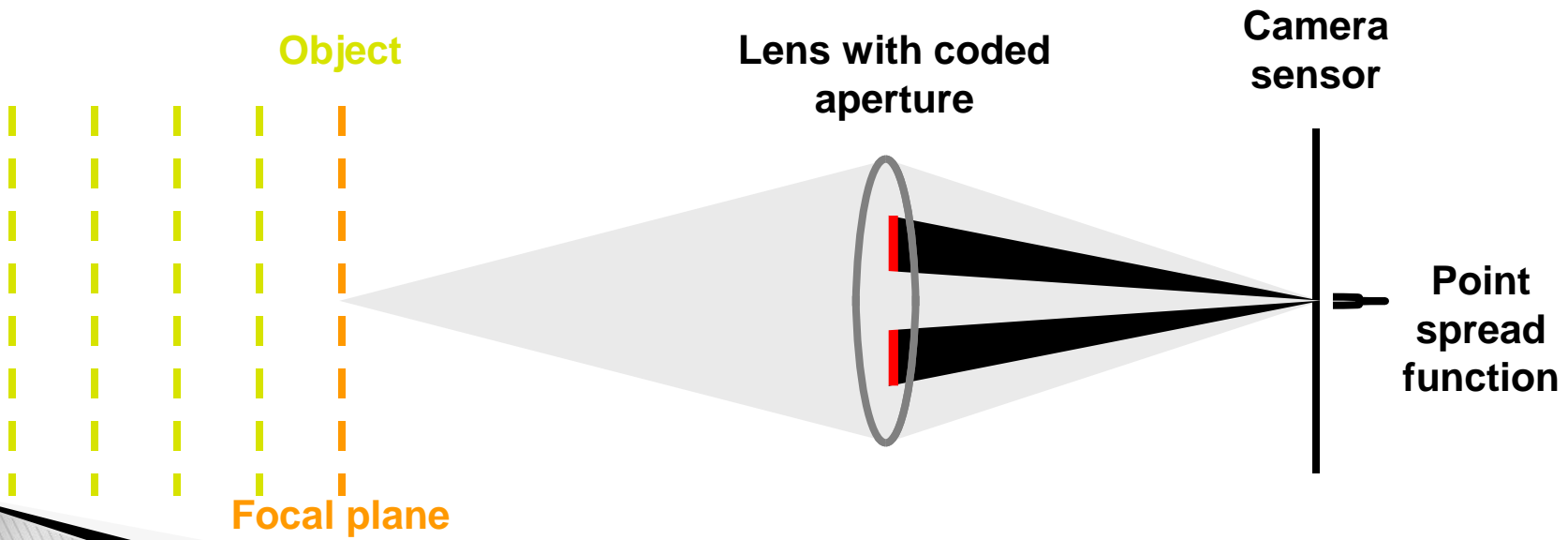
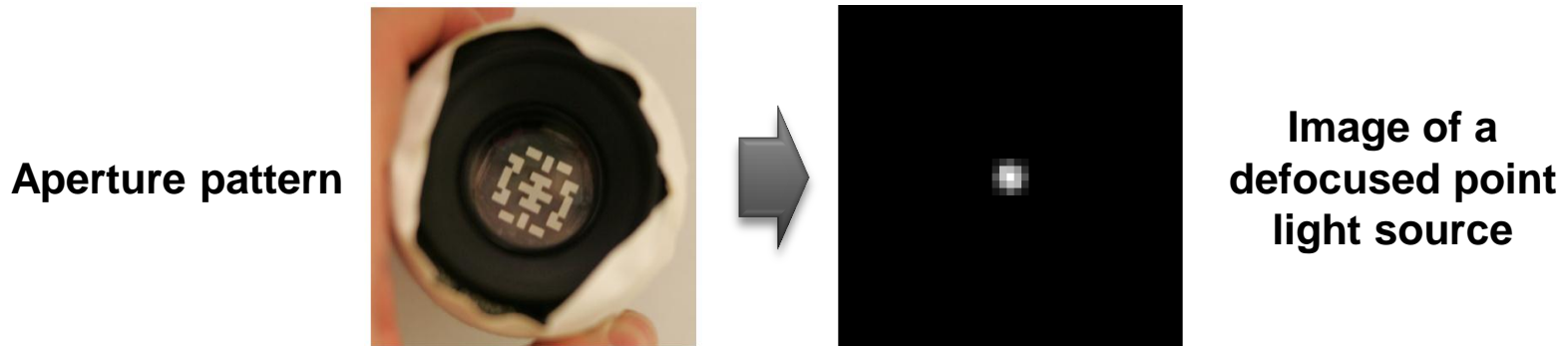
Solution: lens with occluder



Solution: lens with occluder



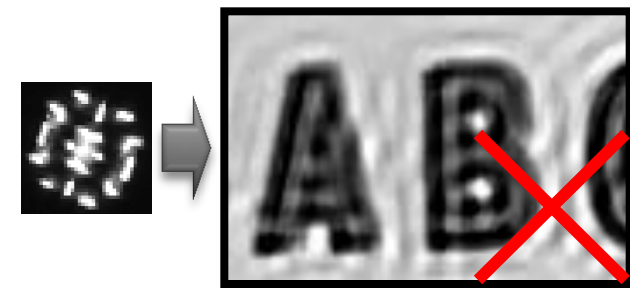
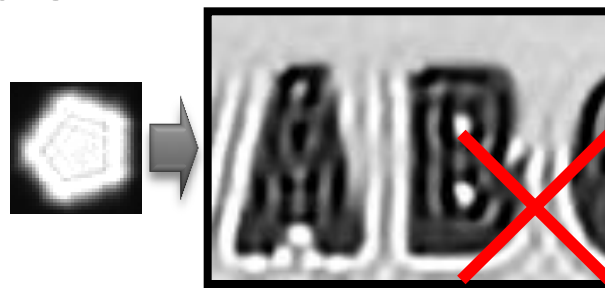
Solution: lens with occluder



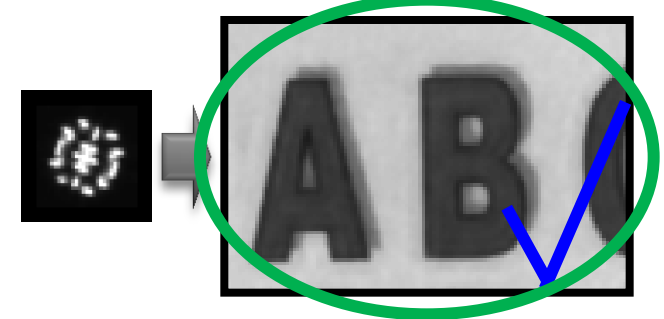
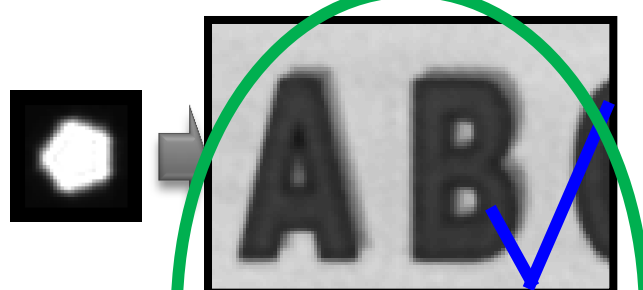
Why coded?

Coded aperture reduces uncertainty in scale identification

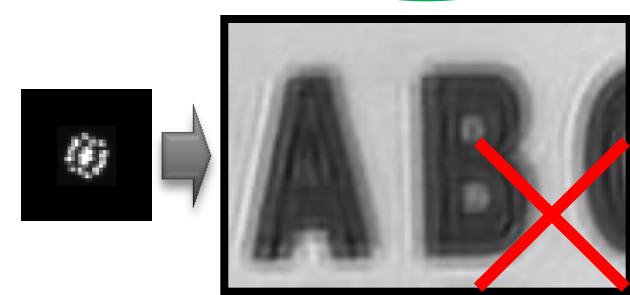
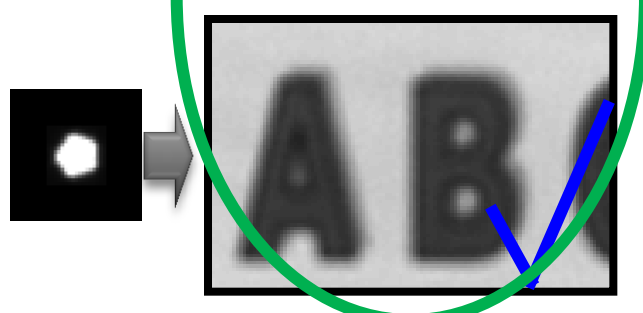
Larger scale



Correct scale

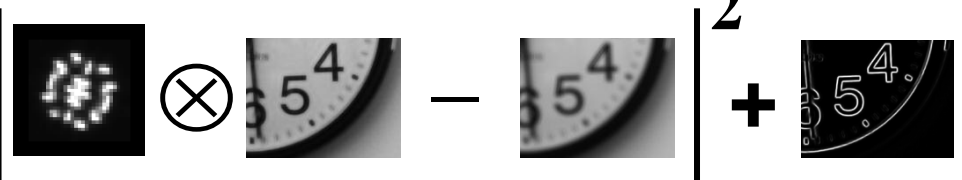


Smaller scale



Regularizing depth estimation

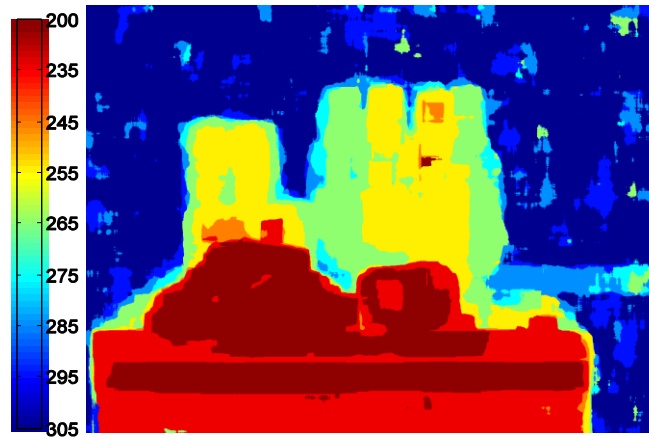
Try deblurring with 10 different aperture scales

$$x = \arg \min \underbrace{|f \otimes x - y|^2}_{\text{Convolution error}} + \lambda \underbrace{\sum_i \rho(\nabla x_i)}_{\text{Derivatives prior}}$$


Keep minimal error scale in each local window + regularization



Input



Local depth estimation



Regularized depth



All-focused (deconvolved)



Close-up

Original image



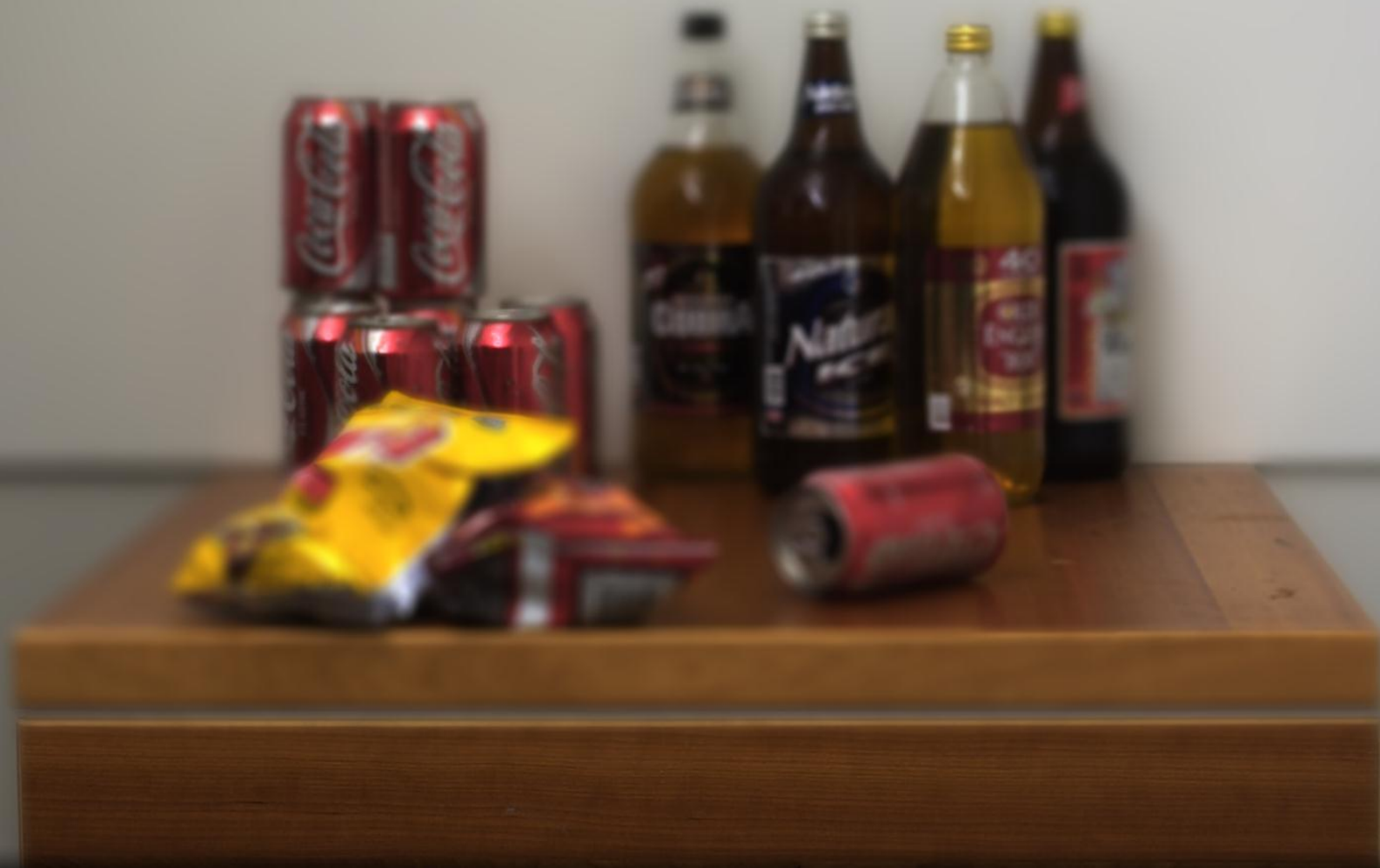
All-focus image



Application: Digital refocusing from a single image



Application: Digital refocusing from a single image



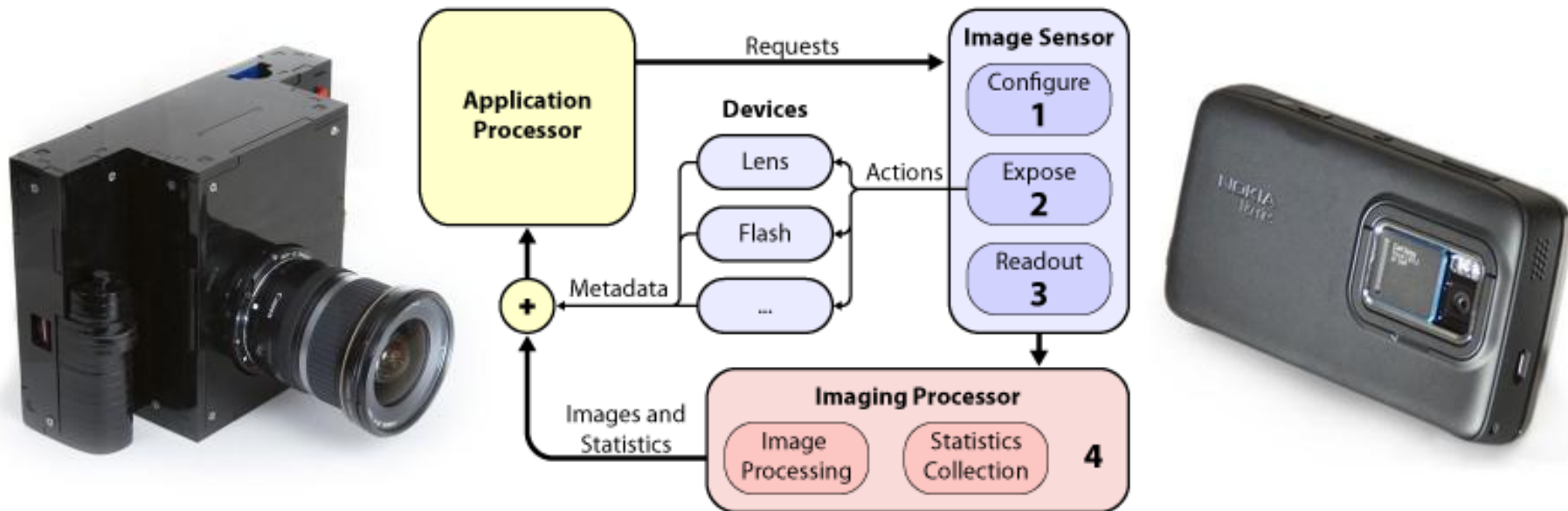
Application: Digital refocusing from a single image



The “Frankencamera”

[Adams et al. 2010]

- ▶ Programmable camera
- ▶ C++ API



<http://graphics.stanford.edu/papers/fcam/>

The “Frankencamera”

[Adams et al. 2010]



Camera Functionality
and Enhancements

Conclusion



- ▶ Domaine très actif
- ▶ Pluridisciplinaire
- ▶ Interactions fortes avec l'industrie
(Adobe, Microsoft, Disney, Mitsubishi, Google...)